




# Filière Systèmes industriels

Orientation Infotronics

## Travail de bachelor Diplôme 2020

**Amand Axel**

*Smart Targets Trainer System*

-  *Professeur*  
Corre Jérôme
-  *Expert*  
Furletti Johnny
-  *Date de la remise du rapport*  
14.08.2020



Filière / Studiengang <b>SYND</b>	Année académique / Studienjahr <b>2019/20</b>	No TD / Nr. DA <b>it/2020/45</b>
Mandant / Auftraggeber <input type="checkbox"/> HES—SO Valais <input checked="" type="checkbox"/> Industrie <input type="checkbox"/> Etablissement partenaire Partnerinstitution	Etudiant / Student <b>Axel Amand</b> Professeur / Dozent <b>Jérôme Corre</b>	Lieu d'exécution / Ausführungsort <input checked="" type="checkbox"/> HES—SO Valais <input type="checkbox"/> Industrie <input type="checkbox"/> Etablissement partenaire Partnerinstitution
Travail confidentiel / vertrauliche Arbeit <input type="checkbox"/> oui / ja <sup>1</sup> <input checked="" type="checkbox"/> non / nein	Expert / Experte (données complètes) <b>Furletti Johnny</b>	

Titre / Titel

**Smart Targets Trainer System**

Description / Beschreibung

Le projet consiste en la conception d'un système intelligent de ciblerie électronique. Les cibles, de formes et tailles variées, disposées le long d'un parcours, devront réagir selon un scénario choisi au préalable. Une fois le système enclenché, l'opérateur accède à un terminal de contrôle permettant de sélectionner puis de lancer le jeu. Réagissant aux impacts de toutes directions et de différentes munitions (billes de plastique ou de peinture), capables de transmettre leur état par sons et lumières, ces dernières sont équipées de capteurs de mouvement, permettant d'élaborer des scénarios de jeu séquencés et plus complexes. Le projet est destiné à deux publics distincts : le marché récréatif/divertissement (p.ex. Airsoft/Paintball); ainsi que le marché professionnel de l'entraînement et de la sécurité (p.ex. police).

Objectifs / Ziele

- conception d'un système filaire de communication sur longue distance, avec un grand nombre d'appareils potentiels (env. 30)
- conception du système nomade (par batterie), rechargeable sur secteur ; ainsi qu'utilisable directement sur secteur
- conception électronique d'une carte de contrôle, avec interfacement homme-machine (écran, clavier, buzzer) ; ainsi que de cartes pour la ciblerie (leds, son, détection de touche)
- conception de boîtiers correspondants, de taille minimale, et permettant l'utilisation des capteurs infrarouges
- élaboration d'un protocole de communication entre tous les dispositifs présents dans le système
- sélection et réglages des modes de jeu ; interface simple pour la création de scénarios avancés.

Signature ou visa / Unterschrift oder Visum

Responsable de l'orientation / filière  
Leiter der Vertiefungsrichtung / Studiengang:

<sup>1</sup> Etudiant / Student :


Délais / Termine

Attribution du thème / Ausgabe des Auftrags:  
**25.05.2020**Présentation intermédiaire / Zwischenpräsentation  
**Semaine / Woche 26** (22.06 – 26.06.2020)Remise du rapport / Abgabe des Schlussberichts:  
**14.08.2020, 12:00**Exposition / Ausstellung der Diplomarbeiten:  
**28.08.2020** (si autorisé / falls genehmigt)Défense orale / Mündliche Verfechtung:  
**Semaine / Woche 36** (31.08 – 04.09.2020)

<sup>1</sup> Par sa signature, l'étudiant-e s'engage à respecter strictement la directive DI.1.2.02.07 liée au travail de diplôme.  
Durch seine Unterschrift verpflichtet sich der/die Student/in, sich an die Richtlinie DI.1.2.02.07 der Diplomarbeit zu halten.



## STTS – Smart Targets Trainer System

Diplômant/e      Amand Axel

### Objectif du projet

L'objectif est de concevoir une cible électronique, destinée au monde du divertissement ainsi qu'aux professionnels.

Le système propose divers scénarios, en étant capable de détecter l'impact de projectiles variés et repérer le joueur.

### Méthodes | Expériences | Résultats

En première instance, les besoins spécifiques du mandant sont établis.

Le système est séparé en 4 parties, permettant une modularité selon le support utilisé : le gestionnaire du jeu, la cible, ainsi que ses deux modules – lumière-son et détecteur de présence.

L'électronique est réfléchi pour permettre de travailler de façon nomade (sur batterie), ou fixe (sur secteur). Elle intègre un système de recharge et de protection.

Le tout communique au travers d'un bus CAN 2.0B.

La logique est régie par un microcontrôleur de la gamme dsPIC, d'une part gérant les boutons et l'écran, et d'une autre la détection des impacts au travers d'un accéléromètre.

Pour un futur développement, elle intègre aussi Bluetooth et WiFi.

Chaque module est programmé pour répondre à sa fonction :

- Le contrôleur, régissant le jeu et offrant une interface claire à l'utilisateur
- La cible, réagissant aux impacts et suivant les commandes reçues

Pour clore le concept, une série de boîtiers simples ont été développés, pour terminer par des tests chez le mandant.

Après une semaine de mise à l'épreuve, le projet atteint tous ses objectifs et est pleinement fonctionnel !

Travail de diplôme  
| édition 2020 |

Filière  
*Systèmes industriels*

Domaine d'application  
*Infotonics*

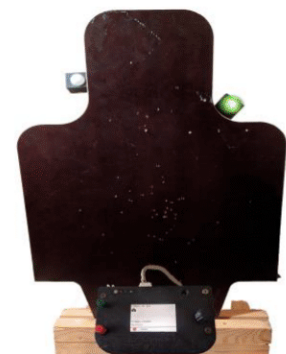
Professeur responsable  
Corre Jérôme  
[jerome.corre@hevs.ch](mailto:jerome.corre@hevs.ch)

Partenaire  
DefcomZone (Furletti Johnny)  
Rue de l'Ancienne-Pointe 16  
1920 Martigny



#### Ensemble complet

Contrôleur  
 Cible et ses modules (lumière-son  
 et détecteur de présence)  
 Bouton extérieur



#### Cible en jeu

Le contrôleur est branché à une  
 cible, un jeu est en cours (lumière  
 verte).  
 On aperçoit le capteur à gauche.



Je remercie tout d'abord M. Corre Jérôme pour m'avoir suivi au long de ce projet, tout en sachant m'inculquer bien des astuces quant à ma méthodologie de travail, et proposer des solutions lorsque mon champ de réflexion venait à se restreindre.

Je tiens à remercier M. Furletti Johnny pour avoir proposé ce projet, de m'avoir fait confiance pour le mener à terme, d'avoir répondu présent en m'ouvrant ses portes, ainsi qu'en m'accompagnant pour réaliser les tests nécessaires.

Un grand merci à M. Sartoretti Pascal, m'ayant donné les droits d'utilisation et de modification sur ses librairies de gestion d'écran.

Un dernier merci à M. Rieder Medard, m'ayant autorisé l'exploitation et l'altération de son code de micro-distributeur événementiel.

# Sommaire

1.	Introduction .....	1
2.	Planning de travail.....	2
3.	Analyse concurrentielle.....	3
4.	Electronique – Analyse des solutions.....	8
5.	Electronique – Développement .....	22
6.	Logiciel.....	36
7.	Système final .....	61
8.	Boitiers .....	64
9.	Conclusion.....	70
10.	Annexes.....	71
11.	Bibliographie.....	71
12.	Table des matières .....	78

## 1. Introduction

### 1.1. Contexte

DefcomZone, basé à Martigny, propose une salle intérieure de tir sur cibles électroniques.

Les clients peuvent louer la salle, seuls ou à plusieurs, pour se divertir ou, pour les habitués, s'entraîner au maniement de matériel en toute sécurité.

La salle est équipée d'un système de ciblerie permettant d'utiliser des répliques de tir Airsoft - pratique proche du Paintball - et ainsi de travailler avec 5 modes de jeu différents sur 30 cibles.



Figure 1: logo DefcomZone

DefcomZone vise à diversifier son offre pour toucher un public toujours plus grand, désirant offrir des services spécialisés pour les professionnels et leur entraînement.

Elle a commencé par acquérir et équiper différents terrains, permettant des approches nouvelles en élargissant les services disponibles.

Toutefois, la ciblerie actuelle nécessite d'être reliée au secteur, et n'offre que des scénarios de jeu bien définis, immodifiables, ne présentant d'intérêt que pour le marché du divertissement. Aussi, seul le matériel Airsoft est compatible, délaissant les pratiques similaires.

### 1.2. But

Le projet consiste en l'élaboration d'un système de ciblerie complet, qui possède les caractéristiques spécifiques suivantes :

- Le système doit être nomade, capable de tourner en toute autonomie, pouvant être transporté facilement et loué à un client
- Les cibles doivent pouvoir détecter des impacts provenant de matériel Nerf<sup>1</sup>, Airsoft<sup>2</sup>, Paintball<sup>3</sup>, ou même de SiMunion<sup>4</sup>
- Le système doit offrir un moyen de séquencer un scénario (5 cibles s'allument, une fois toutes touchées -> les 5 cibles suivantes s'allument ...)
- Les cibles doivent pouvoir détecter le joueur, permettant au système de réagir en conséquence selon le scénario joué
- Utiliser des connecteurs compatibles avec le câblage actuel (voir 5.5 *Connecteurs*)

Toute autre contrainte est laissée au bon vouloir ou acceptation du mandant, notamment :

- La communication, qui doit pouvoir se faire sur une grande distance
- Le format du contrôleur principal, pour gérer les jeux
- L'aspect général du produit / conception des boîtiers

---

<sup>1</sup> [https://fr.wikipedia.org/wiki/Nerf\\_\(marque\)](https://fr.wikipedia.org/wiki/Nerf_(marque)) – fléchettes en mousses

<sup>2</sup> <https://fr.wikipedia.org/wiki/Airsoft> - billes dures d'amidon de maïs

<sup>3</sup> <https://fr.wikipedia.org/wiki/Paintball> - billes de peinture

<sup>4</sup> [https://simunion.com/en/products/fx\\_marking\\_cartridges](https://simunion.com/en/products/fx_marking_cartridges) - balles d'entraînement à base de peinture

## 2. Planning de travail

Le fichier complet est disponible dans le dossier projet :

TB Smart Target / 00\_Base / 06\_Planning

Vert : dans les temps / Vert clair : temps rattrapé sur le temps prévu / Rouge : temps dépassé

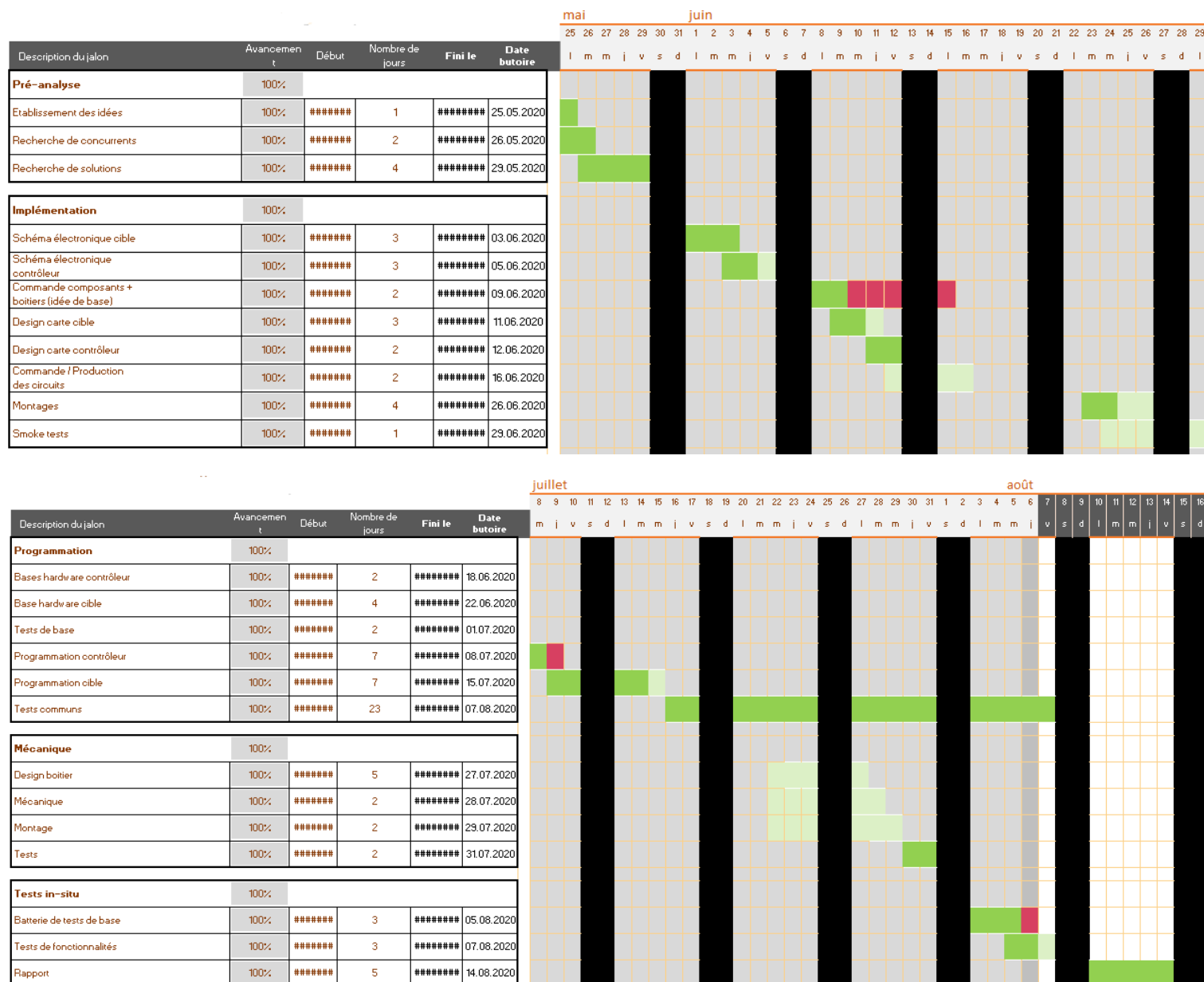


Figure 2: Planning

Conformément au plan de base, les périodes établies ont été globalement honorées pour permettre la réussite du projet.

Le retard notable porte sur une commande faite tardivement, bien que le matériel ait été reçu à temps pour coïncider avec le début du montage des circuits électroniques.

L'avance prise sur le montage des circuits ainsi que le design et l'impression des boîtiers a été réaffectée à la programmation du système.



### 3. Analyse concurrentielle

Dans le but d'évaluer le marché existant et ainsi entrevoir les solutions adoptées, des systèmes concurrents sont rassemblés ici.

#### 3.1. Concurrents directs

Par concurrents directs sont désignés les systèmes de ciblisme destinés à l'Airsoft.

##### TrainShot

Le système TrainShot[1] est un complet de ciblisme sans fil avec les caractéristiques suivantes :

Interface Homme-Machine	Communication entre cibles	Offre de jeu	Nmax de cibles	Prix par cible	Détection impact
Téléphone/tablette	Bluetooth	Scénarios simples + statistiques	8	111 € (env. 118 CHF)	?

Tableau 1: TrainShot - caractéristiques

##### Avantages :

- Système sans fil
- Tout-en-un
- Statistiques de jeu
- Nomade

##### Désavantages :

- Nombre de cibles limité
- Portée Bluetooth (amplificateur externe requis)
- Forme et taille des cibles fixes



Figure 3: cible TrainShot,  
<https://www.trainshot.com/wp-content/uploads/2019/11/how-it-works-smart-target-1.png>

TrainShot est une entreprise américaine, qui possède une gamme de produits pour professionnels, ainsi qu'une gamme dédiée à l'Airsoft.

Pour cette dernière, les cibles sont fournies avec leur « corps » fait d'acier de 2[mm] d'épaisseur.

Ces dernières se connectent entre-elles par Bluetooth, ainsi qu'à un téléphone pour gérer les jeux.

L'application permet le lancement des jeux, et récupère le moment d'impact de chaque cible afin de créer des statistiques et de définir un score.

Les statistiques peuvent être publiées en ligne, et il est ainsi possible de concurrencer d'autres joueurs du monde entier.

Jusqu'à 6 joueurs simultanés (avec une licence business) peuvent prendre part au jeu.

Les cibles indiquent leur état à l'aide de 4 LEDs RGB, pendant que la zone basse fait office de zone de détection d'impact.

### AttackSense

Le système AttackSense [2] est un complet de ciblisme sans fil avec les caractéristiques suivantes :

Interface Homme-Machine	Communication entre cibles	Offre de jeu	Nmax de cibles	Prix par cible	Détection impact
Téléphone/tablette	Wi-Fi	Scénarios simples + statistiques	65	95 £ (env. 114 CHF)	?

Tableau 2: AttackSense - caractéristiques

#### Avantages :

- Système sans fil
- Tout-en-un
- Statistiques de jeu
- Nomade

#### Désavantages :

- Forme et taille des cibles fixe
- Trépieds requis

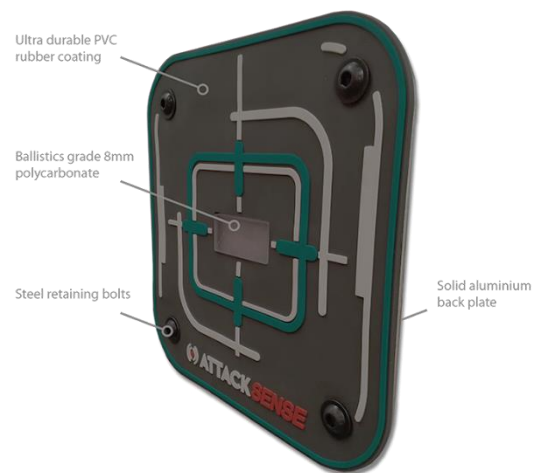


Figure 4: cible AttackSense,

<https://www.attacksense.com/wp-content/uploads/2019/10/target-tough-700.png>

AttackSense est une entreprise anglaise, qui possède une gamme de produits dédiée à l'Airsoft.

Les cibles sont disponibles en deux tailles, fournies avec leur « corps » fait d'aluminium et de PVC et caoutchouc.

Elles doivent être montées verticalement ; au besoin, l'entreprise peut fournir les trépieds adéquats.

Ces dernières se connectent entre-elles par Wi-Fi, ainsi qu'à un téléphone pour gérer les jeux.

L'application permet le lancement des jeux, et récupère le moment d'impact de chaque cible afin de créer des statistiques et de définir un score.

Les statistiques peuvent être fusionnées dans une base de données, permettant à un club de pouvoir suivre et comparer leurs différents membres.

Les cibles indiquent leur état à l'aide de 2 LEDs RGB diffusées par une protection de polycarbonate fumé de 8 [mm] d'épaisseur, pendant que toute la zone fait office de zone d'impact.

### M.E.T (G&G)

Le système **Multifunctional Electronic Target** de chez G&G [3] est un complet de ciblerie filaire avec les caractéristiques suivantes :

Interface Homme-Machine	Communication entre cibles	Offre de jeu	Nmax de cibles	Prix par cible	Détection impact
Bouton poussoir	Sériel 3 fils	Scénarios basiques, minuterie externe	30	110 CHF, sans matériel externe (bouton, minuterie ...)	Système de succion et barrière IR

Tableau 3: M.E.T - caractéristiques

#### Avantages :

- Fait pour la compétition
- Sur secteur, pas de batteries
- Pas d'appareil extérieur nécessaire – gestion avec un simple interrupteur
- Cible « 3D »

#### Désavantages :

- Câblage
- Forme et taille des cibles fixes
- Entretien du système de détection d'impact nécessaire (*voir 4.2 Analyse de concurrent*)



Figure 5: cibles G&G,

<https://www.ggtdu.com/wp-content/uploads/2016/02/met-unit.png>

G&G est une entreprise taïwanaise, fabricant de répliques et matériel Airsoft, dont un système de ciblerie.

Les cibles sont fournies avec leur « corps » fait de caoutchouc teinté vert et d'ABS noir.

Elles peuvent être montées verticalement ou posées à plat.

Ces dernières se connectent entre-elles par câble, avec un système de communication sur 3 fils, ainsi qu'à un interrupteur et à un afficheur 7 segments externe.

Les jeux sont lancés simplement par plusieurs appuis sur l'interrupteur, correspondant au mode de jeu voulu. Ce dernier est ensuite démarré avec un appui simple.

Le temps démarre en même temps que le jeu, pour s'arrêter automatiquement à la fin de ce dernier.

Les cibles indiquent leur état à l'aide de 4 LEDs rouge/bleu diffusées par le caoutchouc teinté vert, faisant office de zone d'impact 3D.

Le système est utilisé dans une compétition internationale dirigée par cette même entreprise.

*Le système, fourni par le mandant, a pu subir une ingénierie inverse, détaillée en 4.2 Analyse de concurrent ; y présentant notamment le système de détection de tir.*

### 3.2. Concurrents proches

*Par concurrents proches sont désignés les systèmes de ciblerie destinés à d'autres domaines.*

#### SteelAlive

Le système SteelAlive [4] est un complet de ciblerie sans fil avec les caractéristiques suivantes :

Interface Homme-Machine	Communication entre cibles	Offre de jeu	Nmax de cibles	Prix par cible	Détection impact
Téléphone/tablette	Wifi	Scénarios simples + statistiques	10	140 € (env. 148 CHF)	Piezo ( <i>sur prototype</i> )

Tableau 4: SteelAlive - caractéristiques

#### Avantages :

- Système sans fil
- Adaptable sur tout type de cible
- Statistiques de jeu
- Nomade
- LEDs déportables

#### Désavantages :

- Boitier relais Wi-Fi nécessaire
- Nombre de cibles limité



Figure 6: cible SteelAlive avec module LED,

<https://steelalive.io/wp-content/uploads/2019/07/led.png> /  
[https://steelalive.io/wp-content/uploads/2019/07/smart\\_target\\_device.png](https://steelalive.io/wp-content/uploads/2019/07/smart_target_device.png)

SteelAlive est une entreprise polonaise, qui possède une gamme de produits capable de fonctionner avec de la munition de tir.

Les cibles sont fournies sans corps : le système se fixe à l'arrière d'une plaque d'acier AR500 (*acier fait pour le tir*), et y sont branchés jusqu'à 3 modules LEDs, placés au bon vouloir de l'utilisateur.

Ces dernières se connectent entre-elles au travers d'une passerelle Wi-Fi, fournie dans le kit, ainsi qu'à un téléphone pour gérer les jeux.

L'application permet le lancement des jeux, et établit une liste de scores.

Les scores peuvent être comparés en ligne auprès d'autres utilisateurs du système.

Les cibles indiquent leur état à l'aide des modules LEDs annexes.

Repéré sur l'un des prototypes présentés, un piezo est visible, fixé à l'arrière de la cible. Cela laisse à penser que le pic de tension généré permet la détection de l'impact.



## Train2Shoot

Le système Train2Shoot [5] est un complet de ciblisme sans fil avec les caractéristiques suivantes :

Interface Homme-Machine	Communication entre cibles	Offre de jeu	Nmax de cibles	Prix par cible	Détection impact
Téléphone/tablette	Bluetooth	Scénarios simples + statistiques	1, avec 5 zones	?	Couche résistive variable sur carton

Tableau 5: Train2Shoot - caractéristiques

### Avantages :

- Système sans fil
- Statistiques de jeu
- Multizones
- Système radio longue portée (en option)

### Désavantages :

- Nombre de cibles limité
- Environnement spécifique
- Indications sur téléphone

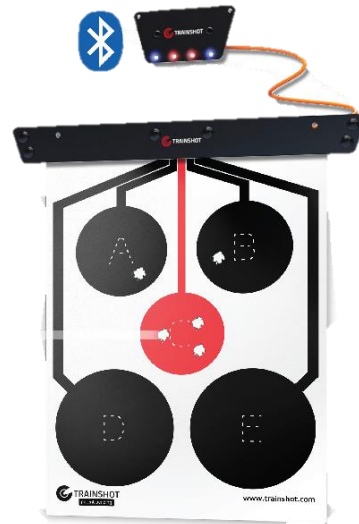


Figure 7: cible Train2Shoot,

[http://www.train2shoot.com/assets/Trainshot-shooting-range-kit\\_real-gun-electronic-shooting-system\\_how-it-works-1.jpg](http://www.train2shoot.com/assets/Trainshot-shooting-range-kit_real-gun-electronic-shooting-system_how-it-works-1.jpg)

Train2Shoot est une entreprise américaine, qui possède une gamme de produits capable de fonctionner avec de la munition de tir, destiné principalement au tir en stand.

Les cibles sont formées d'un module sur lequel une feuille cartonnée vient se clipper. Y sont dessinées 5 zones de tir différentes. Cette dernière est interchangeable.

Le système se connecte à un téléphone, qui gère les scénarios.

L'application permet le lancement des jeux, et établit une liste de scores.

Les cibles n'ont pas de moyen d'indiquer leur état. Le téléphone doit donc être proche du tireur afin de savoir quelle est la prochaine zone à toucher.

## 4. Electronique – Analyse des solutions

### 4.1. Caractéristiques recherchées

Les différents éléments du système devant être décidés sont :

- **Système nomade** : comment faire marcher le système avec et sans accès au 230 [V]
- **Bus de communication** : comment faire communiquer les différentes cibles
- **Détection du tir** : comment reconnaître un impact de projectile d'une autre perturbation (p.ex. vent)
- **Indicateurs sensoriels** : comment faire connaître l'état du système à l'utilisateur
- **Détecteur de présence** : comment détecter et réagir à la présence d'un joueur
- **Format du contrôleur de jeu** : comment régler le système, le démarrer ...

Le système se compose de deux circuits majeurs : un **contrôleur**, sur lequel les modes de jeu sont réglés ; ainsi que plusieurs **cibles**. A cette dernière seront joints deux modules (leds, son / détection de présence).

La première étape consiste en l'analyse d'un système concurrent, suivie de la sélection des solutions pour les points mentionnés précédemment.

### 4.2. Analyse de concurrent

Le mandant a fourni une cible du système M.E.T [3].

Cette dernière a été décortiquée et analysée pour en tirer les principes essentiels appliqués.

#### Fonctionnement du système

Les cibles se présentent sous la forme suivante :



Y est branché un interrupteur, avec lequel l'utilisateur peut charger un mode de jeu (par multiples appuis successifs).

Le temps de jeu est donné sur un afficheur 7 segments externe.

Les cibles sont capables de détecter des tirs à 180 [°], avec une membrane caoutchouc bombée (*principe présenté plus bas*).

Ces dernières sont équipées chacune d'un haut-parleur, avec divers sons réglables.

Des LEDs rouges et bleues présentent l'état de la cible (bleu – actif, rouge – touché).

Les cibles sont câblées l'une à l'autre, à la suite.

Figure 8: système M.E.T,  
<https://www.guay2.com/en/product/detail-1306/>

### Ingénierie inverse

Le système électronique a été redessiné (voir annexe 10.1 Ingénierie inverse – système G&G).

De ce dernier sortent les principes suivants :

- L'**alimentation** est **auto-gérée** : pour permettre une consommation moindre lorsque le système n'est pas employé, la plupart des sous-systèmes sont désactivés.
- Le **système de communication** entre les cibles est un système **sériel sur 3 fils**, dont la topologie du réseau est de type bus :

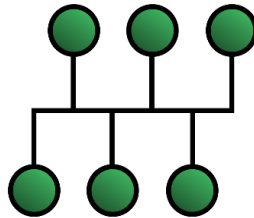


Figure 9: Net Topology, By Myself - Own work, Public Domain,  
<https://commons.wikimedia.org/w/index.php?curid=3583085>

Le protocole n'étant pas connu, il est toutefois possible de déterminer, par le câblage, que les entrées sont de type open-drain.

*Pour les signaux eux-mêmes, une hypothèse est telle que l'un des signaux définit l'utilisation du bus, un second l'horloge et un troisième la donnée.*

- Un **processeur audio**, suivi d'un amplificateur classe D et d'un haut-parleur, permettent la lecture de **plusieurs sons**, sélectionnables par un DIP switch.
- Un **capteur d'inclinaison** permet de sélectionner quel détecteur d'impact utiliser (deux capteurs orthogonaux l'un à l'autre, pour utiliser la cible verticalement ou posée à plat).

### Détecteur d'impact

Le système de détection de tir se base sur une bille très légère, une barrière infrarouge et un système de succion, qui peut être représenté ainsi :

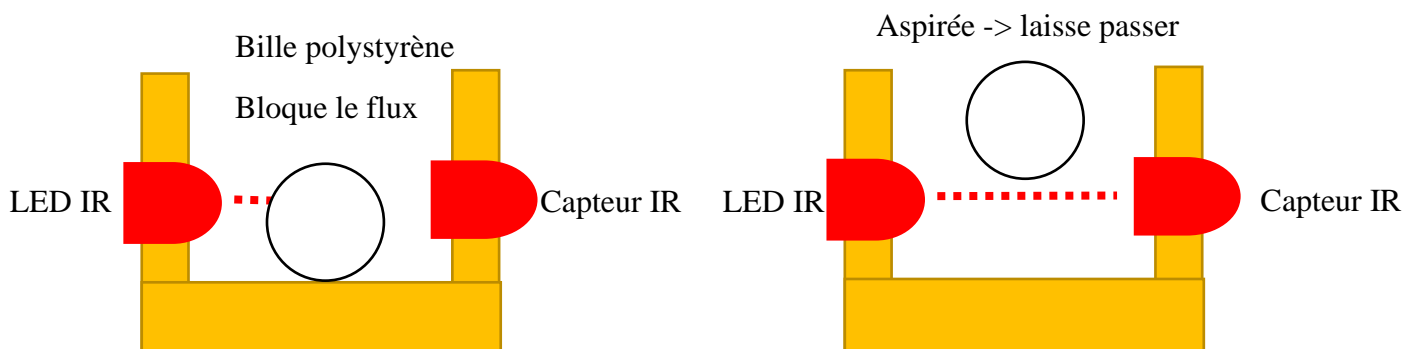


Figure 10: fonctionnement du capteur G&G M.E.T

Bien que sensible et permettant à la cible d'avoir une zone de touche « 3D », ce dernier présente deux désavantages :

- La mécanique est très spécifique
- La bille est sujette à l'électricité statique, requérant un entretien régulier (sans quoi la détection devient bancale)

*Cette section regroupe les éléments électroniques communs aux cibles et au contrôleur.*

### 4.3. Système nomade

#### Considérations

Dans le but d'offrir un transport et une utilisation simplifié lors d'une délocalisation temporaire du système (location, changement de lieu d'utilisation), ce dernier doit être capable de travailler avec ou sans branchement sur le secteur.

De fait, chaque module doit être équipé d'une batterie, être rechargeable, et être capable de travailler directement sans batterie lorsque branché sur le 230 [V].

Une liste du courant potentiel est établie (fait état de toutes les considérations et choix pris dans la suite de ce chapitre) :

*Cible*

Elément	Courant potentiel max.
uC	5 mA
LEDs	200 mA
Communication	70 mA
Son	100 mA
Capteurs	10 + 1 mA
<b>Total</b>	<b>386 mA @ 3.3V, eq. 255 [mA] @ 5V w. <math>\eta = 1</math></b>

Tableau 6: Courants potentiels d'une cible

*Contrôleur*

Elément	Courant potentiel max.
uC	5 mA
LEDs	20 mA
Communication	70 + 20 mA
Son	100 mA
Ecran	15 + 100 mA
<b>Total</b>	<b>330 mA @ 3.3V, eq. 218 [mA] @ 5V w. <math>\eta = 1</math></b>

Tableau 7: Courants potentiels du contrôleur

Le système peut être représenté ainsi :

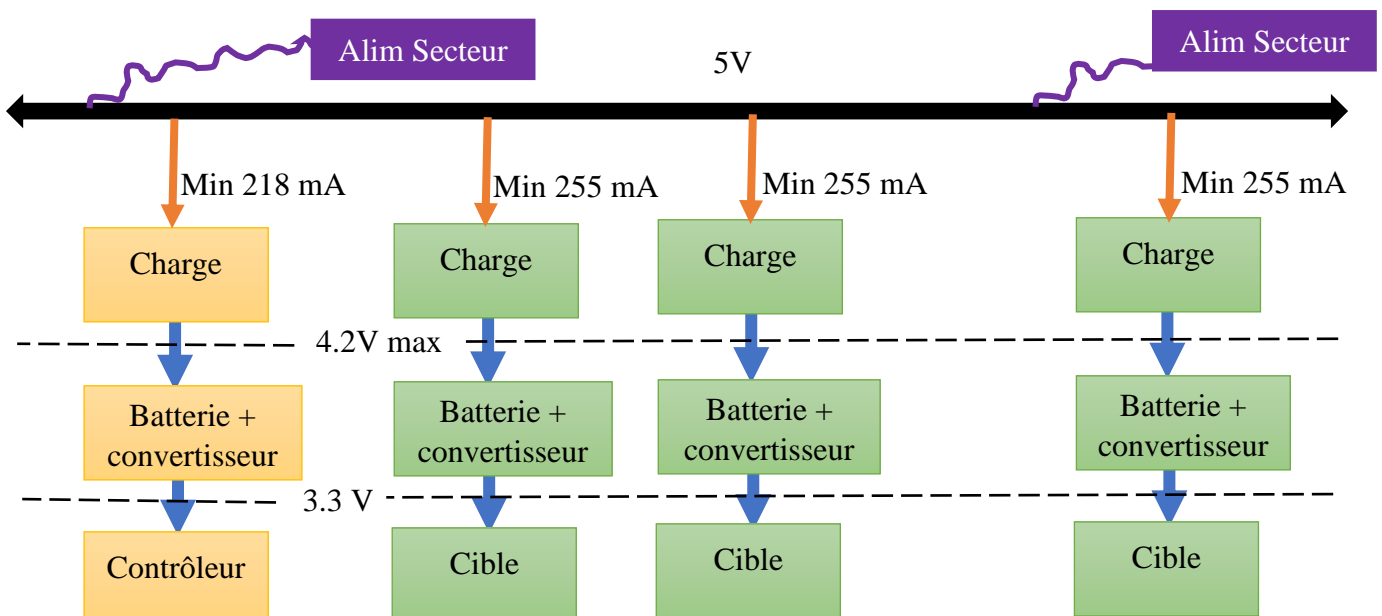


Figure 11: Alimentation du système



## Solutions

S'offrent deux possibilités :

- Une seule alimentation robuste sur la ligne, capable d'alimenter le système entier
- Plusieurs alimentations réparties sur la ligne, de type chargeur USB (5V, pour appareil électronique générique)

Critère	1 alim. sur mesure	Plusieurs alims. « USB »
Conception	Dimensionnement sur mesure	Blocs d'alimentation « USB » du commerce
Entretien / Remplacement	Changement du bloc complet par un second sur mesure	Changement du bloc défectueux par un équivalent
Encombrement (prises secteur)	1 prise	Multiples prises le long du parcours
Ajout de cibles	Redimensionnement du bloc	Ajout de blocs selon courant nécessaire
Sur la longueur	Un bloc mis au centre => pertes le long de la ligne	Tout au long de la ligne => moins de pertes

Tableau 8: Comparatif de l'alimentation du système sur secteur

Les deux propositions sont aisément remplaçables l'une par l'autre pour réaliser des tests. Le système est donc pensé pour accueillir plusieurs blocs d'alimentation le long de la ligne, **et sera d'ailleurs testé ainsi.**

En reprenant le projet plus loin, il est tout à fait envisageable de concevoir un bloc d'alimentation dédié et de ne le brancher qu'en début de ligne, tout en comparant les résultats avec la méthode précédente, notamment pour l'utilisation dans un périmètre restreint.

## Choix

Le système sera équipé, le long de la ligne, de **plusieurs blocs d'alimentation type « chargeurs USB »**, leur nombre étant variable suivant la quantité de cibles utilisées. Les batteries seront ainsi chargées, et la tension adaptée ensuite pour alimenter le circuit.

## Dangers

Le fait de travailler sur batterie, ici de type Lithium-Ion, implique de réaliser une charge adéquate, ainsi que d'éviter toute surcharge ou sous-charge qui pourraient entraîner une destruction définitive de la batterie, voire une combustion ou explosion de cette dernière. Des circuits adaptés doivent donc être mis en place.

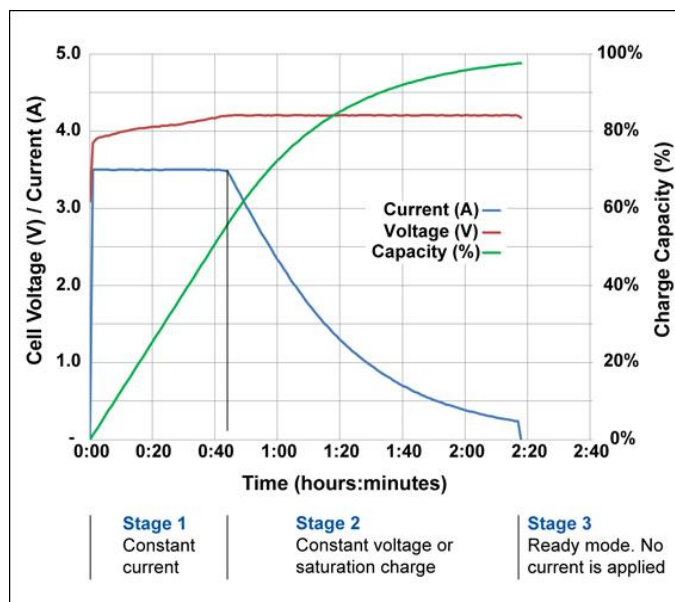


Figure 12: courbe de charge Li-Ion, [https://batteryuniversity.com/learn/article/how\\_to\\_charge\\_li\\_ion\\_with\\_a\\_parasitic\\_load](https://batteryuniversity.com/learn/article/how_to_charge_li_ion_with_a_parasitic_load)

## 4.4. Bus de communication

### Considérations

Pour gérer la transmission des données entre les cibles et le contrôleur, un moyen de communication doit être sélectionné.

Il doit permettre à plusieurs nœuds de discuter, au minimum 30.

La distance de communication doit être maximale, pour pouvoir disposer les cibles à bon écart les unes des autres.

Tous les nœuds doivent pouvoir transmettre des données, dès lors que nécessaire.

### Solutions

Nom	Sortie	Portée	Nœuds max.	Multi. Comm.	Collisions	Autre
LIN	Level shift	40 m	16	Maître - esclave	n.a.	Filaire
Ethernet	Push-pull	100 m	254	v	Géré	Filaire
RS485	Différentielle	1.2 km @ 90 kbps	32	Possible	Non géré	Filaire
CAN	Différentielle	1 km @ 10 kbps	100 +	v	Géré	Filaire
SPI / Microwire	Push-pull	3 m	Illimité (daisy chain)	Maître-esclave	n.a.	Filaire
I2C	Open-drain	1 m	121 / 1017	Possible	Non géré	Filaire
RS232	Push-pull	100 m @ 2.4 kbps	1 / Multi	Token Ring	-	Filaire
RS422	Différentielle	1.2 km @ 100 kbps	10	Possible	Non géré	Filaire
UNI/O	Push-pull	Sur carte	127 / 1017	Maître - esclave	n.a.	Filaire
MicroLAN (1-Wire)	Push-pull	100 m	20	Maître - esclave	n.a.	Filaire
SDI-12	Push-pull	65 m	10 / 62	Maître - esclave	n.a.	Filaire
Bluetooth	2.4 GHz – 2.4835 GHz	100 m	Illimité (mesh)	v	Géré	Sans-fil, pertes au travers des murs
Wi-Fi	2.412 GHz – 2.484 GHz / 5.15 GHz – 5.835 GHz	300 m	Illimité (mesh)	v	Géré	Sans-fil, pertes au travers des murs

Tableau 9: Comparatifs des bus sériels pour la communication

Les bus sans-fil ont été écartés pour cause de complexité de mise en œuvre dans une topologie (mesh) offrant les caractéristiques requises par l'application.

Aussi, les systèmes par ondes présentent des pertes de portée lorsqu'utilisés au travers d'obstacles. Connaissant le cadre d'utilisation du projet (terrains changeants, dont bâtiments avec plusieurs salles), ces derniers présentent des risques.

Pour pouvoir malgré tout tester leur hypothétique utilisation, la première version du système offre une communication par câbles, ainsi qu'un module Wi-Fi (non-peuplé) pour réaliser des tests futurs sans avoir à créer de nouveau circuit électronique spécifique.

### Options

En ressortent deux bus : **CAN** et **RS485**, offrant tous deux une sortie par paire différentielle, permettant la communication sur longue distance avec une plus grande immunité au bruit.

Le bus **RS485** semble plus apte à transmettre une information sur longue distance, pouvant atteindre une distance légèrement supérieure au CAN avec une vitesse 9\* supérieure.

Le bus **CAN** offre quant à lui une gestion automatisée des collisions ainsi que le renvoi de messages non lus, avec un filtrage automatique des messages selon leur adresse.

Le désavantage du bus **RS485** est de devoir développer une couche pour traiter tous les messages (plus de temps pris au processeur), ainsi que de gérer l'envoi et le renvoi tout en évitant les erreurs (principes « écouter avant de parler » et « écouter en parlant » pour éviter les collisions) ; tandis que le CAN possède un module dédié.

### Choix

Avec les considérations précédentes, le bus CAN répond mieux au besoin du fait de sa plus grande facilité d'implémentation.

Le bus de communication entre le contrôleur et les cibles sera le **bus CAN**, ce dernier protégé au mieux contre les surtensions/décharges électro-magnétiques dues au maniement des câbles.

*Cette section regroupe les éléments électroniques propres aux cibles.*

#### 4.5. Détection du tir

##### Considérations

Pour les cibles, il est essentiel d'être capable de détecter des impacts d'intensité variable, tout en ne réagissant pas à des facteurs extérieurs (vent, chocs n'étant pas dirigés sur la cible ...).

La force à l'impact est d'au moins<sup>5</sup> 200 [FPS] – *pieds par seconde* -, correspondant à **61 [MPS]** – *mètres par seconde* -.

Les projectiles les plus légers rencontrés dans la pratique de l'Airsoft pèsent<sup>6</sup> **0.12 [gr]**.

On peut donc appliquer l'équation suivante qui représente l'énergie cinétique à l'impact :

$$F_{cin} = \frac{1}{2} * m_{projectile} * v_{projectile}^2 = \frac{1}{2} * 0.00012 * 61^2 = \mathbf{0.223 [J]}$$

*Équation 1: Force du projectile à l'impact*

Les données utilisables s'arrêtent malheureusement ici. Il est impossible de calculer la force de cette énergie lors de l'impact, même en supposant qu'elle soit totalement transmise à la cible. Il faudrait pour cela connaître la durée de l'impact.

Seule la manière empirique (mesure avec un appareil dédié) peut faire foi dans cette situation.

##### Solutions

Il est donc question ici de détecter l'impact sur une surface :

Capteur	Principe	Plage de détection	Sensibilité aux facteurs externes	Avantages	Inconvénients
Accéléromètre	Accélération due au choc	Très sensible	Pas de perturbation	Direction de l'impact, sensibilité réglable	Communication avec chip dédié (2 fils)
Grille IR	Grille d'émetteur/récepteurs IR, le projectile coupe une ligne en impactant la cible	Limité par la vitesse de transition des capteurs IR	Pas de distinction entre les corps solides (feuille ...)	Position du choc	Grille propre à la forme de la cible, résolution nécessaire importante
Micro	Le choc crée du bruit qui se transmet	Très sensible	Grande	Pas de contact nécessaire	Trop perturbable, circuit de filtrage
Membrane piezo	Le choc entraîne une vibration du piezo résultant en un pic de tension	Sensible	Pas de perturbation	Bas prix	Circuit de mise en forme requis

Tableau 10 : Solutions pour la détection de l'impact

<sup>5</sup> Valeur basse, avec marge, du matériel rencontré en Airsoft ; le standard se portant sur **300 [FPS] et plus**

<sup>6</sup> A nouveau une valeur basse ; le standard se portant sur **0.2 [gr] et plus**



### Tests des possibilités

Le choix se fait entre un capteur piezo ou un accéléromètre.

#### **Piezo**

Le capteur piezo peut être testé facilement :

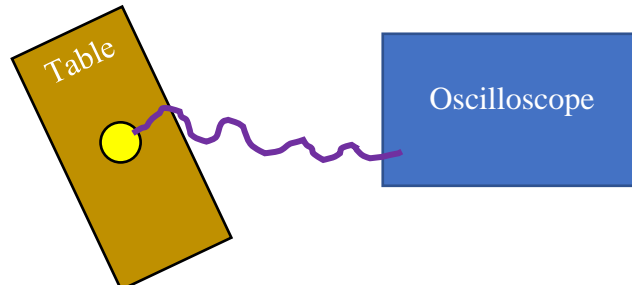


Figure 13: Schéma test pour piezo

*Attention, le piezo peut générer de hautes tensions.*

Le protocole est tel que :

- Un piezo nu, de 12 [mm] de rayon, est fixé sur une table en bois
- Ce dernier est relié à une sonde
- La zone du piezo est impactée, plus ou moins fort, et le signal capturé

*Piezo employé :*



Figure 14: Piezo nu,  
<https://www.amazon.co.uk/Spiratronics-Uncased-Piezo-Transducer/dp/B00940V1EG>

La mesure n'a **rien de précis**.

Elle est là à pur titre indicatif, pour se rendre compte de la sensibilité du système.

On peut voir plusieurs courbes de différents chocs sur la figure suivante :

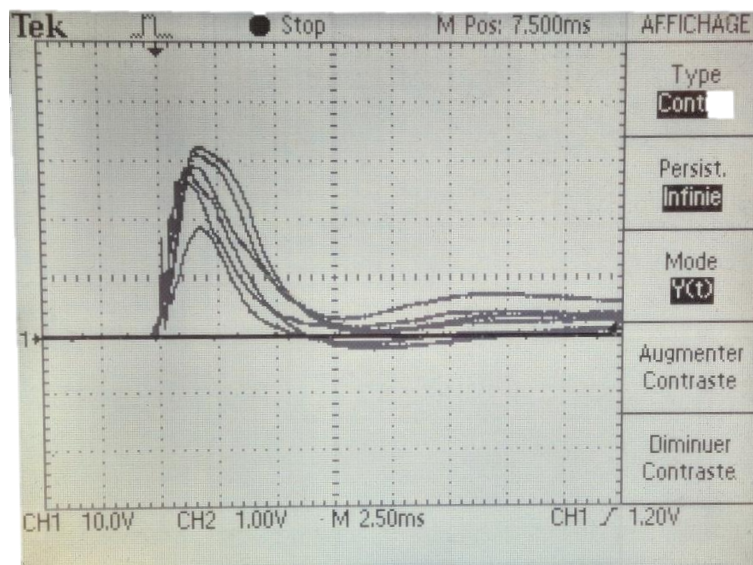


Figure 15: courbes de réponse du piezo

## Accéléromètre

L'accéléromètre ne peut être testé sans l'embarquer sur un système spécifique.

Toutefois, il est possible de se rendre compte d'une sensibilité en utilisant un smartphone et analysant ses capteurs :

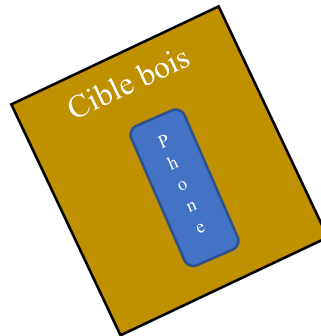


Figure 16: Schéma test pour accéléromètre

Le protocole est tel que :

- Le téléphone est fixé, sans coque, sur une planche de contreplaqué d'1 [cm] d'épaisseur
- L'application SensorLab pour Android est lancée, les valeurs de l'accéléromètre enregistrées au format .csv
- Plusieurs tirs sont réalisés sur la cible avec du matériel standard (projectile mesuré à 280 [FPS])
- Le signal est mis en forme sous Excel

On obtient le graphique suivant :

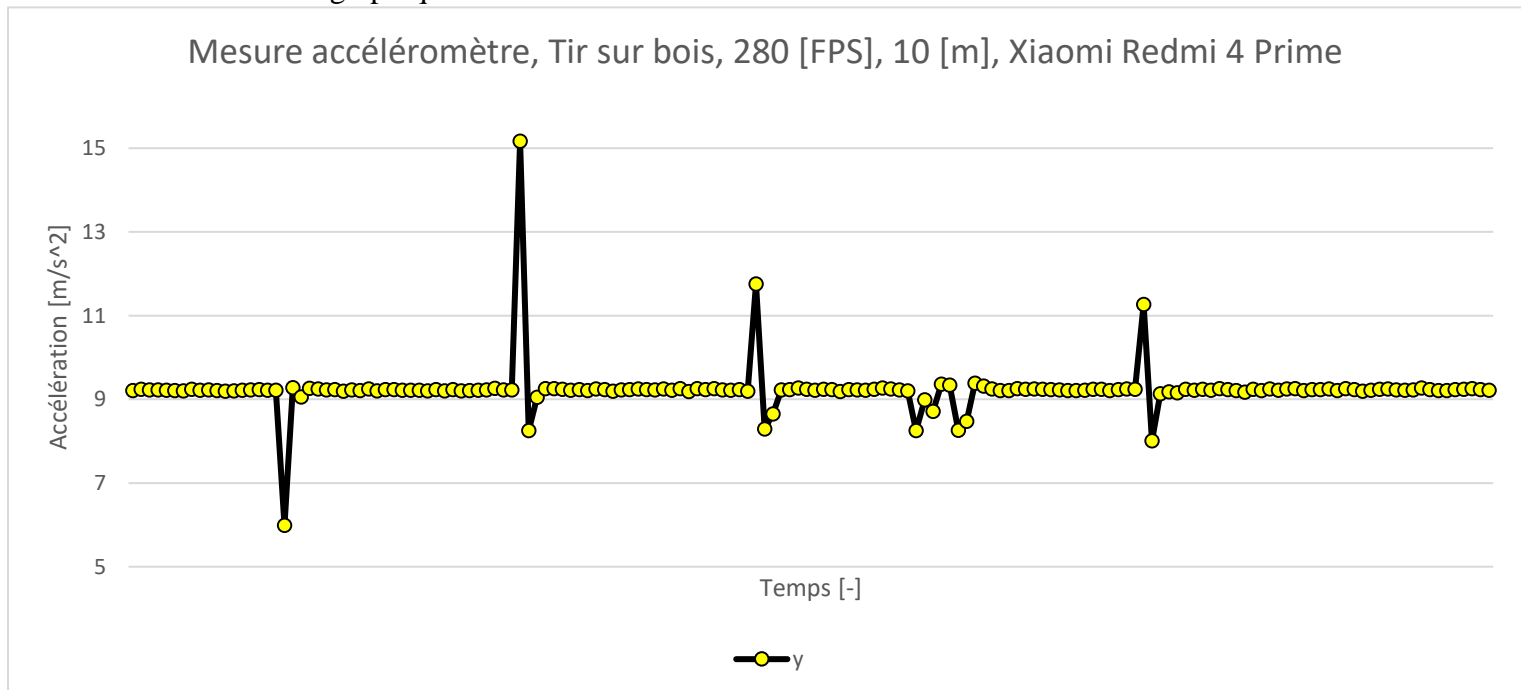


Figure 17: Accélération dus aux tirs

L'axe du temps n'est là qu'à pur titre indicatif et ne présente donc pas de valeurs.

*Pour réaliser une correspondance en g des tapotements, on donne le quotient de la valeur mesurée par rapport à g standard, valant  $g = 9,80665 \text{ [m/s}^2\text{]}$  [6].*

Les pointes représentent un delta d'environ  $2 \text{ [m/s}^2\text{]}$  pour les moins importantes, correspondant à un delta de  $0.2 \text{ [g]}$

Des accéléromètres bas-coût, comme le **MMA8652FC** [7], offrent une résolution de  $0.00098 \text{ g}$ , largement suffisante pour effectuer la détection des chocs, tout en offrant la possibilité d'utiliser des projectiles moins puissants, et ainsi augmenter la cible de clients potentiels (utilisation des Nerfs).

### Choix

Le piezo, au travers des tests, s'est révélé largement capable de remplir son rôle. Il faut toutefois noter qu'un circuit de mise en forme, permettant de créer un flanc d'interruption lors d'un choc (et ainsi libérer le convertisseur A/D) doit être mis en place, permettant ainsi de minimiser l'impact sur la consommation. De même, le seuil doit pouvoir être réglable (comparateur avec DAC, ou potentiomètre numérique).

L'accéléromètre à quant à lui l'avantage d'offrir des interruptions, permettant de détecter le choc en plus de pouvoir détecter lorsque la cible tombe, tout en consommant très peu (moins de  $200 \text{ [uA]}$ ), et ne requiert pas de circuit extérieur.

Le seuil peut être réglé purement par logiciel, et la sensibilité nécessaire pour détecter les impacts semble convenir avec des modèles à bas-coût.

**L'accéléromètre** est sélectionné.

## 4.6. Indicateurs sensoriels

### Considérations

Les cibles doivent pouvoir indiquer leur état au travers d'une indication visuelle et sonore.

Pour le visuel, la cible doit pouvoir s'éclairer de multiples couleurs selon leur fonction actuelle (touchée, en attente ...). La lumière doit pouvoir se voir, même en plein jour.

Pour le son, la cible doit pouvoir émettre un bruit pour indiquer son emplacement (lors de certains modes de jeux, comme lorsque les cibles s'allument aléatoirement).

### Choix - LEDs

Concernant les LEDs, la solution la plus souple est d'utiliser des LEDs RGB. Ces dernières sont placées sur un circuit à part, permettant de positionner la lumière à l'endroit voulu sur la cible.

Un système mécanique à base de matériel focalisant permettra d'améliorer le mélange des couleurs, en même temps que diffuser et concentrer la lumière sur un même point :



Il est possible d'utiliser des LEDs de moins grande puissance, et donc d'économiser de l'énergie. De plus, la LED est protégée contre un impact potentiel.

Figure 18: Focaliseur pour LEDs,  
<https://www.aliexpress.com/item/32905704306.html?spm=a2g0s.9042311.0.0.27424c4drII9Ps>

### Solutions – son

Trois solutions potentielles peuvent être envisagées :

Moyen	Avantages	Inconvénients
Buzzer (DC)	Simple, peu coûteux	1 seul son
Buzzer (PWM/UART)	Simple, sons (basiques) différents	Plus de ressources logicielles que le buzzer (dc)
Ampli. + haut-parleur	Sons agréables	Nécessite un processeur/chip dédié pour l'audio enregistré, un amplificateur ainsi qu'un haut-parleur

Tableau 11: Solutions pour le son

À la suite d'une discussion avec le mandant, il n'y a pas de gain réel à utiliser de « vrais sons » pré-enregistrés comparé à la hausse du prix.

La solution ampli + haut-parleur est donc écartée.

L'implémentation d'un buzzer sur PWM/UART est peu gourmande en ressource et permet une variation possible du son.

### Choix - son

Le **buzzer sur PWM/UART** est donc choisi comme indicateur sonore.

## 4.7. Détecteur de présence

### Considérations

Le mandant a demandé à ajouter la possibilité de détecter un joueur (lors de son entrée dans une pièce par exemple) pour permettre une immersion plus poussée lors d'entraînements.

Il est défini que la distance de détection se doit d'approcher les 5 [m].

### Solutions

Moyen	Avantages	Inconvénients
Caméra	Analyse du nombre de personnes, longue distance	Coûteux, positionnement correct nécessaire, forte puissance de calcul
Son	Longue distance, directionnel (avec micro spécifique)	Peut détecter n'importe quoi
Vibrations	-	Peut détecter n'importe quoi, cibles doivent être au sol, pas directionnel
Capteur IR	Directionnel, simple et peu coûteux	Doit être modifié pour tourner en 3.3 [V]

Tableau 12: Solutions pour la détection de mouvement

Le capteur IR, traditionnellement un capteur PIR (Pyroelectric InfraRed sensor), permet la détection d'un changement dans le spectre IR (c.à.d. détecte la chaleur humaine).

La longueur de détection varie de 2 à 12 mètres. Des circuits tout-en-un, contenant un système de mise en forme, peuvent être achetés directement à bas prix.

### Choix

Un **capteur PIR** est choisi, permettant de détecter facilement un mouvement.

De la même manière que pour les LEDs, ce dernier est monté sur un circuit externe pour permettre de le placer selon la forme de la cible, et branché selon le besoin du client.

*Cette section regroupe les éléments électroniques propres au contrôleur.*

## 4.8. Format du contrôleur de jeu

### Considérations

Pour communiquer et gérer les cibles, il pourrait être choisi d'intégrer les scénarios dans chaque cible, puis d'en choisir une gérant l'ensemble, au même titre que le système G&G [3].

Toutefois, le mandant a demandé à pouvoir créer des scénarios séquentiels (les cibles 1-2-3-4 s'allument, une fois touchées les cibles 5-6-7-8 s'allument ...). De fait, il est nécessaire de fournir une interface à l'utilisateur pour pouvoir faire ces réglages.

Viennent ensuite trois axes de travail :

- Gérer le système par Bluetooth/Wi-Fi sur son téléphone/ordinateur portable
- Gérer le système par connexion USB sur un ordinateur portable
- Contrôleur indépendant offrant une interface propre

Le mandant désirant pouvoir transporter le matériel pour le délocaliser, ainsi que de le louer, il est compliqué de pouvoir offrir une application fonctionnant sous les différents systèmes d'opérations mobiles. De même que pour le PC, qui coupe la portabilité du système.

Il est décidé qu'un boîtier indépendant permettra la gestion des jeux.  
Ainsi, l'interface homme-machine doit être décidée.

### Solutions

Trois solutions sont présentées au mandant :

#### **Clavier + écran**

La première proposition consiste en l'utilisation d'un clavier matriciel, couplé à un écran pour se diriger dans les menus et modifier les jeux.

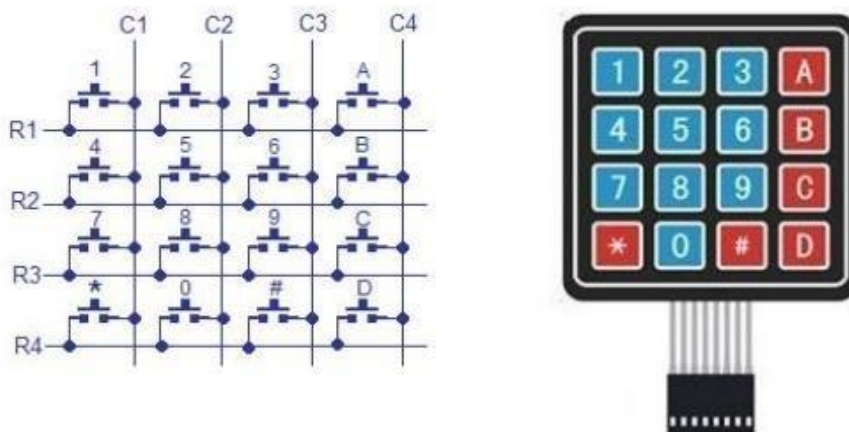


Figure 19: Clavier matriciel, [https://www.researchgate.net/figure/Clavier-matriciel-44-et-son-schema-de-principe-b-Detection-des-touches-Il-faut\\_fig25\\_288327838](https://www.researchgate.net/figure/Clavier-matriciel-44-et-son-schema-de-principe-b-Detection-des-touches-Il-faut_fig25_288327838)

L'avantage ici est de pouvoir taper directement des chiffres.

Le désavantage est le peu d'intérêt d'avoir autant de touches à disposition, qui ne feront que se perdre l'utilisateur ; ainsi qu'à la place nécessaire pour ce dernier sur le boîtier.

### **Ecran tactile**

La seconde proposition consiste en l'emploi d'un écran tactile en guise d'interface.

L'avantage est de réduire la place prise et de rendre le système plus interactif (boutons, sliders, clavier virtuel ...).

Le désavantage, soulevé par le mandant, porte sur le fait que les utilisateurs sont souvent enclins à porter des gants de protections épais. Il serait difficile de bien l'utiliser. Fournir un stylet permettrait de contrebalancer le problème.

### **Ecran + 2 boutons + codeur rotatif**

La dernière proposition est d'employer un écran, l'utilisateur pouvant se diriger dans les menus à l'aide d'une molette (codeur rotatif). Deux boutons, « Accepter » et « Annuler », permettent de valider une action ou de sélectionner un sous-menu.

### **Autres éléments du contrôleur**

Le contrôleur intègre bien sûr un port de connexion aux cibles au travers du bus choisi. De plus, il possède lui-même une batterie pour le rendre nomade.

Il doit aussi être capable d'émettre un son, de la même manière que les cibles, pour indiquer un problème ou une fin de jeu à l'utilisateur.

Un écran rétro-éclairé étant employé, un capteur de luminosité est intégré, permettant d'économiser de l'énergie en gérant la puissance d'éclairage.

Un bouton extérieur peut y être branché. Ce dernier permet de lancer les modes de jeux enregistrés avec un accès rapide, ou de terminer un jeu.

### **Choix**

Le choix se fait donc sur le système « écran + 2 boutons + codeur rotatif », sans toutefois exclure la possibilité d'utiliser un écran tactile (prévu sur la plaque, mais non utilisé actuellement). Ce dernier pourrait être schématisé ainsi :

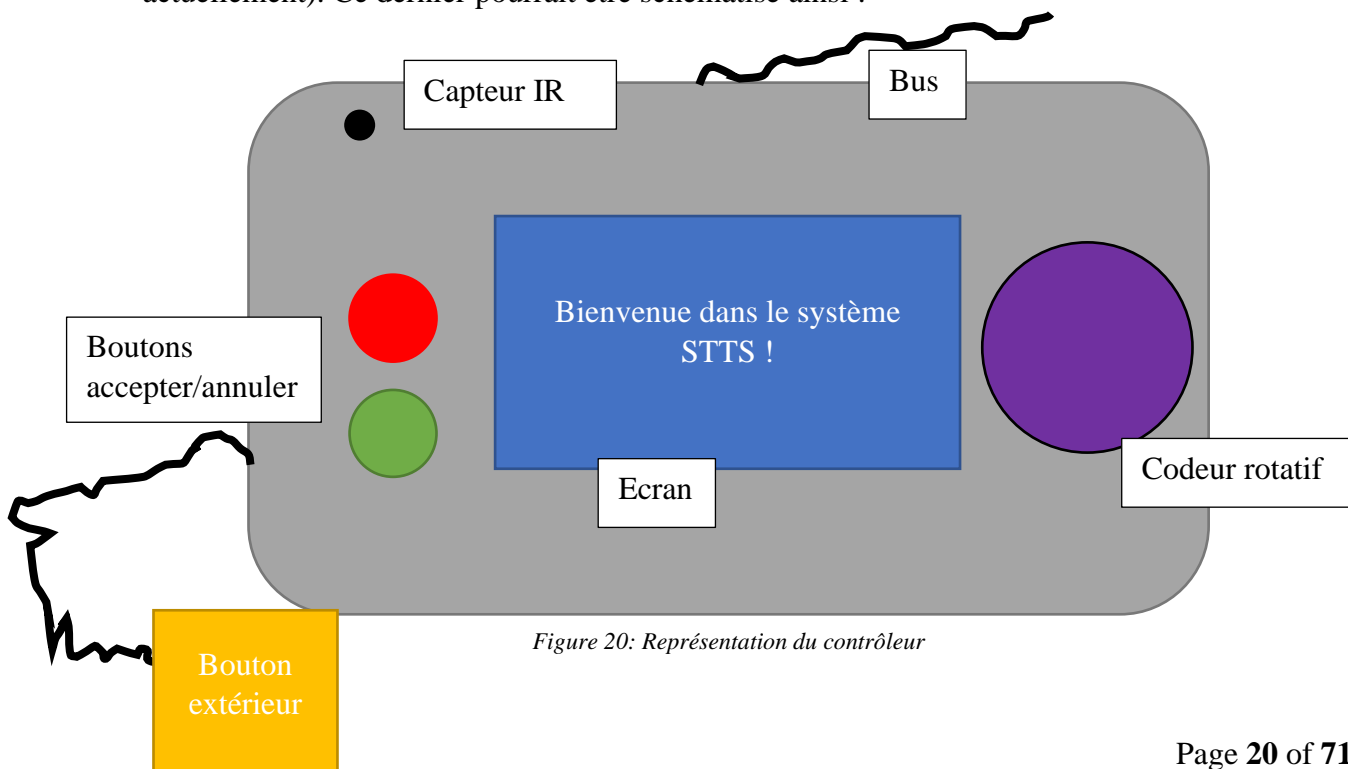


Figure 20: Représentation du contrôleur



## 4.9. Autres éléments

### Système sans-fil

Afin de permettre d'éviter l'utilisation de câbles, un système Wi-Fi en topologie mesh (pour une plus grande distance d'utilisation) peut être envisagé :

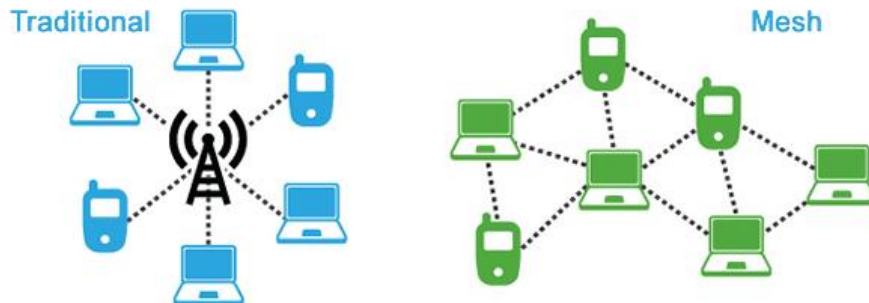


Figure 21: topologie Mesh,

<https://paulbunyantech.com/what-is-mesh-networking-why-would-you-use-it/traditional-wifi-vs-mesh-wifi-network/>

Dans cette optique, les cibles ainsi que le contrôleur sont équipés d'un emplacement pour puce Wifi ESP-12F.

Bien que non peuplé, il permettra de pouvoir continuer l'implémentation de ce système en dehors du cadre de ce projet. La gestion de base du module UART discutant avec la puce wifi ainsi que son alimentation ont été implémentés logiciellement.

### Communication de debug

Pour aider à la conception du système, un module UART<->USB FTDI 232 est prévu sur les cibles ainsi que le contrôleur. Peuplé sur les versions de développement, il permet une communication bidirectionnelle avec un ordinateur.

Dans sa version finale, seul l'emplacement sur le contrôleur serait intéressant à garder, permettant par la suite de réaliser un programme de gestion des scénarios par ordinateur.

### Communication Bluetooth

Une seconde façon d'offrir plus de personnalisation à l'utilisateur est d'équiper le contrôleur d'un système Bluetooth, permettant ainsi une plus grande souplesse sur la gestion des scénarios.

Dans cette optique, le contrôleur est équipé d'un emplacement pour RN4020 (puce BLE), mais non peuplé. Il pourra être utilisé pour la continuité du développement en dehors du cadre de ce projet.

Le système de gestion de la puce, par UART, est repris d'un projet précédent et est donc prêt à émettre et recevoir des commandes.



## 5. Electronique – Développement

*Cette section regroupe les éléments électroniques communs aux cibles et au contrôleur.*

### 5.1. Gestion de la batterie

#### Charge de la batterie

La batterie, de type **18605** et de technologie **Li-Ion**, est rechargée par un circuit spécialisé, permettant la gestion automatisée du courant de charge.

La puce utilisée est la **MCP73833** [8] de chez Microchip, spécialisée pour la charge d'une cellule Li-Ion.



Figure 22: batterie 18650

Selon les considérations du chapitre 4.3 *Système nomade*, le courant doit être d'au moins 255 [mA]. Il est possible d'y régler le courant de charge à l'aide d'une résistance, selon l'équation suivante provenant du datasheet [8] :

$$I_{reg} [mA] = \frac{1000 [V]}{R_{prog} [kOhms]}$$

Équation 2: courant de charge de la batterie

Avec une **résistance de 1.8 [kOhms]**, le **courant** donné est de **556 [mA]**. Ce courant est supérieur au minimum requis, et permettra une recharge plus rapide de la batterie en cas de besoin.

La charge se fait sur le même connecteur que le CAN, au travers d'un câble USB s'implantant sur la ligne.

#### Protection sur/sous-tension/charge

Cette dernière est aussi protégée par un circuit spécialisé, le **AP9101** [9], détectant la sur/sous-charge ainsi que la consommation excessive de courant, en coupant la masse du circuit en cas de problème :

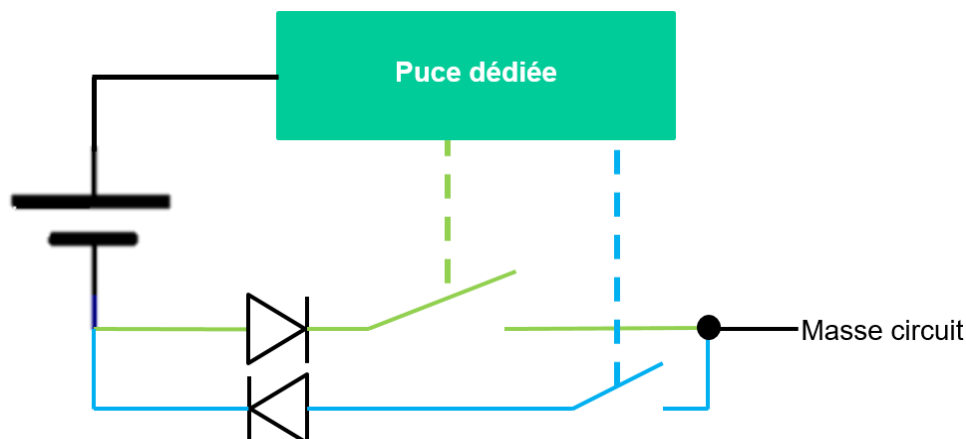


Figure 23: représentation du circuit de protection de batterie

Cette puce contrôle des MOSFETs N dual à enrichissement, le **DMG9926UDM** [10], schématisés ici par des interrupteurs et diodes, qui permettent ainsi d'activer ou désactiver indépendamment la charge (vert - désactivé en cas de surtension) ou décharge (bleu - désactivé en cas de surcharge ou sous-tension) de la batterie.

### Protection en température

La batterie doit être utilisée dans une plage de température prescrite. Le chargeur de cellule précédent possède une entrée spécialisée dans ce sens.

Pour définir la plage, une thermistance de 10 [kOhms] et ses données constructeur [11] connues, on choisit de déterminer un pont de résistance permettant au chargeur de cellule d'opérer dans une plage de -10 [°C] à 50 [°C].

Cette plage est déterminée par :

- Valeur basse : la batterie Li-Po commence à se **détériorer** en dessous de - 20 [°C] ; une marge de sécurité est prise
- Valeur haute : la batterie Li-Po ne doit pas être utilisée au-dessus de 60 [°C], valeur où le **risque d'explosion** apparaît ; une marge de sécurité est prise

Selon les valeurs de détection du chargeur de cellule [8] page 4, **Vmin = 0.25 [V]** et **Vmax = 1.2 [V]**, la thermistance est donnée par l'équation :

$$B = \frac{T_2 * T_1}{T_2 - T_1} * \ln\left(\frac{R_1}{R_2}\right), T_x \text{ in } [K]$$

*Équation 3: Valeur de thermistance*

Avec la valeur de thermistance [12] **B = 3434 [K]** insérée dans l'équation précédente :

- R50 = 4.102 [kOhms] @ 50 [°C]
- R-10 = 46.269 [kOhms] @ -10 [°C].

On détermine la résistance série telle que :

$$\frac{V_{min}}{I_{cst}} = R_s + \frac{R_p * R_{50}}{R_p + R_{50}}$$
$$\frac{V_{max}}{I_{cst}} = R_s + \frac{R_p * R_{-10}}{R_p + R_{-10}}$$

*Équation 4: Pont de résistance pour thermistance*

Avec **Icst = 50 [uA]** [12], on obtient :

- Rs = 1.242 [kOhms]
- Rp = 44.786 [kOhms]

*La seconde solution de l'équation n'est pas interprétable dans le monde réel, avec une résistance calculée négative.*

On choisit donc **Rs = 1.2 [kOhms]** et **Rp = 43 [kOhms]**, ce qui donne :

- Rtemp = 4168.37 [Ohms] => T = 322.665 [K]
- Rtemp = 48534.7 [Ohms] => T = 262.19 [K]

Ce qui équivaut à une plage de **-10.96 [°C]** à **49.515 [°C]**.

### Alimentation sur et sans raccordement secteur

Puisque le système doit pouvoir être employé de façon nomade ou branché sur le secteur, le système à batterie précédemment présenté a été implémenté.

Toutefois, lorsque le système est toujours fixe :

- La batterie entraîne un **coût supplémentaire** inutile
- Faire tourner le système avec une **batterie** toujours branchée ne fera que l'**user** petit à petit

Dans cette optique, il serait possible de :

- Réaliser un circuit différent pour ce cas
  - o Une plaque entièrement nouvelle – *coûts supplémentaires*
  - o Un pont/court-circuit, outrepassant le système à batterie - *empêche complètement l'utilisation du mode nomade*
- Détecter la présence de la batterie, pour la charger ou non au besoin
  - o A l'utilisateur de lui-même d'installer les batteries selon son utilisation

Cette seconde méthode est plus intéressante pour l'utilisateur final, qui module son système au besoin. Trois solutions potentielles permettent la détection de la batterie :

#### Utilisation d'un jumper

Puisque l'utilisateur doit lui-même mettre/retirer la batterie, il pourrait lui être mis à disposition un jumper, interrupteur ... permettant de dire au système si la batterie est employée ou non.

Toutefois, cette solution est dangereuse si l'utilisateur omet de réaliser le changement lors de la mise en place ou du retrait de la batterie (mauvaise charge de la batterie, pas de détection de seuils).

#### Détection par courant

La batterie, si branchée, « recevra et émettra » du courant. Suivant le schéma, cette dernière est protégée contre les sur/sous-tensions. Il est donc possible de récupérer le courant la traversant pour déterminer si, oui ou non, cette dernière est branchée, à l'aide d'une résistance shunt :

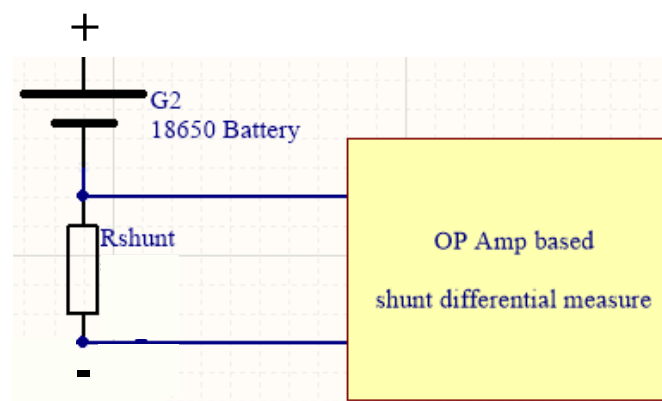


Figure 24: mesure sur shunt

Lorsque la batterie est présente, le courant traversant la résistance shunt crée une tension, détectée par un circuit adéquat. Dans le cas contraire, aucun courant ne passe et aucune différence de tension n'est mesurable.

Cette méthode présente le désavantage d'être intrusive, en créant des pertes dans le circuit ; et nécessitant de la circuiterie externe.

### Détection de la batterie (physique)

Une méthode non intrusive et automatique est de détecter si la batterie est physiquement présente ou non dans son socle. Pour se faire, deux solutions :

#### Détection mécanique

La batterie vient appuyer un switch mécanique lorsqu'elle se trouve dans son socle. Peu chère, cette méthode ne nécessite pas (peu) de circuiterie externe, mais présente un risque mécanique (usure, mauvais appui).

#### Détection optique

Un émetteur-récepteur IR envoie de la lumière invisible. Lorsque la batterie est absente, la lumière « disparaît » plus loin. Lorsque cette dernière est présente, la lumière rebondit sur la batterie et vient toucher le récepteur :

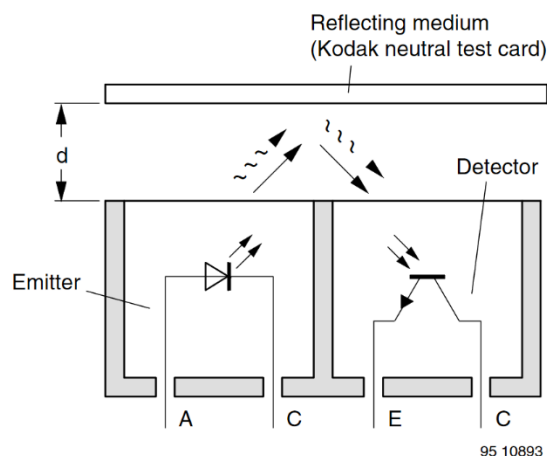


Figure 25: principe du capteur à réflexion, <https://www.vishay.com/docs/83751/cny70.pdf>

Cette seconde méthode présente toutefois un inconvénient : si la batterie s'avère être sombre, le signal sera absorbé et non détecté. De la même manière, la batterie étant très proche du capteur, le signal pourrait ne pas rebondir.

La **méthode à switch mécanique** est donc privilégiée, demandant le moins de matériel externe. Son désavantage, l'usure mécanique, n'est pas contraignante (la batterie n'est pas changée de multiples fois par seconde). Vu la forme du connecteur de batterie, il y'a peu de risques que cette dernière soit mal insérée et donc l'interrupteur mal pressé.

## 5.2. Mesure de la batterie

Dans l'idée de pouvoir réagir au niveau de charge de la batterie, un moyen de mesurer/estimer son niveau est mis en place.

### Jauge de carburant de batterie

Les batteries ne suivant pas de courbe de tension linéaire suivant leur niveau de décharge, sans compter leur détérioration à la suite du nombre de cycles effectués ou encore de leur âge, une simple mesure ne permet pas de déterminer efficacement le niveau de batterie restant.

A l'inverse du réservoir d'une voiture, dont une simple jauge permet de connaître le niveau restant de carburant, plusieurs mesures continues doivent être effectuées sur une batterie pour en connaître son état.

Dans cette idée, des circuits spécialisés nommés « battery fuel gauge » ont été développés pour automatiquement surveiller la batterie. Les informations peuvent être récupérés par un protocole sériel simple (I2C, SPI ...).

### Mesure directe du niveau de tension

Comme présenté précédemment, la mesure directe de la tension de la batterie ne permet pas de connaître précisément l'état de la batterie.

La méthode consiste à lire (à l'aide d'un convertisseur A/D) le niveau de la batterie, puis de le comparer à un référentiel de mesure pour approximer son niveau actuel. Cette méthode requiert une simple entrée sur le uC.

Cette dernière est particulièrement employée pour les systèmes ne présentant que peu de moyens d'indiquer à l'utilisateur son niveau actuel (p.ex. 4 leds donnant respectivement les niveaux 25/50/75 et 100 [%] de charge).

### Choix

Le niveau des différentes batteries ne peut être affiché que sur l'écran du contrôleur. Un niveau précis affiché pour chaque batterie serait illisible. La seconde méthode, largement suffisante et permettant de réduire les coûts, est choisie.

Les pins analogiques du uC n'étant pas tolérantes au 5V, un simple pont diviseur est réalisé entre Vbat et la masse, d'un rapport 3/5.

## 5.3. Conversion de tension

La cellule Li-Po pouvant varier de 2.2 à 4.2 [V], un régulateur doit être intégré pour créer une référence à 3.3 [V] fixe.

Deux cas se présentent :

- Un LDO (low-dropout regulator), régulateur linéaire qui dissipe de la puissance pour réguler la tension, mais ne requiert pas de composants externes
- Un convertisseur buck/boost, régulateur à découpage, qui permet des rendements de 90+ [%] mais requiert des bobines et génère plus d'IEM

Le buck/boost paraît meilleur pour offrir la plus grande efficacité. Toutefois, pour permettre une utilisation de la tension d'entrée proche de la tension régulée, ce dernier doit être finement développé et revient donc rapidement plus cher.



Le LDO possède bien sûr un rendement moindre, mais cela vaut pour des tensions d'entrée bien différentes de la tension régulée. Dans ce sens, la tension de la cellule à réguler est souvent proche de la tension régulée, et ainsi le rendement augmente (moins de chaleur à dissiper).

Moins cher, nécessitant moins de composants, et connaissant la note précédente, le **LDO** est choisi, l'**AP7363** [13].

Il est important de noter qu'il ne marchera pas une fois la tension de la batterie inférieure à 3.3 [V]. Dans ce cas de figure, il reste environ 5 à 10 [%] de capacité qui ne peut être utilisée. Il est toutefois intéressant de ne pas complètement décharger la batterie pour ne pas la détruire.

### Note après conception

Après la mise en place du système et la réalisation des différentes mesures (7.2 Consommation), le LDO choisi est surdimensionné. Des notes d'améliorations sont données dans le chapitre susmentionné.

## 5.4. Communication CAN

### Pilote pour signal différentiel

Les signaux du bus sont transmis sous forme différentielle.

Il est donc nécessaire de disposer, pour chaque nœud, d'un driver permettant d'une part d'attaquer la ligne différentielle et d'une autre de permettre de se brancher sur le module CAN du processeur.

Dans cette optique, avec la tension d'alimentation à disposition, le **MAX3051** [14] remplit ce rôle.

### Nœuds sur la ligne

Le nombre maximal de nœuds potentiels sur le bus CAN est déterminé selon la topologie bus, c.à.d. les nœuds parallèles les uns aux autres, la ligne terminée aux deux extrémités par une résistance. La résistance équivalente est donnée par :

$$\frac{CanNodeMinInputImpedance_1 // CanNodeMinInputImpedance_2 \dots // CanNodeMinInputImpedance_n}{TerminationResistor_1 // TerminationResistor_2}$$

Les deux résistances de terminaison de ligne, nécessaires pour éviter une réflexion sur la ligne, sont typiquement conseillées à 120 [Ohms] pour une paire cuivre torsadée.

On a ainsi :

$$\frac{TransceiverDiffOutputVoltage_{max}}{I_{transceiver_{max}}} \leq \frac{1}{\frac{1}{C_{NMII_1}} + \frac{1}{C_{NMII_2}} \dots + \frac{1}{C_{NMII_n}} + \frac{1}{120} + \frac{1}{120}}$$

Que l'on peut réduire :

$$\frac{TransceiverDiffOutputVoltage_{max}}{I_{transceiver_{max}}} \leq \frac{1}{n * \frac{1}{C_{NMII}} + \frac{1}{120} + \frac{1}{120}}$$

L'équation devient :

$$n \leq \left( \frac{I_{transceiver_{max}}}{TransceiverDiffOutputVoltage_{max}} - 2 * \frac{1}{120} \right) * CNMII$$

Équation 5: Nombre de nœuds sur bus CAN

Avec la puce MAX3051, le pire des cas possible (en omettant les interférences externes, comme les pertes de la ligne de transmission) :

- TDOV = 3 [V] max
- It(max) = 70 [mA]
- CNMII = 40 [kOhms] (min)

On obtient **n = 266**, en omettant les facteurs extérieurs.

Couplé avec une transmission plus lente pour permettre une transmission longue distance, le système rentre donc dans les spécifications requises.

### **Protection DES/IEM**

Selon les recommandations fabricant publiées dans l'AND8169/D [15], le bus CAN doit être protégé contre les surtensions potentielles.

En effet, même par l'utilisation d'un câble blindé pour la transmission de données, ces derniers peuvent être manipulés par l'utilisateur qui présente un potentiel danger de décharge électrostatique.

Dans cette idée, les principes suivants sont appliqués :

- Pistes courtes entre l'émetteur différentiel et le connecteur, afin de minimiser les stubs au maximum
- Diodes transil pour les deux lignes CAN\_H et CAN\_L, directement après le connecteur d'entrée

Le CAN est, par sa conception, utilisable dans un environnement bruyé (lignes différentielles).

De plus amples mesures de protections ne sont pas requises pour cette application.

## **5.5. Connecteurs**

Dans le but de pouvoir réutiliser le câblage de son actuel système de ciblerie, le mandant à demander d'implémenter les mêmes connecteur présent sur le système M.E.T [3], notamment :

- Pour la communication entre les cibles (5 pôles)
- Pour l'utilisation d'un bouton extérieur (2 pôles)

Ces connecteurs se trouvent être de la série **SC** de chez **Japan Automatic Machine**<sup>7</sup>.

Malheureusement, il n'existe pas de revendeurs sur sol suisse ou environs, et l'import pour seules quelques pièces (actuellement) n'est financièrement pas crédible.

---

<sup>7</sup> <http://www.jam-net.co.jp/eng/product/connector/post1356/>

Il est donc décidé de trouver des embases de connecteurs capables d'accueillir les câbles actuels, et ce même si le connecteur femelle correspondant n'est pas lui-même rétro-compatible.

Les caractéristiques requises sont :

- Pas de **2.5 [mm]**
- Embase **rectangulaire**
- **Broches décentrées** (détrompeur de connexion)

Les connecteurs sélectionnés sont de la série **SxB-XH-A** de **JST**.

Par leur forme, ils sont capables d'accueillir les connecteurs voulus.

La différence réside dans le verrouillage dans l'embase, en plus d'un chanfrein présent sur le modèle JAM :

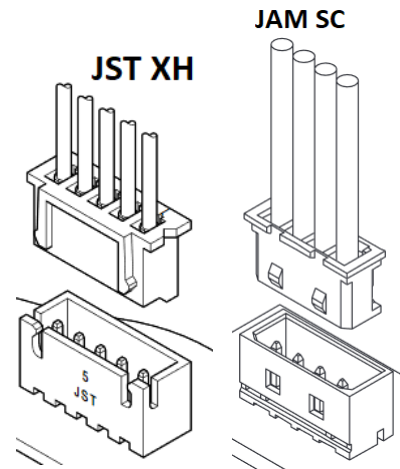


Figure 26: connecteurs JST XH vs JAM SC,

<http://www.jst-mfg.com/product/pdf/eng/eXH.pdf> / [http://www.jam-net.co.jp/uploads/product/1356/2\\_1.pdf](http://www.jam-net.co.jp/uploads/product/1356/2_1.pdf)

## 5.6. Bouton externe – antirebond

Voir 5.14 Encodeur rotatif / boutons – antirebonds

## 5.7. Microcontrôleur

Après l'établissement de tous les besoins, le système le plus gourmand en entrées-sorties, le contrôleur, nécessite **49 pins**, ainsi qu'une entrée pour un oscillateur externe, avec :

**1 I2C    4 UARTs    2 entrées A/D    3 interruptions    1 module CAN**

Une librairie graphique étant utilisée, il est nécessaire de disposer de suffisamment de place pour stocker logos et polices d'écriture.

Le choix se porte sur le **dsPIC33EP512GM706** [16].

- La gamme PIC18 de Microchip possède certains modèles avec contrôleur CAN, mais la place en Flash n'est pas assez importante.
- Les contrôleurs d'autres marques (STM, ESP ...) ne sont pas considérés, le dsPIC étant simple de montage ainsi que de programmation, peu coûteux, et le système se suffisant sans mémoire dynamique.

La gamme 33EP comprend des contrôleurs avec différentes mémoires, permettant de les changer au besoin pour réduire le coût une fois le programme terminé (actuellement, modèle avec 512 [kO] de Flash).

## 5.8. Oscillateur

En raison de l'utilisation du bus CAN et de l'I2C en fast-mode, une horloge précise est requise (plus de précision sur les minutages).

Un quartz peut être utilisé avec l'oscillateur interne du PIC ; ou un oscillateur externe peut jouer le rôle d'horloge.

Ce dernier peut être éteint au bon vouloir lors d'un changement d'horloge pour réduire la consommation du système au repos. De plus, il requiert moins de place sur le PCB. L'oscillateur est donc sélectionné.

Viennent ensuite deux technologies concurrentes : MEMS vs Crystal.

Selon l'étude de Geyer Electronic [17], l'oscillateur à quartz est plus rapide à s'éveiller, avec une consommation légèrement moindre ainsi qu'un bruit de phase moins important. Bien que la technologie basée MEMS se répute être 4x plus endurante, on parle ici de 30'000 ans pour un oscillateur quartz contre 120'000 ans pour le MEMS ; dans une telle application, cet argument n'a pas de poids pour motiver l'utilisation d'un tel oscillateur.

Un oscillateur externe basé cristal est utilisé, cadencé à 4 [MHz], utilisé ensuite avec PLL, le **ECS-5032MV** [18].

## 5.9. Debug sériel

Un chip spécialisé permet de convertir l'UART en un port COM virtuel pour debug sur PC.

Ce dernier est implémenté dans les cibles et le contrôleur principal, mais ne sera peuplé après coup uniquement dans le contrôleur, permettant un futur point d'entrée pour régler le système par une application PC dédiée.

Est choisi le **FTDI230XS-R** [13], avec un connecteur Micro-USB B.

## 5.10. LEDs de debug

Pour aider au développement, trois LEDs simples sont ajoutées au système.

Le microcontrôleur étant plus performant à tirer du courant plutôt qu'à en fournir – chapitre 33 du datasheet [16], ces dernières sont constamment branchées au 3.3 [V] et tirées à la masse au besoin.

### Absolute Maximum Ratings

(See Note 1)

Ambient temperature under bias.....	-40°C to +125°C
Storage temperature .....	-65°C to +160°C
Voltage on VDD with respect to VSS .....	-0.3V to +4.0V
Voltage on any pin that is not 5V tolerant with respect to Vss <sup>(3)</sup> .....	-0.3V to (VDD + 0.3V)
Voltage on any 5V tolerant pin with respect to Vss when VDD ≥ 3.0V <sup>(3)</sup> .....	-0.3V to +5.5V
Voltage on any 5V tolerant pin with respect to Vss when VDD < 3.0V <sup>(3)</sup> .....	-0.3V to +3.6V
Voltage on VCAP with respect to VSS .....	1.62V to 1.98V
Maximum current out of Vss pin .....	350 mA
Maximum current into VDD pin <sup>(2)</sup> .....	350 mA
Maximum current sunk by any I/O pin.....	20 mA
Maximum current sourced by I/O pin .....	18 mA
Maximum current sourced/sunk by all ports <sup>(2,4)</sup> .....	200 mA

Figure 27: courant fournit/tiré par une entrée-sortie

*Cette section regroupe les éléments électroniques de la cible.*

### 5.11. Accéléromètre et I2C

L'accéléromètre sélectionné, bas-coût, avec une sensibilité minimale de 0.98 [mG], fonctionne en I2C [7].

#### Bus I2C

Selon le document de Texas Instrument [20], les résistances du bus I2C sont calculées telles que :

$$V_{cc} = 3.3 \text{ [V]} \Rightarrow I_{ol} = 3 \text{ [mA]} \\ V_{ol} = 0.4 \text{ [V]}$$

$$R_{p(min)} = \frac{V_{cc} - V_{ol(max)}}{I_{ol}} = \frac{3.3 - 0.4}{3m} = 967 \text{ [Ohms]}$$

*Équation 6: PullUp I2C minimale*

$$\text{Fast-mode} \Rightarrow t_r = 300 \text{ [ns]}, c_b(max) = 400 \text{ [pF]} \\ C_b = 10 \text{ (pic)}^8 + 10 \text{ (accéléromètre)}^9 + 100 \text{ (ligne)}^{10}$$

$$R_{p(max)} = \frac{t_r}{0.8473 * C_b} = \frac{300n}{0.8473 * 120p} = 2.95 \text{ [kOhms]}$$

*Équation 7: PullUp I2C maximale*

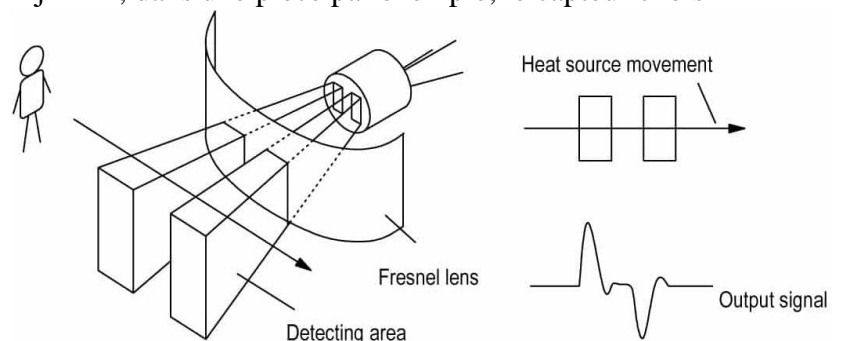
$R_p$  doit donc se trouver entre 967 et 2950 [Ohms]. Tout en prenant une sécurité supplémentaire sur la capacitance de ligne ( $R_p \ll$ ), tout en restant sur une consommation minimale ( $R_p \gg$ ),  **$R_p$**  est défini à **2.4 [kOhms]**.

### 5.12. Capteur de présence

Dans le but de détecter la présence d'un joueur, dans une pièce par exemple, le capteur choisi est un capteur PIR **HC-SR501** [21].

#### Principe de fonctionnement

Figure 28: fonctionnement système PIR,  
<https://www.makerguides.com/wp-content/uploads/2019/07/HC-SR501-PIR-Motion-Sensor-working-principle.jpg>



Le principe repose sur deux canaux distincts, récupérant le taux d'infrarouge dans leur ligne de vision. Lorsque l'utilisateur entre dans le champ, le taux change, le circuit détecte et traite ce changement et génère une interruption. Une lentille de Fresnel permet de concentrer le rayonnement sur le capteur, et ainsi permet une meilleure sensibilité en plus d'une meilleure portée. Ces deux variables sont réglables à l'aide d'un potentiomètre.

<sup>8</sup> Datasheet page 484

<sup>9</sup> Standard CMOS avec marge

<sup>10</sup> Ligne courte, marge de sécurité

### Tension d'utilisation

Ces derniers se trouvent à bas prix à l'étranger (moins de 1 [\$]), en ayant le désavantage de requérir une tension d'alimentation de 5 [V].

Toutefois, comme le présente le billet de blog de Techgurka [22], ces derniers utilisent un régulateur 5 [V] => 3.3 [V] pour ensuite attaquer les composants internes.

Il est donc possible d'alimenter directement les composants avec une tension extérieure de 3.3 [V], soit en outrepassant ce régulateur, soit en accédant directement à la ligne 3.3 [V] interne avec un pad découvert sur le circuit.

Le « désavantage » étant que la protection de polarisation n'existe dès lors plus. Ce n'est toutefois pas un problème, l'utilisateur final n'ayant pas la possibilité d'accéder directement au câblage de ce capteur.

### **5.13. RGB**

Un jumper permet de sélectionner une tension d'alimentation régulée à 3.3 [V], ou de se brancher directement sur la tension de la batterie (Li-Ion => 2.2 – 4.2 [V]).

La tension régulée permet une luminosité constante, mais moindre (tension R/B proche de la tension régulée) ; la tension de la batterie permet de régler ce souci mais entraîne une légère variation de la luminosité au cours du temps.

La plaque est prévue pour deux types de LEDs, traversante 3 [mm] et SMD.

Pour une utilisation sous 3.3 [V] :

#### LED 3 [mm]

$I_f = 30 \text{ [mA]}$ ,  $V_r = 1.8 \text{ [V]}$ ,  $V_g = V_b = 3.2 \text{ [V]}$ ,  $V_{in(min)} = 3.7$ ,  $R_{ds(on)max} = 57 \text{ [mOhms]}$

$$V_{ds} = R_{ds(on)max} * I_f = 57m * 30m = 1.71 \text{ [mV]}$$

$$R = \frac{V_{in(min)} - V_{gs(sat\_min)} - V_{led}}{I_f} = \frac{3.7 - 1.71m - 1.8|3.2}{30m}$$

*Équation 8: résistance des LEDs*

**$R_r = 63.3 \Rightarrow 62 \text{ [Ohms]}$ ,  $R_g = R_b = 16.6 \Rightarrow 16 \text{ [Ohms]}$**

#### LED SMD

$I_f = 50 \text{ [mA]}$ ,  $V_r = 2 \text{ [V]}$ ,  $V_g = V_b = 3.2 \text{ [V]}$ ,  $V_{in(min)} = 3.7$ ,  $R_{ds(on)max} = 57 \text{ [mOhms]}$

**$R_r = 37.9 \Rightarrow 39 \text{ [Ohms]}$ ,  $R_g = R_b = 9.97 \Rightarrow 10 \text{ [Ohms]}$**

### Ajustements

La luminosité n'étant pas équivalente pour chaque couleur, ces valeurs sont prises à titre de résistance minimale.

Il est ensuite nécessaire de les ajuster pour un meilleur mélange de couleur.

### Notes après test

Le mélange avec les valeurs calculées donne un résultat satisfaisant. De plus amples ajustement n'ont pas été réalisés.



*Cette section regroupe les éléments électroniques du contrôleur.*

### 5.14. Encodeur rotatif / boutons – antirebonds

L'encodeur rotatif [23], à contacts mécaniques et de 12 révolutions par tour, doit être équipé d'antirebonds, permettant de ne pas devoir traiter l'information de façon logicielle et ainsi pouvoir les utiliser sur interruption directement. De même pour les boutons ok, retour [24] et l'interrupteur extérieur.

Pour se faire, un filtre RC est utilisé comme proposé par le constructeur [12]:

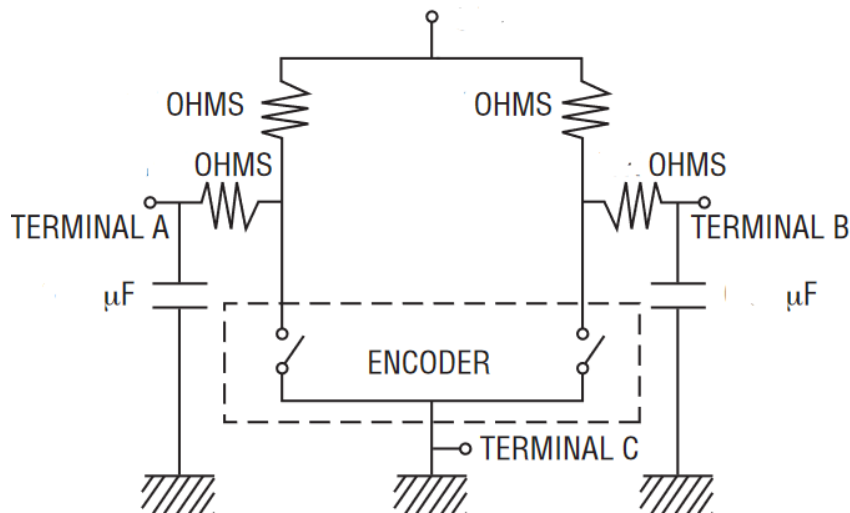


Figure 29: circuit antirebonds pour encodeur rotatif, Bourns

Les temps d'antirebond sont définis par :

$$T_{open} = V_{trans} * (R_{filtre} + R_{pullup}) * C_{filtre}$$

$$T_{close} = V_{trans} * R_{filtre} * C_{filtre}$$

Équation 9: temps d'antirebonds

Le temps proposé par le constructeur est de 1 [ms] pour le signal haut et 500 [us] pour le signal bas, avec  $R_{filtre} = R_{pullup} = 10$  [kOhms],  $C_{filtre} = 10$  [nF] et  $V_{cc} = 5$  [V].

Adapté à notre situation :

$$V_{trans} = 3.3 \text{ [V]}, T_{open} = 4 \text{ [ms]}, \mathbf{R_f = R_p = 47 \text{ [kOhms]}}$$

$$C_{filtre} = \frac{T_{open}}{V_{trans} * (R_{filtre} + R_{pullup})} = \frac{4m}{3.3 * (2 * 47k)} = 12.9 \text{ [nF]} \Rightarrow \mathbf{10 \text{ [nF]}}$$

Avec ces valeurs, on obtient **Topen = 3.1 [ms]** et **Tclose = 1.55 [ms]**.

Pour les boutons auxiliaires :

$$V_{cc} = 3.3 \text{ [V]}, T_{open} = 200 \text{ [ms]}, \mathbf{R_f = R_p = 47 \text{ [kOhms]}}$$

$$C_{filtre} = \frac{T}{V_{cc} * (R_{filtre} + R_{pullup})} = \frac{200m}{3.3 * (2 * 47k)} = 645 \text{ [nF]} \Rightarrow \mathbf{680 \text{ [nF]}}$$

Avec ces valeurs, on obtient **Topen = 211 [ms]** et **Tclose = 105 [ms]**.

### 5.15. Ecran

Un écran est nécessaire pour relayer les informations à l'utilisateur. Plusieurs technologies existent, ainsi que différents types d'affichage, notamment :

- A ligne



Figure 30: LCD à lignes, [https://startingelectronics.org/beginners/components/LCD/LCD\\_2x16.jpg](https://startingelectronics.org/beginners/components/LCD/LCD_2x16.jpg)

- Graphique



Figure 31: LCD graphique, [https://media.digikey.com/Photos/Newhaven%20Display%20Photos/MFG\\_NHD-2.4-240320CF-CSXN%5E-F.jpg](https://media.digikey.com/Photos/Newhaven%20Display%20Photos/MFG_NHD-2.4-240320CF-CSXN%5E-F.jpg)

Pour afficher toutes les informations nécessaires, ainsi que d'avoir un rendu plus intéressant, un LCD graphique est choisi. Certains sont équipés d'écrans tactiles, permettant une amélioration future du système.

Possédant des bibliothèques spécialisées, de taille et résolution respectable (240\*320 sur 2.4 pouces) et ces derniers étant à bas coût, le **NHD-2.4-240320CF-CSXN** [25] est sélectionné, version optimisée pour l'utilisation sous le soleil.

La communication se fait par bus 8 ou 16 bits en parallèle.

### 5.16. Schémas

Le système étant découpé en 4 parties (contrôleur, cible, module détecteur de présence et module LEDs et Buzzer), 4 schémas – et donc 4 plaques électroniques – sont réalisées.

Pour le contrôleur et la cible, les circuiteries sont revisitées à la suite d'une fausse implémentation du système de gestion de batterie.

Les nouvelles révisions sont données sous *10.2 Schémas actuels (contrôleur 1.1, cible 1.1, module led 1.0, module détecteur de présence 1.0)*.

Les anciennes révisions sont données sous *10.3 Schémas datés (contrôleur 1.0, cible 1.0)*.

## 5.17. Cartes 1.0

Les cartes suivantes représentent les versions des schémas 1.0, utilisés pour le développement du système :

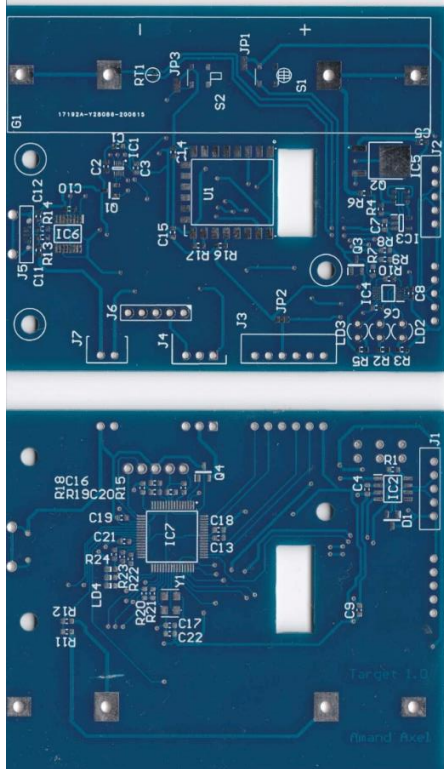


Figure 32: PCB cible 1.0

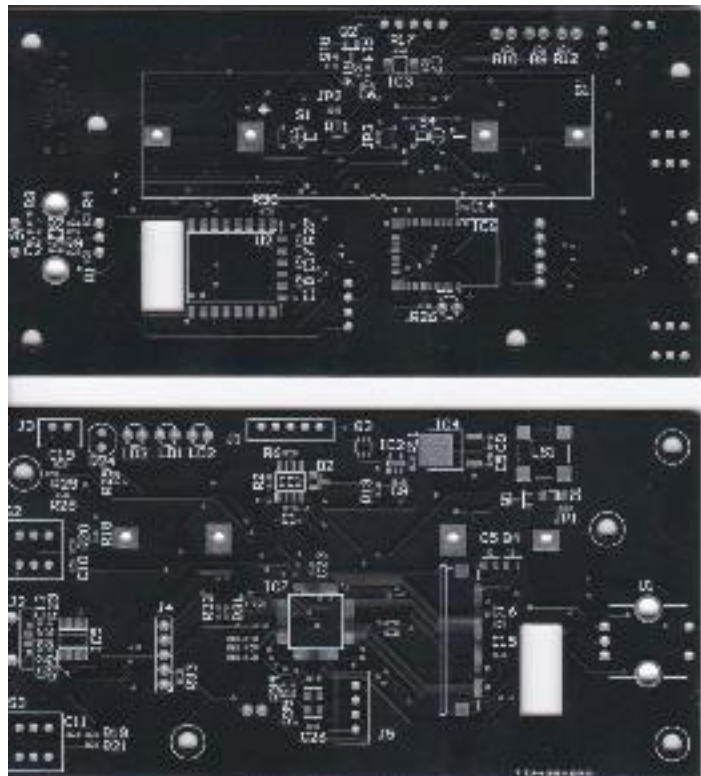


Figure 33: PCB contrôleur 1.0

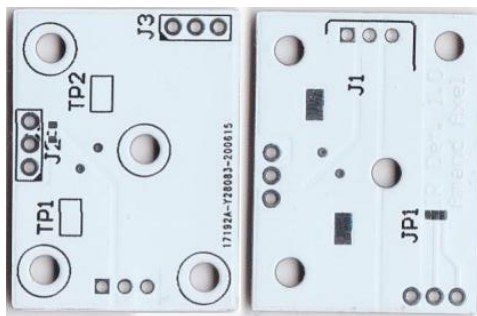


Figure 34: PCB module détecteur de présence 1.0

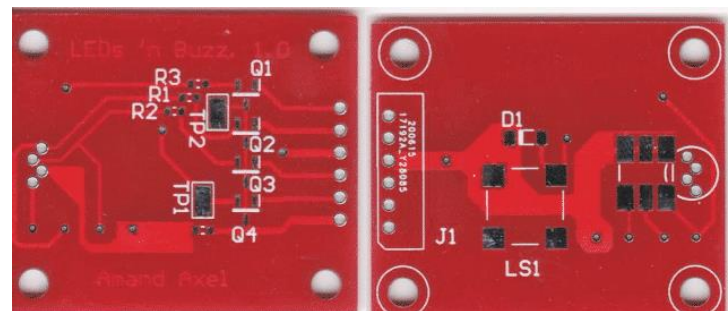


Figure 35: PCB module Led et Buzzer 1.0

## 6. Logiciel

### 6.1. Analyse et diagrammes

Le système trouve son centre au sein du contrôleur, qui s'occupera de gérer le jeu, les cibles, la détection de fin ainsi que les réglages du système.

Les cibles, quant à elles, répondent à des commandes simples selon un schéma prédéfini, schéma qui convient pour tous les modes de jeux employés, capables de réagir aux chocs et d'indiquer leur état.

#### Composants des sous-systèmes

Le système peut être représenté en 4 parties distinctes :

- **Le contrôleur**, qui comprend tout le nécessaire pour fonctionner
- **La cible**, qui possède deux modules externes en plus de sa propre circuiterie
- **Le module LEDs et buzzer**, qui comporte une LED RGB et un buzzer
- **Le module PIR**, qui comporte le détecteur de présence

Les composants de ces 4 éléments peuvent être représentés ainsi :

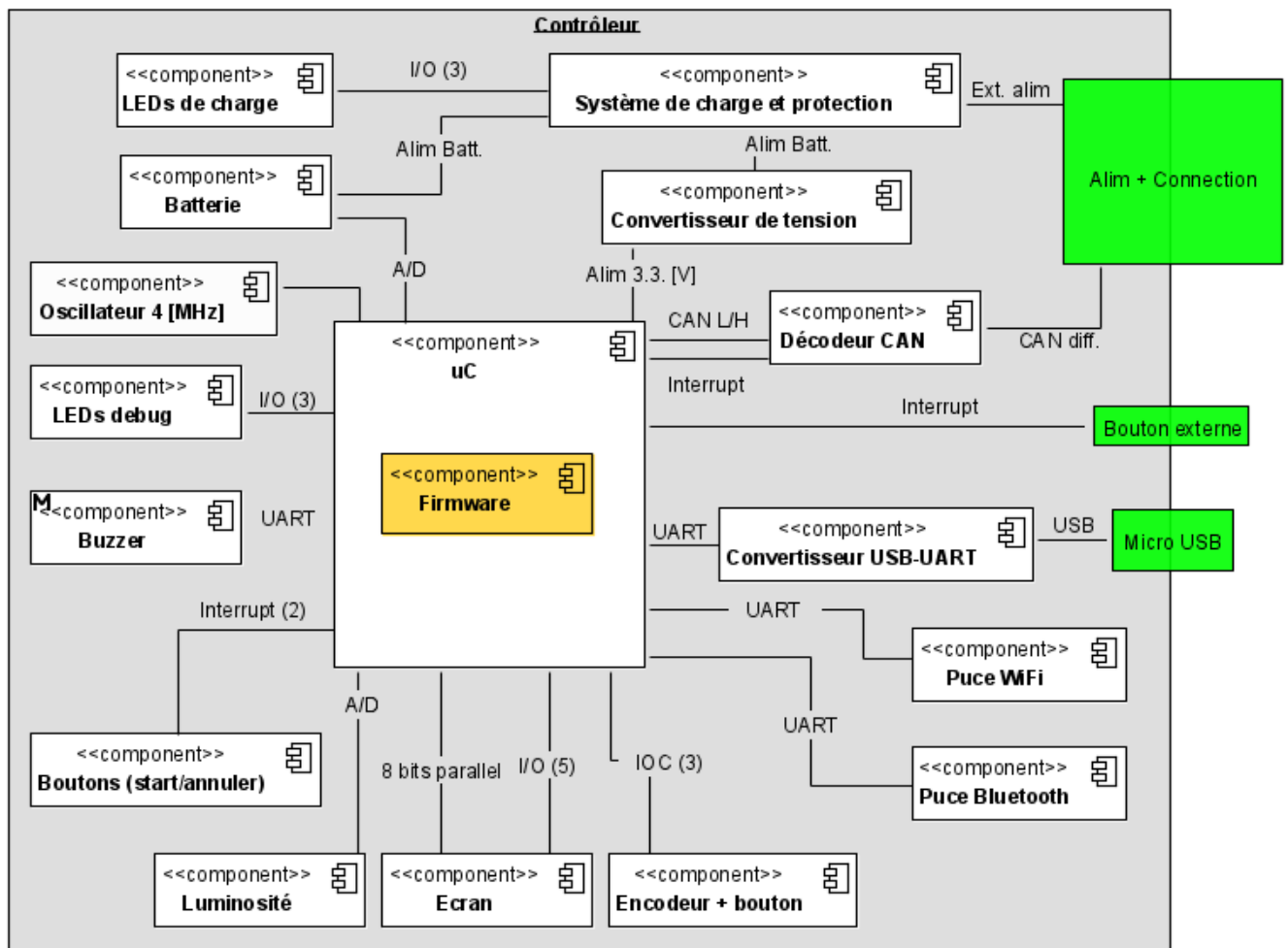


Figure 36: composants du contrôleur

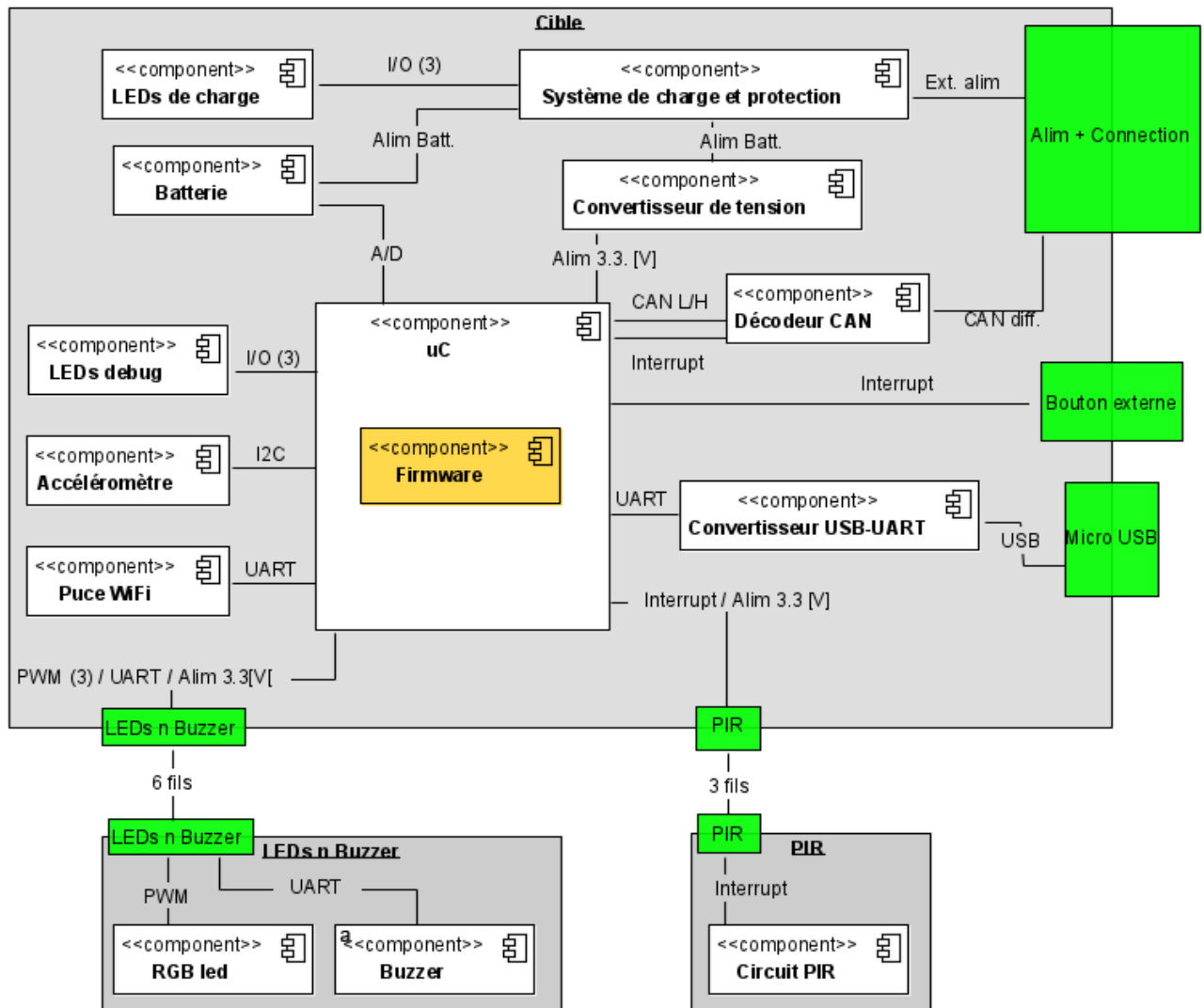


Figure 37: composants de la cible et de ses modules

Dans le cas du circuit de la cible et du contrôleur, tout est axé autour d'**un seul microcontrôleur**, en dehors du système de charge et de contrôle de la batterie qui, lui, marche indépendamment.

Ne possédant pas d'autre superviseur, il est donc important d'intégrer un **système de redémarrage en cas de bug**.

Les systèmes se basent sur l'implémentation d'un **distributeur événementiel**, permettant de travailler de façon asynchrone et non-bloquante.

Pour le module annexe « LEDs n Buzzer », tout est **piloté depuis la carte cible**.

Dans le cas du module PIR, ce dernier possède une circuiterie qui lui est propre, et génère une **interruption envers le microcontrôleur de la carte cible**.

## Possibilités de l'utilisateur

Une fois le système bien défini, il est possible d'établir la liste des interactions des différents utilisateurs avec le système :

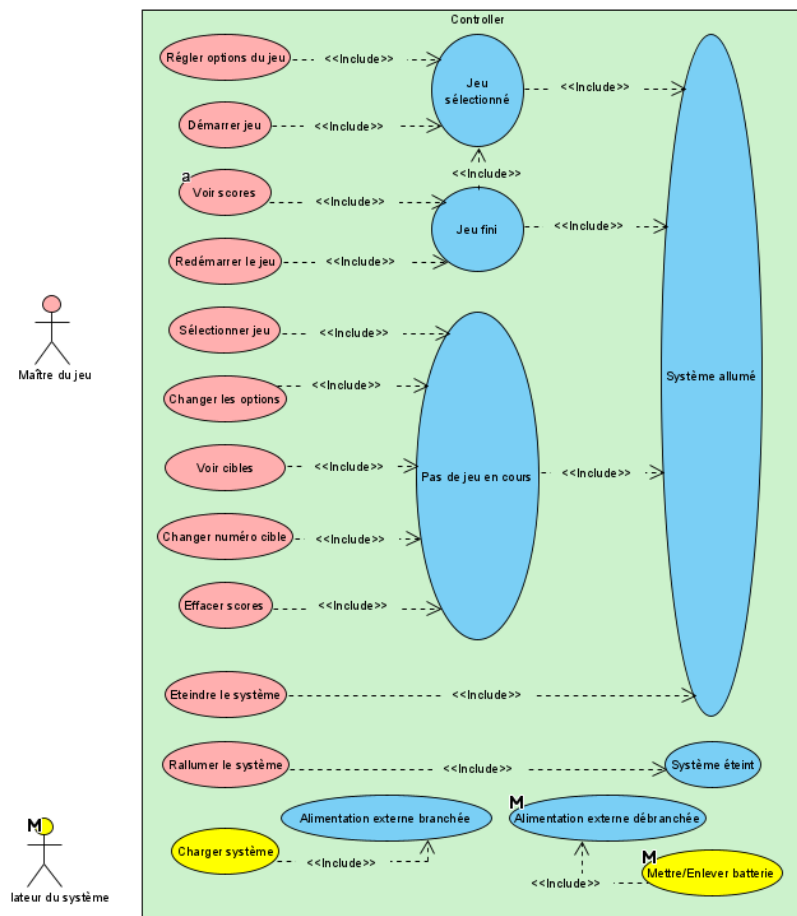


Figure 38: possibilité utilisateur - contrôleur

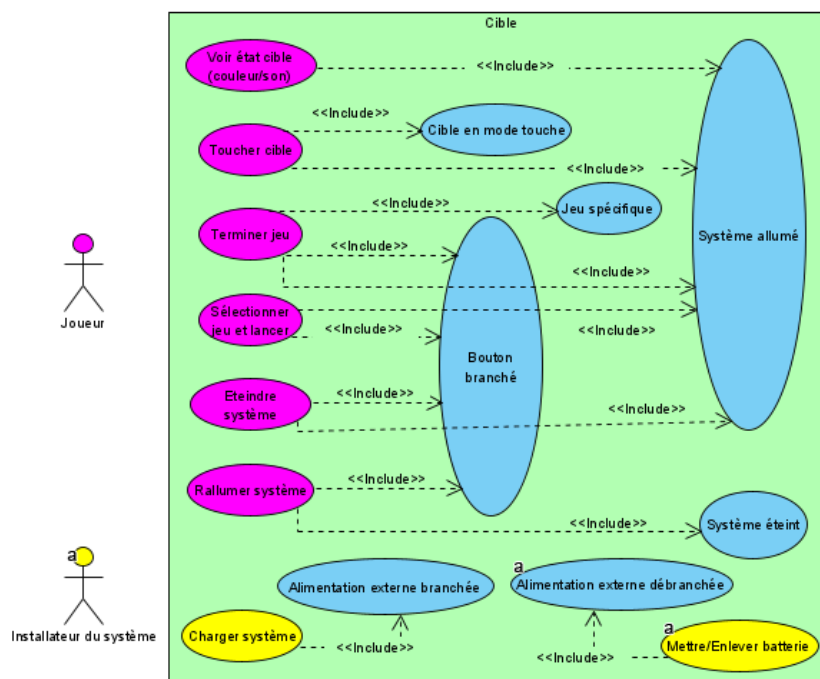


Figure 39 : possibilités utilisateur – cible



On recense trois acteurs :

- **L'installateur système**, qui est la personne mettant en place le système. Ce dernier peut choisir de lier le tout au secteur ou non, et ainsi de mettre en charge le système.
- **Le maître du jeu**, qui gère le réglage des modes de jeu, les options, et qui peut par accès au boîtier voir les scores.
- **Le joueur**, qui interagit avec les cibles au sein notamment du scénario chargé.

La frontière entre **maître du jeu** et **joueur** n'est pas nette. Le rôle peut être partagé :

- dans le cadre professionnel, un instructeur est **maître du jeu** et gère les scénarios, pendant que ses apprentis **joueurs** défilent sur le parcours
- dans le divertissement, un simple **joueur** règle le jeu qu'il veut, seul, puis joue

L'**installateur système** est en général l'acheteur de la ciblerie.

### Logique de la cible

L'idée principale est telle que le contrôleur gère l'entièreté des jeux, tandis que les cibles ne font que répondre aux commandes envoyées, en travaillant selon une machine d'état simple.

Pour cela, il faut en définir les états, capables de travailler pour tous les modes de jeux possibles. Ces états sont les suivants :

- **RESET** : la cible vient de redémarrer -> s'initialise et passe à l'état suivant
- **CONNECT** : la cible attend de recevoir une demande de connexion du contrôleur, tout en ayant l'air éteinte. Sans cette demande, la cible ne pourra être utilisée. Aussi, cet état permet, si la cible ne reçoit aucune réponse sous 5 secondes, de décider de dormir et abaisser sa consommation.
- **WAITINFOS** : cet état permet de charger les informations sur la cible : adresse, groupe, volume, couleurs selon état, bips selon état, temps de transition ; cet état allume d'un blanc doux la lumière de la cible, permettant à l'utilisateur de voir si la cible est prise en compte ou non
- **STANDBY** : l'état standby est le premier état de jeu, où la cible ne peut pas être touchée ; c'est l'état par défaut lorsqu'un jeu démarre, permettant de colorer la cible pour permettre à l'utilisateur de savoir qu'il n'est pas encore possible de tirer dessus ; la transition se fait sur commande du contrôleur où par une cible du même groupe
- **CAPTEUR** : l'état capteur est un état de jeu, où la cible peut être touchée mais en plus peut détecter le joueur ; lors de la détection, la cible est capable d'avertir celles du même groupe qu'un joueur est détecté, et ainsi permettre à ces dernières de s'allumer
- **ON** : l'état on est un état de jeu, où la cible peut être touchée
- **HIT** : l'état hit est un état de jeu, où la cible a été touchée par le joueur
- **ENDGAME** : l'état endgame est le dernier état de jeu, où la cible garde la couleur de son précédent état, mais où l'utilisateur ne peut plus interagir avec ; utilisé notamment pour permettre au joueur de se rendre compte des cibles ratées en fin de scénario
- **ERROR** : l'état error entre la cible dans un état qui ne peut être récupéré que par le contrôleur, ou par une déconnexion du reste du système; l'entrée dans cet état se fait uniquement par commande du contrôleur, lorsque ce dernier détecte deux cibles possédant la même adresse, pour les rendre inutilisables en jeu tant que le problème n'est pas réglé ; débrancher un des doublons permet au contrôleur de sortir la cible de cet état

Avec ça, la machine d'état correspondante revient à :

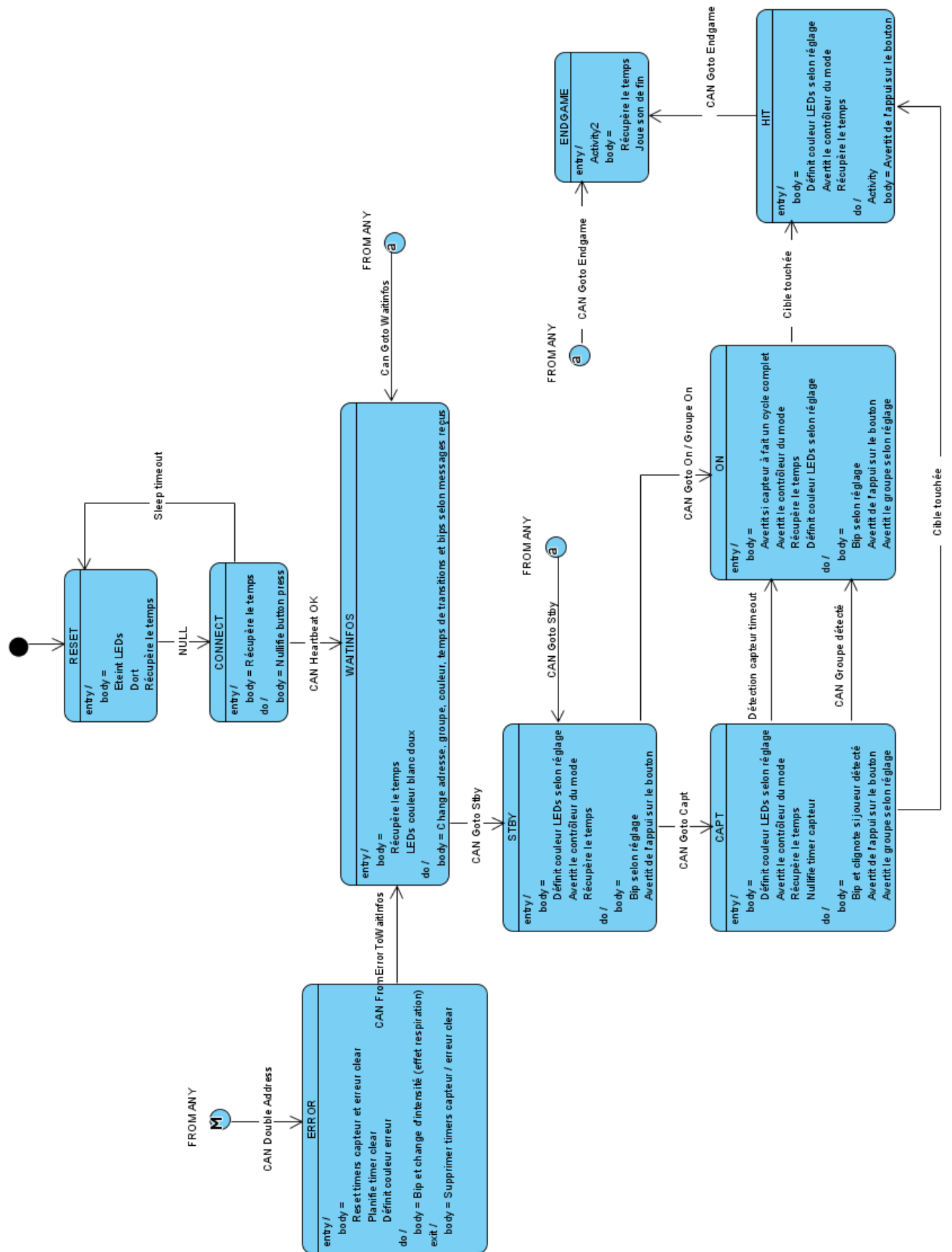


Figure 40: machine d'état – cible

## Contrôleur et écrans

### Ecrans

Le contrôleur possède une logique propre à chaque « écran » que ce dernier peut afficher. Dans cette idée, ces écrans sont parcourus par l'utilisateur tels que :

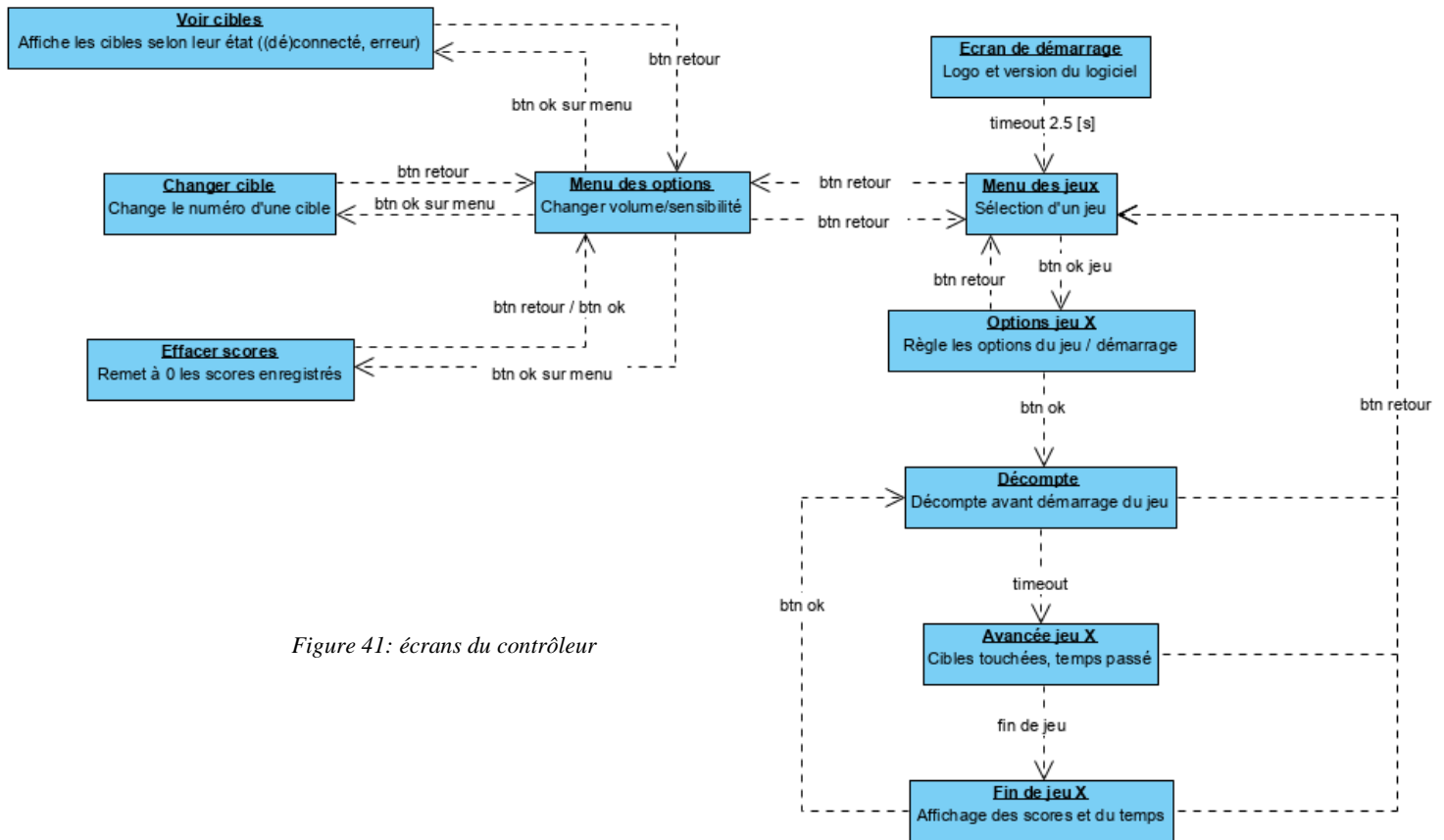


Figure 41: écrans du contrôleur

### Niveau d'imbrication

La logique même du contrôleur se distribue sur plusieurs niveaux imbriqués, afin de permettre de dissocier chaque partie du sous-système afin de ne pas influencer l'une et l'autre :

- 1) **une machine d'état globale**, propre au traitement des événements de gestion du système (contrôle des I/Os, des différents modules, du watchdog ...) et qui transmet ensuite les événements au bon écran
- 2) chaque **écran réagit aux événements**, sans machine d'état spécifique, pour modifier l'affichage et répondre aux entrées de l'utilisateur
- 3) une fois un scénario lancé, un troisième niveau gère **une machine d'état pour le contrôle du suivi du jeu**, généralisée pour tous les jeux
- 4) une fois cette dernière lancée, **chaque jeu peut choisir de s'enregistrer pour recevoir les événements d'entrée/faire de la machine précédente**, afin de réagir spécifiquement au besoin

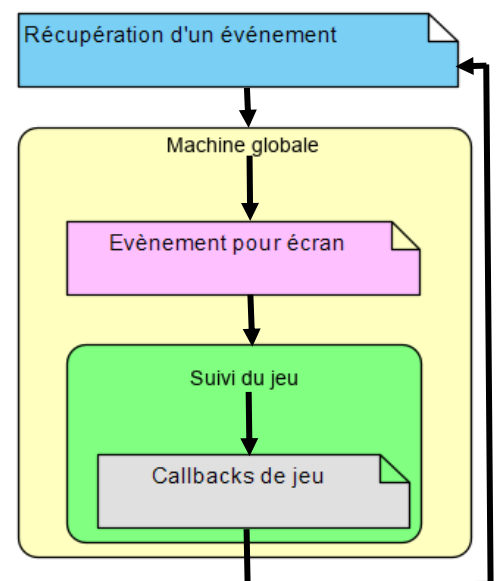


Figure 42: distribution dans les niveaux imbriqués - contrôleur

## Machine globale

La machine globale se présente ainsi :

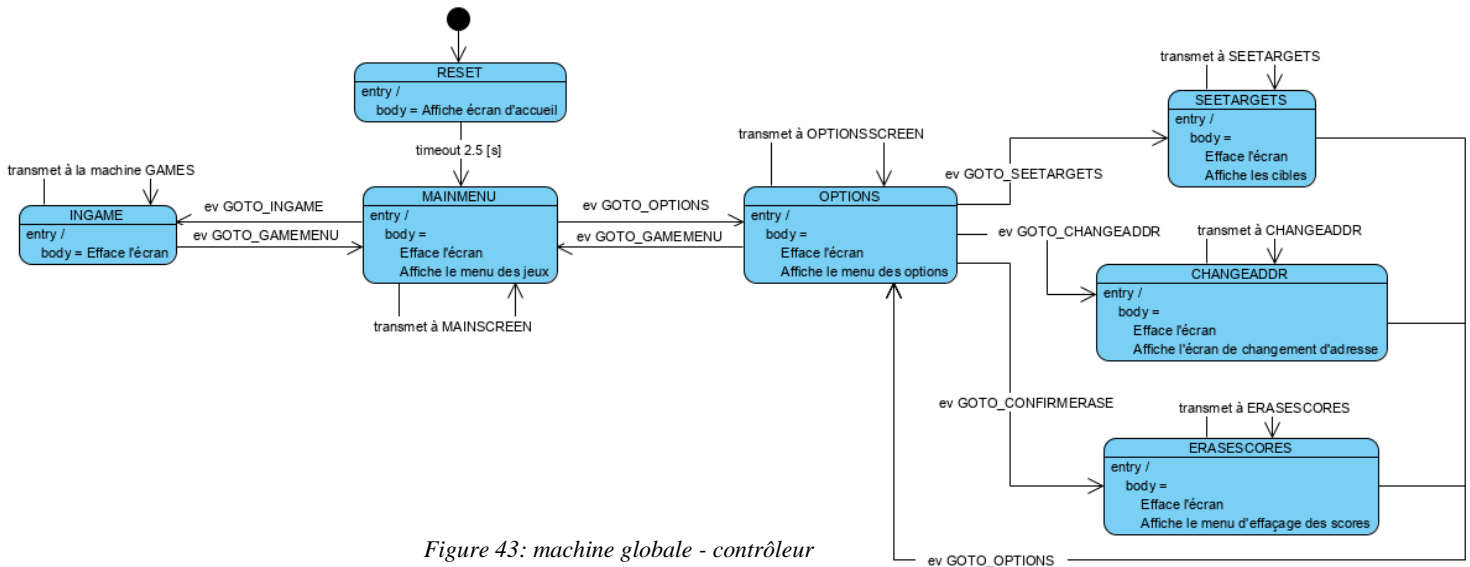


Figure 43: machine globale - contrôleur

Les écrans sélectionnés réagissent ensuite aux événements, comme indiqué sur le schéma précédent. Puisqu'ils ne font que répondre aux entrées, sans nécessiter de connaître un quelconque état précédent, une machine d'états ne leur est pas dédiée.

### Cas d'un jeu

Dans le cas spécial d'un jeu, il est cette fois important de savoir où ce dernier en est pour le gérer aisément. Les 4 états suivants le permettent :

- **NONE** : état par défaut, lorsqu'aucun jeu n'est chargé et préparé
- **STBY** : dans cet état, l'utilisateur peut régler les options du jeu (qui seront enregistrées pour un prochain lancement), ainsi que de lancer le jeu qui suivra d'abord par un décompte de lancement
- **ON** : le jeu est en cours d'avancée, il est nécessaire de détecter la fin de ce dernier ; suivant le scénario choisi, plusieurs fins sont possibles :
  - Timeout : le temps défini a été dépassé
  - Toutes : toutes les cibles encore connectées ont été touchées
  - Quelconque : une cible quelconque a été touchée
  - Bouton : le bouton externe, lié au contrôleur ou à une cible, a été appuyé
  - Groupe 1/2/3 : le groupe défini a été touché
  - Groupe 1+2 : les groupes 1 et 2 ont été touchés
  - Spécifique : la cible désignée a été touchée
- **OFF** : le jeu est terminé, les scores sont affichés et les cibles ne sont plus actives

Les jeux, quant à eux, peuvent s'enregistrer aux différents callbacks de cette machine, afin de réaliser des actions propres au mode choisi. Ainsi, s'enregistrer auprès de **ON\_entry** permet de placer les cibles dans leur état de base au lancement du jeu, tandis que s'enregistrer auprès de **ON\_do** permet de gérer l'allumage sélectif des cibles (p.ex. lors du mode de jeu aléatoire où seule une cible est allumée à la fois).

La machine d'état correspondante est la suivante :

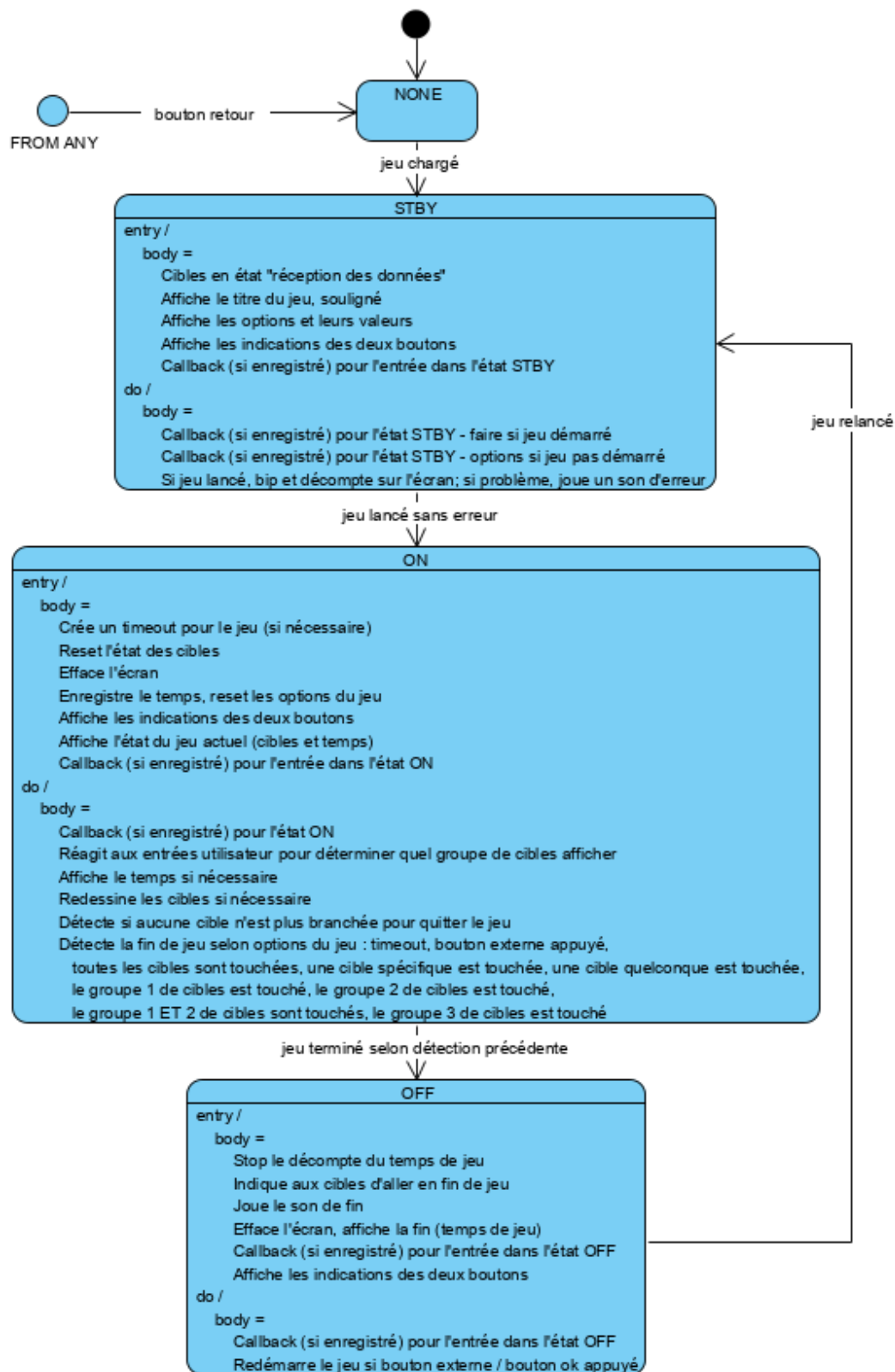


Figure 44: machine d'états - jeux

### Décomposition en couches

Pour faciliter le travail du programme final, le système est séparé sur trois couches :

- **Couche hardware** : gestion des registres, abstraction des entrées/sorties
- **Interface de programmation** : fournit des méthodes simples et complètes pour l'utilisation des modules du système (ex. envoi/réception I2C ...)
- **Couche logicielle** : couche supérieure, dans laquelle le logiciel manipule les différentes interfaces pour tourner le programme final

Les différents blocs de ces couches sont :

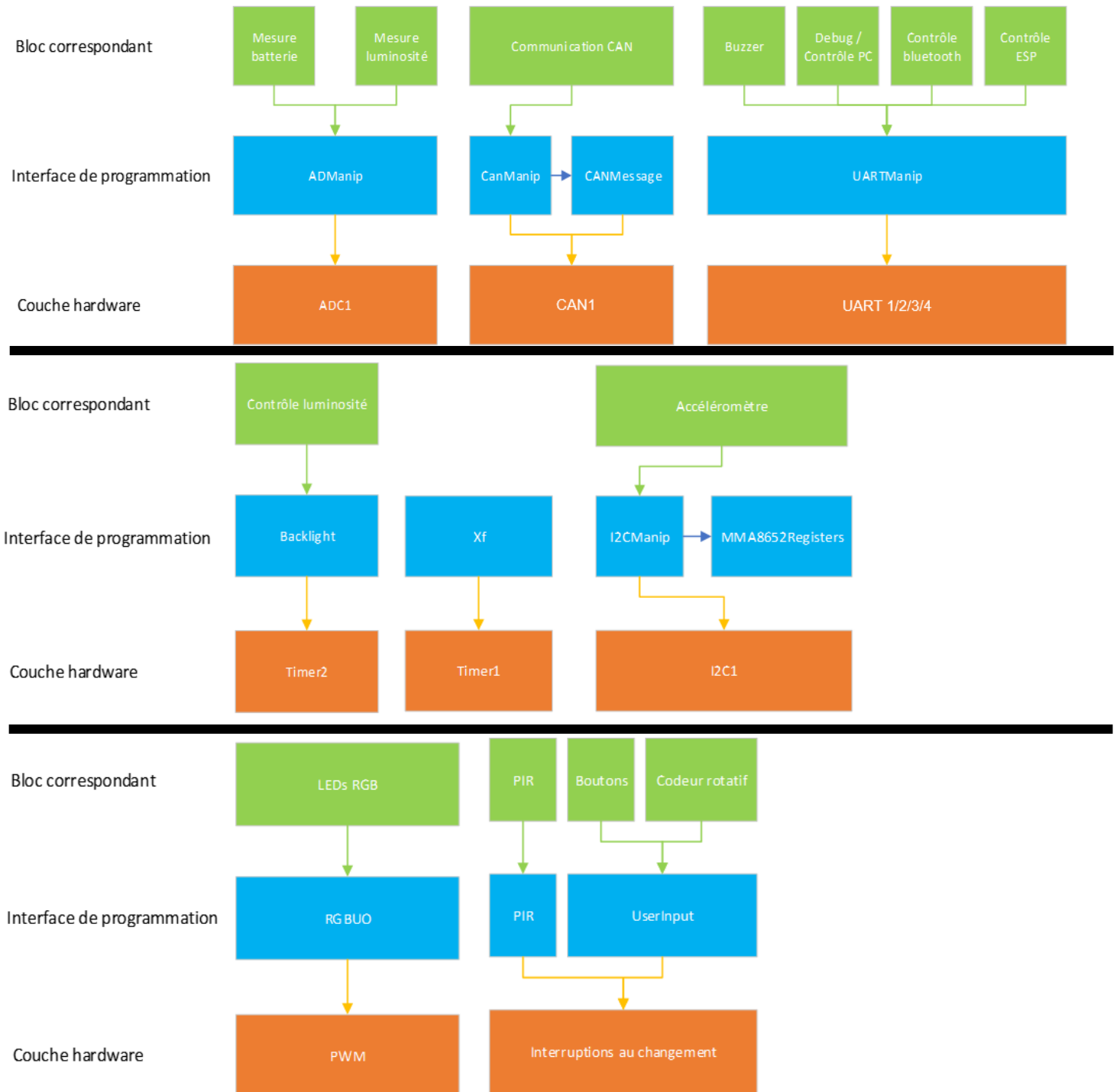


Figure 45: couches logicielles



## Evènements système

Comme cité précédemment, les divers composants du système se basent sur un distributeur événementiel.

Ce dernier permet de répartir des événements en les stockant dans une liste premier arrivé – premier traité, ainsi que de gérer une quantité indéfinie de timers logiciels.

Ces événements sont retirés au niveau supérieur pour être transférés à tout le système.

Dans ce cadre, les divers événements rencontrés sont les suivants :

```
// Modules events
XF_ADC_CONVERSION_COMPLETE/*one AD conv done*/, XF_ADC_AVERAGE_CONVERSION_COMPLETE/*given serie of AD conv done*/,
XF_PRINTDEBUG_RECEIVE_COMPLETE/*complete debug frame received*/, XF_PRINTDEBUG_RECEIVE_TIMEOUT/*no char received for some time*/
XF_ESP_RECEIVE_COMPLETE/*wifi frame received*/, XF_ESP_RECEIVE_TIMEOUT/*no char received for some time*/,
XF_BT_SEND_UPDATE/*send frames following BLE specs*/, XF_BT_COMPL_RECEIPT/*BT frame received*/,
XF_BT_RECEIVE_TIMEOUT/*no char received for some time*/, XF_BT_WAIT_TIMEOUT/*BLE chip init timeout*/,
XF_BATT_DO_MEAS/*has to measure batt channel*/, XF_BATT_MEAS_DONE/*battery measured*/,
XF_LUM_DO_MEAS/*has to measure luminosity*/, XF_LUM_MEAS_DONE/*luminosity measured*/,
XF_USERINPUT_GO_UP/*user moved encoder up*/, XF_USERINPUT_GO_DOWN/*user moved encoder down*/,
XF_USERINPUT_OK_PRESSED/*user pressed ok button*/, XF_USERINPUT_CANCEL_PRESSED/*user pressed cancel button*/,
XF_USERINPUT_ENCODER_PRESSED/*user pressed encoder*/, XF_USERINPUT_ENCODER_TIMEOUT/*for long press detection*/,
XF_USERINPUT_ENCODER_LONGPRESS/*when long press detected*/,
XF_CAN_MESSAGE_RECEIVED/*new can message*/, XF_CAN_MESSAGE_LED_ON/*debug test - on message led on*/,
XF_CAN_MESSAGE_LED_OFF/*debug test - on message led on*/, XF_WAKEFROMCAN/*when sys. woke up from can received*/,
XF_PIR_DETECTED/*PIR created interrupt*/,
XF_ACCEL_INT_PULSETRANS/*accel. created pulse/trans interrupt*/, XF_ACCEL_INT_FREEFALL/*accel created freefall interrupt*/,
XF_I2C_RECEIVED/*I2C frame received*/, XF_I2C_TRANSMITTED/*I2C frame transmitted*/,
XF_I2C_STOP_ERROR/*I2C stopped on error*/, XF_I2C_TIMEOUT/*I2C timeout error*/,
XF_HEARTBEAT/*has to do led heartbeat*/, XF_EXT_BUTTON/*ext button pressed*/,
XF_EXT_TIMEOUT/*for long press detect*/, XF_EXT_LONGPRESS/*ext button long press*/,
// Syscontrol hardware test events
XF_HWTEST_CHANGERGB/*change rgb color*/, XF_HWTEST_PLAYSOUND/*play a sound*/, XF_HWTEST_RESET_PULSELED/*rgb to 0*/,
XF_HWTEST_RESET_FREEFALL/*freefall interrupt reset*/, XF_HWTEST_CAN_DOTEST/*send test can frame*/,
XF_HWTEST_CHANGE_BCKL/*change backlight power*/,
// Controller machine event
XF_CTR_GOTO_OPTIONS/*move to options screen*/, XF_CTR_GOTO_GAMEMENU/*move to game list screen*/,
XF_CTR_GOTO_SEETARGETS/*move to seetargets screen*/, XF_CTR_GOTO_CHANGEADDR/*move to changeaddr screen*/,
XF_CTR_GOTO_INGAME/*move to ingame screen*/, XF_CTR_GOTO_CONFIRMERASE/*move to erase score screen*/,
XF_CTR_CHECKTARGETS/*check target state*/, XF_MSCR_SETMODE/*set gamemode from multi button press*/,
XF_GAME_RELAUNCH/*relaunch game*/, XF_GAME_DIRLAUNCH/*launch game direct w.o. options*/,
XF_RELAUNCH_GAME_TMR/*ensure user input with timer*/,
// Game machine events
XF_LAUNCHINGGAME_TIMEOUT/*countdown for game launch*/, XF_LAUNCHING_GAME_CNTDWN/*launch game with countdown*/,
XF_GAME_TIMEOUT/*user did not finish game in time*/,
XF_LAUNCH_GAME_AFT_CNTDWN/*launch game after countdown*/, XF_DRAWTIME/*time to draw infos for gamemode*/,
// Other
XF_TARGETSLIST_UPDATED/*targets states updated*/,
/*for random mode, timeouts for pointers on targets !!! must be one after another !!!*/
XF_RANDBOMB_TIMEOUT1, XF_RANDBOMB_TIMEOUT2, XF_RANDBOMB_TIMEOUT3, XF_RANDBOMB_TIMEOUT4, XF_RANDBOMB_TIMEOUT5,
XF_WDT_CLEAR/*clear watchdog*/, XF_TEST/*test event*/, XF_CONTROLLER_SLEEP/*controller sleep*/,
// Target machine event
XF_TARGET_CAPTORTIMEOUT/*target not touched after captor int.*/, XF_TARGET_NOHEARTBEAT_TIMEOUT/*no hartbeat from ctrl - reset*/,
XF_TARGET_ERROR_TIMEOUT/*error state cleared*/, XF_TARGET_FROMERROR_TOWAITINF/*back to waitinfos from error state*/,
XF_TARGET_SLEEP/*has to sleep*/
```

Figure 46: évènements système

*Le code de base du distributeur événementiel a été gracieusement autorisé à la réutilisation et modification par M. Rieder Medard.*

*Ont notamment été ajoutés la possibilité de réarmer les minuteurs, ainsi qu'une référence directe à la variable **TimerID**, par un pointeur, permettant de connaître l'état du timer en tout temps.*

## 6.2. Spécifications et algorithmes - communs

### CAN

#### Trames

Pour réaliser une transmission sur la plus longue distance possible, la vitesse du bus est réduite au maximum. La vitesse choisie est de **50 [kbps]** – théoriquement correspondant à une distance jusque 1 [km] [14].

De plus, la vitesse de transition des signaux est abaissée matériellement, afin d'éviter la création de signaux parasites haute-fréquence.

Le module CAN du dsPIC employé est compatible avec la révision **CAN 2.0B**, signifiant que les messages avec **identificateur 29 bits** peuvent être compris et décodés.

Les trames sont représentées ainsi :

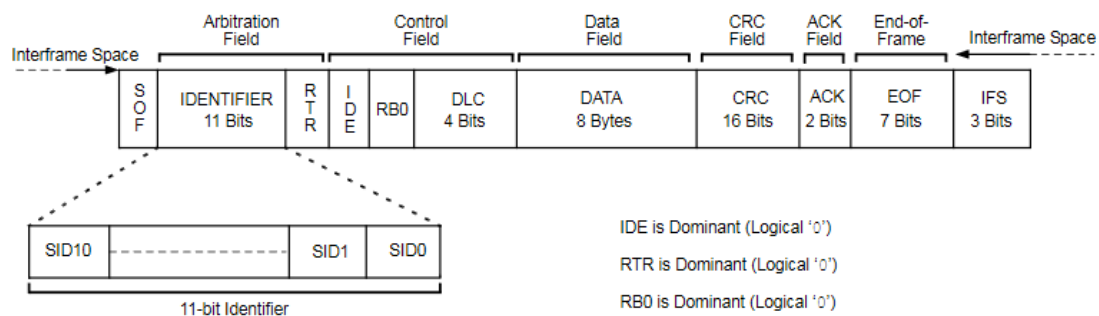


Figure 47: trame CAN basique [27]

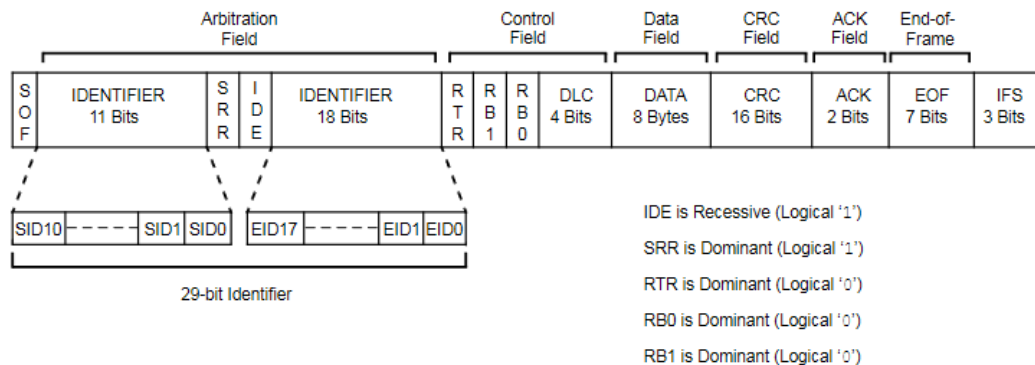


Figure 48: trame CAN étendue [27]

Pour les trames les plus complètes, on a :

- $1+11+1+1+1+4+8*8+16+2+7+3 = \mathbf{111 \text{ bits pour une trame standard}}$
- $1+(29+2)+1+1+1+4+8*8+16+2+7+3 = \mathbf{131 \text{ bits pour une trame étendue}}$

Ainsi, le temps de transmission d'une trame est de :

$$\frac{Nb_{frame}}{s} = \frac{Nb_{bit}}{s} * \frac{1}{Longueur_{frame_{bits}}}$$

Équation 10: nombre de frame par seconde pour bus CAN

On obtient ainsi, dans les meilleurs cas<sup>11</sup> :

- 450 [trames/s] @ 50 [kbps] pour une trame standard
- 381 [trames/s] @ 50 [kbps] pour une trame étendue

Suivant les spécifications suivantes, les trames étendues (29 bits d'identificateurs) sont nécessaires :

- 1) **8 bits d'adresse**
  - a. permettant une adresse de diffusion, l'adresse du contrôleur, et jusqu'à 253 cibles théoriques
  - b. **justifiés à gauche** : permet au contrôleur (adresse 0) et diffusion (adresse 1) de gagner l'arbitration
- 2) **8 bits de groupe**
  - a. permettant à chaque cible d'avoir un groupe différent, ou commun entre-elles
  - b. est utilisé notamment lors de certains modes de jeu où les cibles peuvent interagir entre-elles
  - c. à la suite des bits d'adresse
- 3) **13 bits de commande**
  - a. permettant 8'192 commandes différentes

### Liste des commandes

La liste suivante présente les différentes commandes utilisées lors des transmissions et régissant le protocole de communication :

Message Name	CANCMD_HEARTBEAT
CAN ID	(ADDR << 21)   0x00
Data[0]	Adresse de la cible
Data [1-7]	Longueur aléatoire de contenu aléatoire, si deux cibles ont la même adresse et envoient en même temps -> permet la distinction des messages
Description	Cible répond à une demande du contrôleur pour confirmer sa présence
Event Type	EVT

Message Name	CANCMD_HEARTBEAT_OK
CAN ID	(ADDR << 21)   0x01
Description	Contrôleur confirme à la cible sa présence
Event Type	EVT

Message Name	CANCMD_ASK_HEARTBEAT
CAN ID	(ADDR << 21)   0x02
Description	Contrôleur demande à la cible de s'identifier
Event Type	TT

Message Name	CANCMD_SLEEP
CAN ID	(ADDR << 21)   0x03
Description	Système en sommeil
Event Type	EVT

Figure 49: commandes CAN de détection et de contrôle

<sup>11</sup> Sans compter un potentiel bit stuffing ou encore des erreurs lors de la transmission

Message Name	<b>CANCMD_SET_ADDR</b>
CAN ID	(ADDR << 21)   0x0A
Data[0]	Adresse
Description	Définit l'adresse de la cible
Event Type	EVT

Message Name	<b>CANCMD_SET_GROUP</b>
CAN ID	(ADDR << 21)   0x0B
Data[0]	Groupe
Description	Définit le groupe de la cible
Event Type	EVT

Message Name	<b>CANCMD_SET_SENSITIVITY</b>
CAN ID	(ADDR << 21)   0x0C
Data[0]	Sensibilité
Description	Définit la sensibilité du système (selon variable de pré-compilation ACCEL_MAX_SENS)
Event Type	EVT

Message Name	<b>CANCMD_SET_VOLUME</b>
CAN ID	(BROADCAST << 21)   0x0D
Data[0]	Volume (0 à 8)
Description	Définit le volume du système
Event Type	EVT

Message Name	<b>CANCMD_SET_COL1</b>
CAN ID	(ADDR << 21)   0x0E
Data[0]	Couleur d'attente (8 bits haut - rouge)
Data[1]	Couleur d'attente (8 bits centre - vert)
Data[2]	Couleur d'attente (8 bits bas - bleu)
Data[3]	Couleur capteur (8 bits haut - rouge)
Data[4]	Couleur capteur (8 bits centre - vert)
Data[5]	Couleur capteur (8 bits bas - bleu)
Description	Définit les couleurs de la cible dans l'état d'attente et de capteur
Event Type	EVT

Message Name	<b>CANCMD_SET_COL2</b>
CAN ID	(ADDR << 21)   0x0F
Data[0]	Couleur allumé (8 bits haut - rouge)
Data[1]	Couleur allumé (8 bits centre - vert)
Data[2]	Couleur allumé (8 bits bas - bleu)
Data[3]	Couleur touché (8 bits haut - rouge)
Data[4]	Couleur touché (8 bits centre - vert)
Data[5]	Couleur touché (8 bits bas - bleu)
Description	Définit les couleurs de la cible dans l'état allumé et touché

Figure 50: commandes CAN de définition de la cible

Message Name	<b>CANCMD_GOTO_WAITINF</b>
CAN ID	(ADDR << 21)   0x14
Description	Envoie la cible dans l'état d'attente d'informations
Event Type	EVT

Message Name	<b>CANCMD_GOTO_STBY</b>
CAN ID	(ADDR << 21)   0x15
Description	Envoie la cible dans l'état de début de jeu
Event Type	EVT

Message Name	<b>CANCMD_GOTO_CAPTOR</b>
CAN ID	(ADDR << 21)   0x16
Description	Envoie la cible dans l'état d'utilisation du capteur
Event Type	EVT

Message Name	<b>CANCMD_GOTO_ON</b>
CAN ID	(ADDR << 21)   0x17
Description	Envoie la cible dans l'état allumé
Event Type	EVT

Message Name	<b>CANCMD_GOTO_ENDGAME</b>
CAN ID	(ADDR << 21)   0x18
Description	Envoie la cible dans l'état de fin de jeu
Event Type	EVT

Message Name	<b>CANCMD_GROUPGOTO_ON</b>
CAN ID	(GROUP << 13)   0x19
Description	Envoie un groupe dans l'état allumé
Event Type	EVT

Figure 51: commandes CAN de déplacement d'état de la cible

Message Name	<b>CANCMD_BUTTON_PRESS</b>
CAN ID	(ADDR << 21)   0x28
Data[0]	Nombre d'appuis sur le bouton
Description	Avertit le contrôleur de l'appui sur un bouton extérieur
Event Type	EVT

Message Name	<b>CANCMD_BUTTON_LONGPRESS</b>
CAN ID	(ADDR << 21)   0x29
Description	Avertit le contrôleur d'un appui long sur un bouton extérieur
Event Type	EVT

Figure 52: commandes CAN pour bouton extérieur

Message Name	<b>CANCMD_IMSTBY</b>
CAN ID	(ADDR << 21)   0x1E
Data[0]	Adresse de la cible
Description	Avertit le contrôleur du passage dans l'état d'attente
Event Type	EVT

Message Name	<b>CANCMD_IMCAPT</b>
CAN ID	(ADDR << 21)   0x1F
Data[0]	Adresse de la cible
Description	Avertit le contrôleur du passage dans l'état utilisation du capteur
Event Type	EVT

Message Name	<b>CANCMD_IMON</b>
CAN ID	(ADDR << 21)   0x20
Data[0]	Adresse de la cible
Description	Avertit le contrôleur du passage dans l'état allumé
Event Type	EVT

Message Name	<b>CANCMD_IMHIT</b>
CAN ID	(ADDR << 21)   0x21
Data[0]	Adresse de la cible
Description	Avertit le contrôleur du passage dans l'état touché
Event Type	EVT

Message Name	<b>CANCMD_DOUBLE_ADDRESS</b>
CAN ID	(ADDR << 21)   0x22
Description	Avertit la cible qu'un doublon existe
Event Type	EVT

Message Name	<b>CANCMD_FULLCAPT</b>
CAN ID	(ADDR << 21)   0x23
Data[0]	Adresse de la cible
Description	Avertit le contrôleur que la cible a réalisé un temps de détection complet d'un joueur
Event Type	EVT

Figure 53: commandes CAN d'état de la cible

Message Name	<b>CANCMD_SOUND_START</b>
CAN ID	(ADDR << 21)   0x32
Description	Joue le son « start »
Event Type	EVT

Message Name	<b>CANCMD_SOUND_BEGIN</b>
CAN ID	(ADDR << 21)   0x33
Description	Joue le son « begin »
Event Type	EVT

Figure 54: commandes CAN de son



Message Name	CANCMD_TEST_LED_TOGGLE
CAN ID	(ADDR << 21)   0x1F40
Data[0]	Allumé (1) ou éteint (0)
Description	Message de test, allume les leds du système
Event Type	EVT

Figure 55: commande CAN de test

## Masques et filtres

Pour ne recevoir que les trames nécessaires, il est possible de définir masques et filtres tel que :

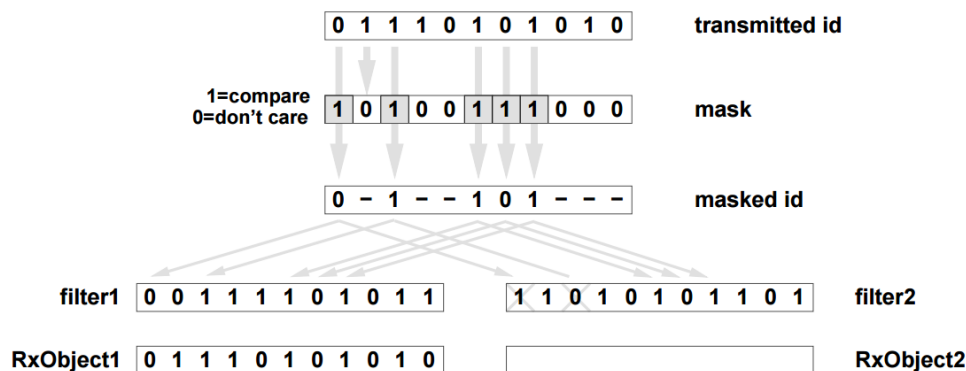


Figure 56: filtres et masques pour bus CAN, <https://www.cnblogs.com/shangdawei/p/4716860.html>

Le contrôleur répond à deux adresses : sa propre adresse (0), ainsi que l'adresse de diffusion (1).

La cible doit répondre à trois adresses : sa propre adresse, l'adresse de diffusion (1), ainsi que son groupe.

Les masques utilisés sont donc :

- 0b11111'11100000'00000000'00000000 – 0x1FE0'0000, **masque d'adresse (masque 0)**
- 0b00000'00011111'11100000'00000000 – 0x1F'E000, **masque de groupe (masque 1)**

Ces masques permettent de ne chercher à faire correspondre que la plage d'adresse, respectivement la plage de groupe, et d'omettre les commandes se trouvant dans les 13 derniers bits.

Trois filtres sont ensuite définis :

- L'**adresse du système**, sur 8 bits, décalé de 21 bits sur la gauche -> utilisé avec le masque 0 (**filtre 0**)
- L'**adresse de diffusion**, sur 8 bits, décalé de 21 bits sur la gauche -> utilisé avec le masque 0 (**filtre 1**)
- L'**adresse de groupe**, sur 8 bits, décalé de 13 bits sur la gauche -> utilisé avec le masque 1 (**filtre 2**)

## Wi-Fi/Bluetooth/Debug

### Configuration du port

Les 3 modules communiquent avec le contrôleur par UART. Les envois par byte pour les modules Wi-Fi, Bluetooth ainsi que pour le Debug (par USB) sont composés de :

- 1 bit de stop
- 8 bits de donnée
- Pas de parité / pas de contrôle de flux

Le tout est cadencé à 115'200 [bauds/s].

### Trames

Pour les trames, composées de plusieurs bytes, le système assume qu'une transmission est terminée lorsque les caractères '\r\n' sont reçus, ou 10 [ms] après ne plus rien avoir reçu.

### Gestion d'émission/réception

L'émission se base sur l'interruption d'envoi, qui intervient chaque fois qu'un caractère est transmis. Les caractères sont tout d'abord placés dans un buffer circulaire, et vidés au fur et à mesure de la disponibilité du périphérique.

Pour la réception, les caractères sont stockés eux-aussi dans un buffer circulaire. Lorsque la réception est considérée comme complète, un événement est émis et l'utilisateur peut lire ce dernier.

*Si le buffer est plein, les données sont perdues.*

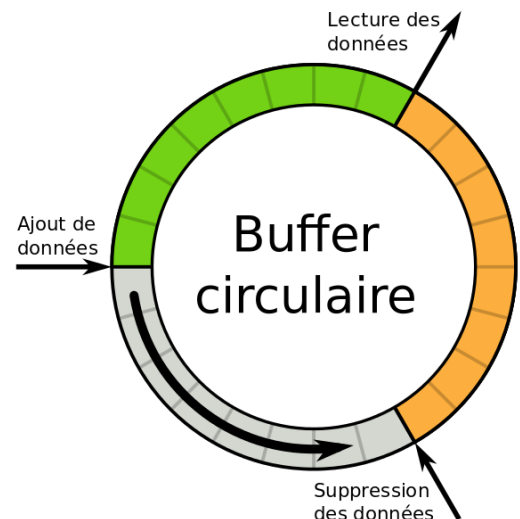


Figure 57: principe du buffer circulaire,  
[https://upload.wikimedia.org/wikipedia/commons/thumb/2/22/Ring\\_buffer\\_fr.svg/1200px-Ring\\_buffer\\_fr.svg.png](https://upload.wikimedia.org/wikipedia/commons/thumb/2/22/Ring_buffer_fr.svg/1200px-Ring_buffer_fr.svg.png)

## Son

La génération du son se base sur l'UART, pour permettre l'émission de fréquences variées.

Le système détecte la vitesse de l'horloge pour adapter automatiquement les fréquences de sorties. Il suffit ainsi de créer un tableau contenant notes et temps d'émission voulu.

Si la variable **SOUND\_CAN\_OVERRIDE** est activée, jouer deux sons successivement verra le premier s'arrêter pour laisser place au second.

Dans le cas contraire, le deuxième son ne sera pas joué, même après la fin du premier.

Il est ainsi facile d'ajouter des notes à la liste, selon les fréquences données ici :

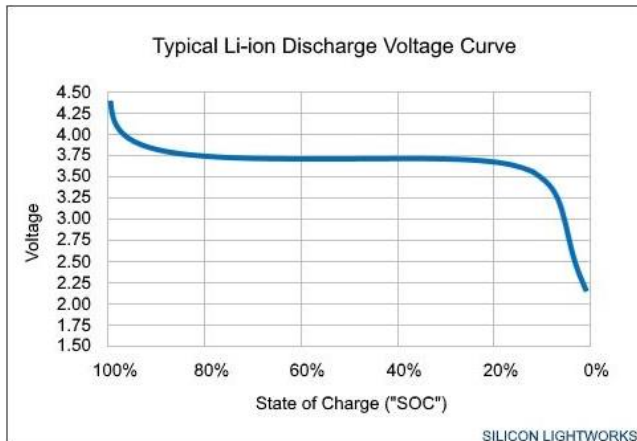
[https://fr.wikipedia.org/wiki/Fr%C3%A9quences\\_des\\_touches\\_du\\_piano](https://fr.wikipedia.org/wiki/Fr%C3%A9quences_des_touches_du_piano)

## Batterie

La batterie est mesurée périodiquement (défini par **BATT\_MEASURE\_TIME\_MS**, actuellement chaque 5 [s]).

Lorsque la conversion est lancée, le système continue à tourner pendant la conversion A/D, jusqu'à ce que le nombre d'itérations réglé par **BATT\_MEAS\_IT** soit atteint et indiqué par la génération d'un événement.

Dès lors, le convertisseur est arrêté pour économiser de l'énergie, et la moyenne des mesures précédentes réalisée, ensuite comparée dans une table de consultation.



Cette table définit le niveau estimé de la batterie, en pourcentage, par rapport à la tension mesurée. L'algorithme recherche donc deux bornes entre lesquelles la mesure se place, et linéarise l'équation pour estimer le niveau de batterie actuel.

Si le niveau est jugé trop bas (environ 3.35 [V] – 10 [%] de capacité), le système s'arrête pour s'économiser jusqu'à recharge de ce dernier.

Figure 58: Li-Ion courbe de décharge, <https://siliconlightworks.com/li-ion-voltage>

## Sauvegarde des données en Flash

Le microcontrôleur sélectionné ne possédant pas d'EEPROM, et dans un souci d'économie aucune n'ayant été implémentée en externe, la sauvegarde des données persistantes se fait dans la mémoire Flash du microcontrôleur.

Ce type de mémoire présente le défaut d'être bien moins durable, avec un nombre d'écritures/effaçage de 10'000 cycles (minimum, avec rétention de 20 ans pour le microcontrôleur employé) contre jusqu'à 1 millions de cycles pour un EEPROM.

10'000 cycles peuvent paraître suffisants. Mais en imaginant que le système est employé chaque jour, les options modifiées au moins 20 fois, le système serait détérioré en moins de 500 jours.

Pour contrer ce problème, Microchip fournit un algorithme décrit dans l'AN1095[28] qui émule une EEPROM, tout en allongeant la durée de vie de sauvegarde à :

$$\text{TotalEffectiveEndurance} = \frac{(\text{PageSize} - \text{PageStatusSize} - \text{SizeofOneDataEEPROMBank}) * \text{NumberofPages} * \text{Endurance}}{1}$$

Équation 11: durée de vie effective de l'EEPROM émulée en flash

Selon le système, les équations nous donnent :

- $(512-1-255)*4*10000 = \mathbf{10'240'000}$  [cycles] pour le contrôleur
- $(512-1-4)*2*10000 = \mathbf{10'140'000}$  [cycles] pour la cible

Ces valeurs prennent tout de suite meilleur sens, avec respectivement pour le scénario précédent 1402 [ans] et 270 [jours] pour le contrôleur, et 1389 [ans] et 15 [jours] pour une cible.

### **Bouton extérieur**

Le bouton extérieur marche sur interruption et permet de détecter un appui long ou un appui court sur ce dernier.

Pour ce faire, lors d'un appui, un timer s'enclenche et contrôle régulièrement (selon **EXT\_DELTA\_CHECK\_MS**) que le bouton est toujours appuyé.

Au bout du temps donnée par **EXT\_LONGPRESS\_TIME\_MS** (ici 4 [s]), l'appui est considéré comme long et un événement est créé.

### **LEDs**

Des LEDs de debug permettent d'aider à la conception du système.

Dans le code final publié, seule une de ces dernières est utilisée, pour montrer l'activité du système.

Un timer échoue régulièrement, définit à l'initialisation (ici chaque 500 [ms]) qui permet de faire clignoter une LED et prouver que le système n'est pas gelé.

### **Watchdog**

Le système étant toujours sujet à un bug imprévu qui vienne à bloquer complètement le système, son utilisation peut être rendue impossible.

Bien sûr, il est toujours possible de retirer l'alimentation, démonter le boîtier, puis retirer la batterie pour redémarrer complètement le déroulement du code.

Cela représente un coût en temps pour l'utilisateur final, tout en lui faisant perdre confiance sur le produit, tandis qu'un redémarrage inopiné peut ne même pas se remarquer.

Pour ceci, un chien de garde est implémenté. Son rôle est simple : s'il n'est pas redémarré régulièrement, le système repart de zéro.

Ce dernier est rafraîchi régulièrement à l'aide d'un timer software. Ainsi, si le système gèle à cause d'une boucle infinie, une exception quelconque (division par 0, accès à de la mémoire invalide ...) ... ce dernier n'est plus rafraîchi et le chien de garde échouera.

## **6.3. Spécifications et algorithmes – cible**

### **Accéléromètre et I2C**

L'accéléromètre marche très simplement : ce dernier est configuré et chargé pour détecter un choc, ainsi qu'une chute du boîtier, et ce à l'allumage du périphérique.

La liste des registres permet un accès facilité aux données.

Par la suite, ce dernier est laissé en course libre, créant une interruption dès lors qu'un événement est détecté, relayé par un événement envoyé au système.

Ce dernier est géré par un bus I2C, qui peut marcher de façon automatique ou de façon bloquante, détectant une absence de l'esclave tout en gérant de potentielles erreurs à l'aide de différentes échéances définies par **i2cmanip**.

### Détecteur de présence

Le détecteur PIR fonctionne seul, en ne gérant que son alimentation.

Une interruption, suivie de l'envoi d'un événement au système, permet de réagir en cas de détection d'un joueur.

Le détecteur nécessite une minute de mise en route avant d'être utilisable, c'est pourquoi il n'est pas éteint lors d'une mise en sommeil.

### RGB

Les LEDs extérieures au boîtier permettent de démontrer l'état actuel de la cible.

Pour afficher une palette importante, chaque couleur primaire est gérée par une PWM indépendante.

Pour économiser de l'énergie, le module est désactivé complètement lorsque la LED doit rester à 0.

Le reste du temps, la période est fixée à 3.75 [ms] – 266 [Hz], ce qui permet de ne remarquer aucun clignotement.

Les incréments sont définis en pourcent par l'interface fournie (0 – 100), bien que le système soit capable de plus de finesse si nécessaire.

Des méthodes pour travailler en code RGB sont directement fournies.

## 6.4. Spécifications et algorithmes – contrôleur

### Boutons et encodeurs

Les différents boutons (ok, annuler, encodeur) sont liés aux IOC – interruption au changement -. Ces dernières détectent les appuis et relâchements des différents boutons.

Seuls les appuis génèrent des événements, relayés au système au travers du distributeur.

Pour la rotation de l'encodeur, cette dernière se base sur le principe d'une interface de codeur incrémental en quadrature :

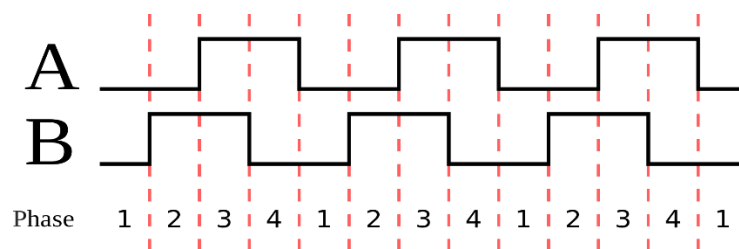


Figure 59: signaux d'un module QEI,  
[https://en.wikipedia.org/wiki/Incremental\\_encoder#/media/File:Quadrature\\_Diagram.svg](https://en.wikipedia.org/wiki/Incremental_encoder#/media/File:Quadrature_Diagram.svg)

Avec ça, il est possible de déterminer le sens de rotation du codeur, en plus de sa vitesse et position. Le microcontrôleur sélectionné possède un module dédié, mais n'est pas employé à cette fin. En effet, la lenteur des signaux permet l'utilisation simple d'IOCs dans un **mode x1** (nombre d'impulsions par cran physique de la molette).

Il est donc possible de travailler en mode x1, x2 et x4 (nombre d'impulsions par cran). Pour sélectionner ces modes, il suffit :

- **En x1**, de regarder les changements d'un seul canal, sur un seul flanc défini
- **En x2**, de regarder les changements d'un seul canal, sur ses deux flancs **OU** sur un flanc défini de chaque canal
- **En x4**, de regarder les changements des deux canaux, sur leurs deux flancs

Dans notre cas, seul le mode **x1** fait sens. En effet, pour chaque cran fait physiquement, l'utilisateur ne veut déplacer son curseur que d'une position.

Pour ça, seul le canal A est utilisé, sur son flanc montant, créant donc une interruption dès lors, et ce suivant la direction de l'encodeur. Les événements correspondants sont distribués (**XF\_USERINPUT\_GO\_DOWN** ou **XF\_USERINPUT\_GO\_UP**).

### Affichage - luminosité

La luminosité est lue périodiquement à une fréquence définie par **LUM\_MEAS\_TIME\_MS** (ici 200 [ms]).

Cette dernière est comparée aux mesures extrêmes (prises en absence de lumière et en présence de beaucoup de lumière), et une linéarisation est faite entre ces deux points pour faire correspondre l'intensité du rétroéclairage à appliquer.

Cette intensité est au minimum de **MIN\_LUM** [%] (ici 1).

La lecture A/D s'effectue à plusieurs reprises, de façon non-bloquante, et applique automatiquement l'intensité désirée au rétro-éclairage.

Pour donner un effet moins abrupt au changement, l'éclairage est modifié périodiquement, petit à petit, pour rejoindre la consigne.

### Affichage – rétro-éclairage

Le rétro-éclairage marche sur PWM, dont la période est de 100 [Hz] (pas de scintillement de l'écran) et qui s'incrémente par pourcent de l'éclairage total.

### Affichage – graphique

Les éléments graphiques et la gestion bas-niveau de l'écran sont deux systèmes gracieusement mis à disposition par M. Sartoretti Pascal, sous licence libre.

L'envoi et la réception des commandes marche de manière parallèle (8 bits), et sont bloquants.

La bibliothèque graphique permet l'affichage de bitmaps, de textes, de lignes/rectangles, de boutons et de sliders.

Y ont été ajoutés la possibilité de dessiner des ronds, ainsi que de transformer une couleur RGB (24 bits) en High-Color (15 bits) – système de couleur employé par l'écran.



## 6.5. Jeux et logiques

### Principes

8 modes de jeu sont actuellement implémentés :

#### - Parcours

- toutes les cibles sont allumées ; le but est de toucher les cibles à la suite en suivant un parcours prédéfini
- le jeu se termine lorsque toutes les cibles sont touchées, ou le temps réglé dépassé

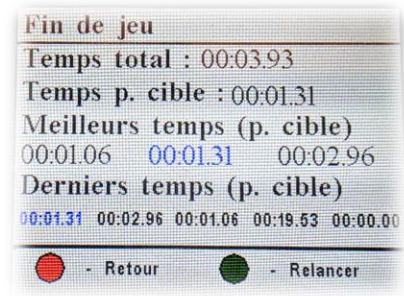


Figure 60: écrans de fin parcours, aléatoires, bombe

#### - Parcours + capteur

- toutes les cibles sont allumées ; le but est de toucher les cibles à la suite en suivant un parcours prédéfini
- si l'utilisateur est repéré par un capteur, la cible clignote le temps défini ; si elle n'est pas touchée à temps, un malus est compté
- le jeu se termine lorsque toutes les cibles sont touchées, ou le temps réglé dépassé, ou le bouton extérieur pressé (si des cibles ne sont pas touchées -> malus supplémentaires), ou la cible désignée touchée (si des cibles ne sont pas touchées -> malus supplémentaire)

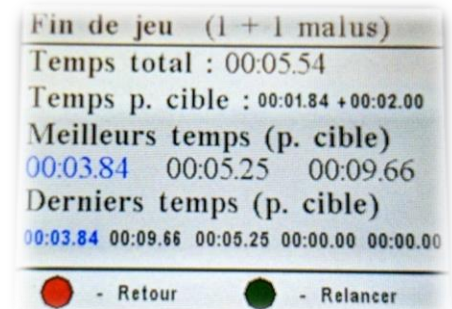


Figure 61: écran de fin parcours + capteur

#### - Aléatoire mobile

- les cibles s'allument aléatoirement et changent si elles ne sont pas touchées dans le temps réglé, de 1 à 5 cibles simultanément
- le jeu se termine lorsque toutes les cibles sont touchées, ou le temps réglé dépassé

#### - Aléatoire fixe

- semblable à l'aléatoire mobile, mais la cible reste allumée jusqu'à être touchée

#### - Bombe

- semblable à l'aléatoire mobile, mais si la cible n'est pas touchée à temps -> le jeu est perdu

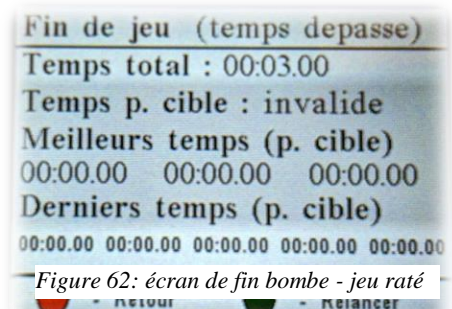


Figure 62: écran de fin bombe - jeu raté

#### - Par pièces

- les cibles s'allument par lot selon réglage (1 à 50 cibles par pièce), simulant des pièces ; la prochaine « pièce » n'est allumée que lorsque toutes les cibles précédentes sont touchées
- le jeu se termine lorsque toutes les pièces sont nettoyées (toutes les cibles touchées)

- **Par pièces + capteur**

- les cibles s'allument par lot selon réglage
- si l'utilisateur est repéré par un capteur, la cible clignote le temps défini ; si elle n'est pas touchée à temps, un malus est compté et toutes les cibles de la pièce s'allument
- le jeu se termine lorsque toutes les cibles sont touchées, ou le temps réglé dépassé, ou le bouton extérieur pressé (si des cibles ne sont pas touchées -> malus supplémentaire)



Figure 63: écran de fin "par pièces", avec une pièce détectée

- **Duel (arbre)**

- les cibles désignées s'allument de deux couleurs, représentant les joueurs 1 et 2
- le jeu se termine lorsque toutes les cibles sont touchées ; les temps du joueur 1 et du joueur 2 sont comptés indépendamment

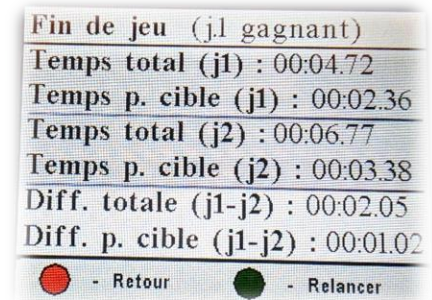


Figure 64: écran de fin duel (arbre)

- **Duel (rapidité)**

- toutes les cibles s'allument
- le jeu se termine lorsque n'importe quelle cible est touchée

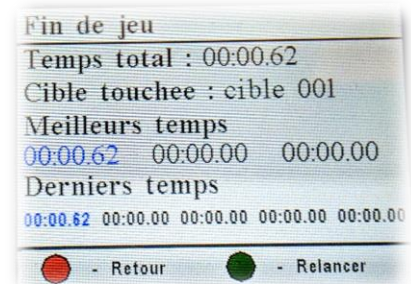


Figure 65: écran de fin duel (rapidité)

## Implémentation

### **Parcours**

Les deux modes du parcours s'enregistrent aux callbacks suivants :

- **Entrée du jeu**

- Lance toutes les cibles dans le mode **ON** (parcours) ou **CAPTEUR** (parcours + capteur)
- Enregistre les options

- **Déroulement du jeu**

- Pour le mode parcours + capteur, détecte lorsqu'une cible a détecté un joueur et compte un malus

- **Entrée de fin de jeu**

- Enregistre le score actuel si valide (pas de dépassement de temps – en comptant les malus pour le mode parcours + capteur), enregistre si un des 3 meilleurs temps, affiche les scores

## Aléatoires et bombe

Les trois modes s'enregistrent aux callbacks suivants :

- **Entrée du jeu**
  - o Lance toutes les cibles dans le mode **STBY**
  - o Mélange les cibles
  - o Enregistre les options
- **Déroulement du jeu**
  - o Cherche si une cible doit être allumée ou changée, selon le temps défini par l'utilisateur ou si la cible est touchée
  - o Pour le mode bombe, arrête le jeu si une cible n'est pas touchée à temps
- **Entrée de fin de jeu**
  - o Enregistre le score actuel si valide (pas de dépassement de temps – en comptant les malus pour le mode parcours + capteur), enregistre si un des 3 meilleurs temps, affiche les scores

Le mélange des cibles se base sur un algorithme pour permuter les éléments du tableau, par la procédure **static void randTargets(TargetState\_t \*\*arr, uint8\_t n)** :

- Le tableau est parcouru de la fin jusqu'au second élément
- A chaque itération, l'élément est échangé « aléatoirement » avec un des éléments avant lui (d'où le fait de ne pas traiter le premier élément de la liste)
- *La graine de l'aléatoire est redéfinie au lancement du jeu, selon le temps de fonctionnement du système*

Pour la gestion des 1 à 5 cibles aléatoires simultanées, l'algorithme de la procédure **static void actOnChange(TargetState\_t \*\*arr, uint8\_t n, RandBombTargetPointer\_t \*pointers, Event ev)** est le suivant :

- 1 à 5 pointeurs sont activés, se déplaçant linéairement dans la liste mélangée des cibles  
Un pointeur désactivé ne pointe vers aucune cible et ne fait rien
- Au départ, les pointeurs cherchent une cible ne possédant pas encore de pointeur, qui n'est pas touchée et qui est toujours connectée -> la cible est activée, et un minutage propre au pointeur est lancé (temps défini par l'utilisateur)
- Lorsque le temps du pointeur est dépassé, ce dernier recherche une nouvelle cible dans la liste ne possédant pas de pointeur ; si aucune cible n'est libre, le pointeur se désactive sur sa cible actuelle, signifiant qu'elle restera active jusqu'à être touchée
- Lorsque la cible est touchée, le pointeur cherche une nouvelle cible ; si aucune n'est libre, le pointeur se désactive
- Lorsque tous les pointeurs sont désactivés, cela signifie la fin du jeu

Lorsque le timer d'un pointeur échoue, ce dernier envoie un événement pour avertir le gestionnaire de jeu.

Les événements sont **XF\_RANDBOMB\_TIMEOUTx**, ici de 1 à 5. Pour activer plus de pointeurs, il suffit d'augmenter le nombre possible **RANDBOMB\_MAXSIMULT\_TARG**, tout en réservant **A LA SUITE** les événements **XF\_RANDBOMB\_TIMEOUTx** correspondants (basé sur le fait qu'un **enum** augmente la valeur de +1 à chaque définition).

## Par pièces

Les deux modes s'enregistrent aux callbacks suivants :

- **Entrée du jeu**
  - Lance toutes les cibles dans le mode **STBY**
  - Cherche la première pièce contenant des cibles et l'active
  - Enregistre les options
- **Déroulement du jeu**
  - Pour le mode par pièces + capteur, détecte lorsqu'une cible a détecté un joueur et compte un malus
  - Contrôle la pièce actuelle, et au besoin en cherche une nouvelle
- **Entrée de fin de jeu**
  - Enregistre le score actuel si valide (pas de dépassement de temps – en comptant les malus pour le mode avec capteur), enregistre si un des 3 meilleurs temps, affiche les scores, affiche les chambres (en rouge si les joueurs ont été détectés)
- **Déroulement de fin de jeu**
  - Récupère les entrées de l'encodeur, pour défiler les pièces si nécessaire

La procédure pour activer les chambres, **static void manageRoom(uint8\_t \*currroom, uint8\_t targperroom, uint8\_t maxtarg, TargetState\_t \*targets, bool first, GameType\_t gametype)**, se base sur l'algorithme suivant :

- Si l'argument **first** est vrai, la procédure recherche une salle vide depuis la pièce actuelle
  - si une pièce est trouvée, les cibles de cette pièce sont allumées
- Si l'argument est faux, la procédure contrôle si la salle actuelle ne comporte que des cibles débranchées ou touchées, et si tel est le cas, la procédure est appelée avec les mêmes arguments, mais avec **first** à vrai pour trouver une nouvelle salle
- Si aucune salle n'est disponible, la procédure ne fait rien

## Duels

Les deux modes s'enregistrent aux callbacks suivants :

- **Entrée du jeu**
  - Allume les cibles nécessaires : toutes pour le mode rapide, celles du joueur 1 et 2 pour le mode arbre
  - Enregistre les options
- **Déroulement du jeu**
  - Dans le mode arbre, détecte lorsqu'un des deux joueurs a touché toutes ses cibles, et enregistre son temps
- **Entrée de fin de jeu**
  - Contrôle que les deux joueurs ont un temps enregistré (sinon enregistre les temps manquants)
  - Affiche les scores
  - Dans le mode rapide, enregistre le score actuel si valide (pas de dépassement de temps – en comptant les malus pour le mode avec capteur), enregistre si un des 3 meilleurs temps, affiche les scores

## 7. Système final

### 7.1. Tests

L'ensemble des tests effectués peut être retrouvé en annexe 10.5 *Tests de fonctionnement*.

### 7.2. Consommation

#### Principe

Le système tournant sur batterie, un point est mis sur la gestion de la consommation. En outre, le système peut être mis en mode sommeil :

- 4) Par appui long sur le bouton extérieur (branché sur le contrôleur ou une cible)
- 5) Après 3 minutes sans interaction de l'utilisateur, pour autant qu'un jeu n'est pas lancé

Le reste du temps, les modules sont activés au mieux uniquement lorsque nécessaire (A/D uniquement lors de la lecture de la batterie/détecteur de luminosité, PWMs activées indépendamment lorsque les niveaux de couleur ne sont pas 0 ...).

#### Mesure

Le système a été mesuré à son maximum (lors des jeux) et lorsqu'il est à l'arrêt, alimenté en 5 [V] (chargeur externe), avec les résultats suivants :

MODULE	CONSOMMATION
Cible (maximum)	241 [mA]
Cible (sommeil)	2.72 [mA]
Contrôleur (maximum)	220 [mA]
Contrôleur (sommeil)	3.65 [mA]

Tableau 13: consommation du système sur secteur

A noter que dans ce cadre de test, les 3 LEDs d'indication de la batterie s'allument. Ainsi, lors de l'utilisation sur batterie, il faut retirer à chaque mesure leur consommation de **0.77 [mA]** :

MODULE	CONSOMMATION
Cible (maximum)	240.23 [mA]
Cible (sommeil)	1.95 [mA]
Contrôleur (maximum)	219.23 [mA]
Contrôleur (sommeil)	2.88 [mA]

Tableau 14: consommation du système sur batterie

Le courant latent **notable** de sommeil provient des modules suivants :

MODULE	CONSOMMATION
Régulateur LDO	1.2 [mA]
MAX3051 (CAN)	0.015 [mA]
MCP73833 (Protec batt.)	0.1 [mA]
FT230 (UART-USB)	0.25 [mA]
Oscillateur	0.01 [mA]
Cible - Accéléromètre	0.05 [mA]
Cible - PIR	0.07 [mA]
Contrôleur – mesure lumière	Max. 1 [mA]
<b>TOTAL CIBLE</b>	1.695 [mA]
<b>TOTAL CONTRÔLEUR</b>	2.575 [mA]

Tableau 15: courants de sommeil



### Améliorations

On voit grâce au tableau précédent les 3 éléments les plus consommateurs du circuit.

#### 1) Régulateur LDO

Pour le régulateur, ce dernier avait été choisi pour fournir un courant assez important et ainsi ne pas limiter le système en cas de besoin. Après les mesures précédentes, on peut déterminer qu'un courant maximal d'un tiers de celui fourni par le LDO choisit (500 [mA] au lieu de 1.5 [A]) est suffisant. Ainsi, un LDO plus petit consommerait moins en tout temps.

#### 2) FT230

Le FT230 prévu n'est actuellement là qu'à titre d'aide à la conception, et sa consommation pourrait ainsi ne pas être comptée dans les versions grand public.

Si ce dernier est gardé pour le contrôleur dans sa version finale (contrôle du système à l'aide d'un PC par exemple), sa consommation devrait être régulée.

#### 3) Mesure de lumière

La mesure de lumière est un simple pont résistif dont l'une des branches varie en fonction de la luminosité ambiante.

Actuellement, le pont consomme en permanence, même lorsque la luminosité n'est pas lue.

Deux solutions sont envisageables :

- 1) Augmenter la résistance de la branche basse (actuellement 3.3 [kOhms]), au détriment d'une bonne résolution
- 2) Contrôler la mise à la masse de la branche basse, ou l'alimentation de la branche haute

Selon le schéma, des entrées/sorties du microcontrôleur sont encore disponibles. La seconde solution est donc à privilégier, en pouvant consommer uniquement lors de la mesure.

### 7.3. Ecrans de jeu

Se référant à la *Figure 43: machine globale - contrôleur*, les différents écrans du contrôleur sont les suivants :

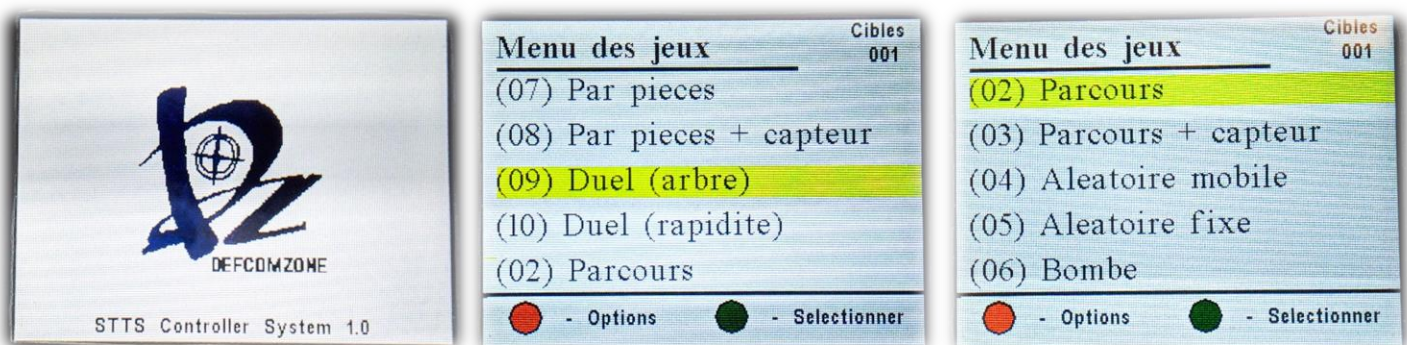


Figure 66: menu d'accueil et menu des jeux



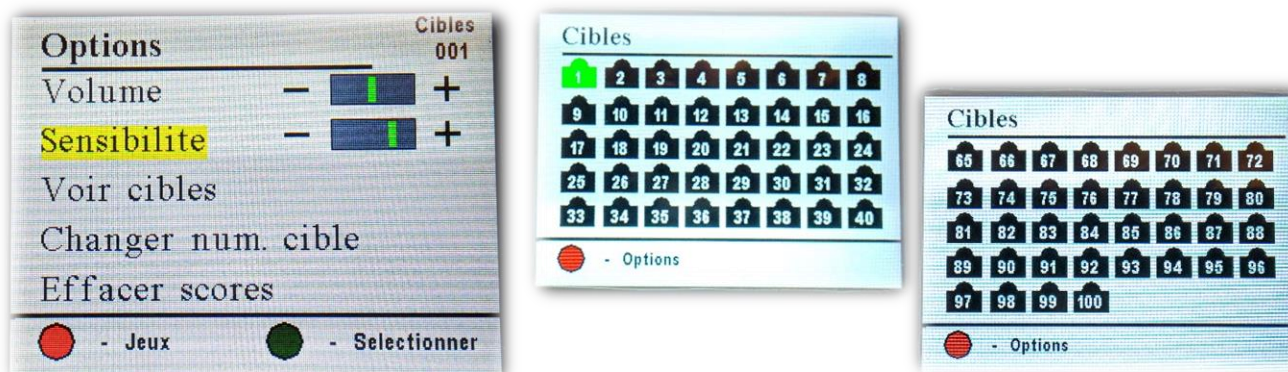


Figure 67: options et liste des cibles

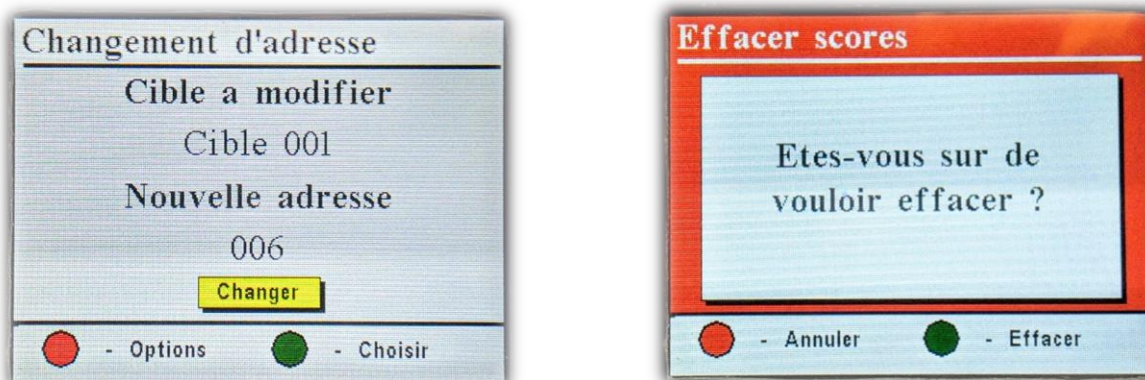


Figure 68: changement d'une adresse et effaçage des scores

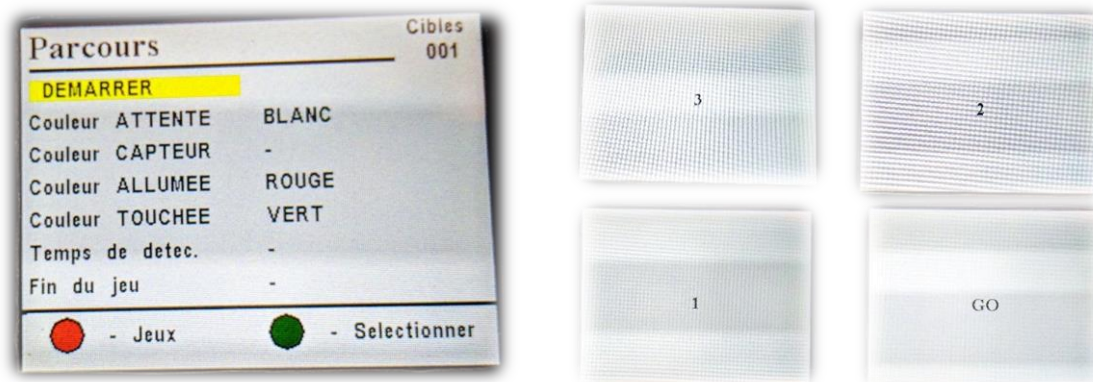


Figure 69: options d'un jeu et lancement

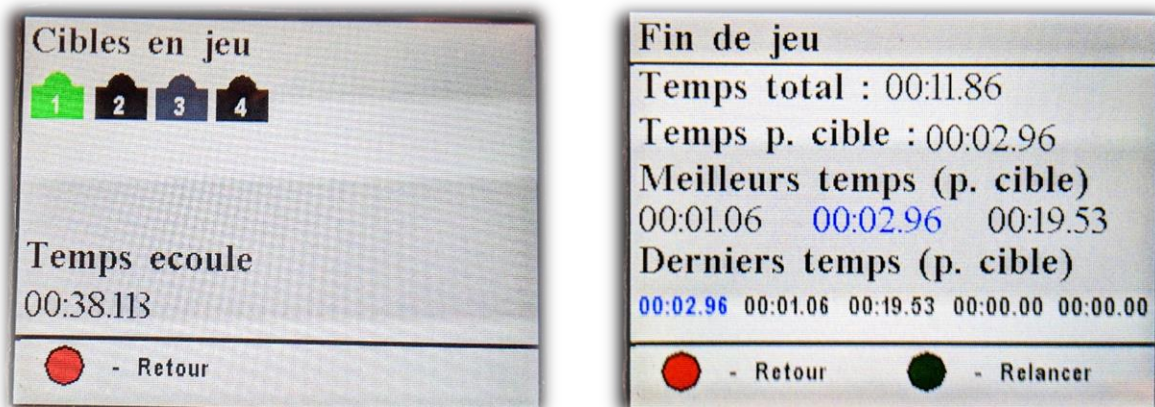


Figure 70: en jeu et fin de jeu

## 8. Boîtiers

### 8.1. Principe

Dans l'optique d'offrir un système complet, des boîtiers fonctionnels sont développés pour chaque module. Il est ainsi possible d'entrevoir la place nécessaire quant au stockage du système et pouvoir tester le produit en conditions réelles.

Les boîtiers sont réalisés dans un esprit de simplicité, tout en étant suffisamment robustes et intégrant les moyens de fixation nécessaires.

### 8.2. Boîtier cible

Le boîtier pour les cibles se divise en deux parties, et se présente ainsi :

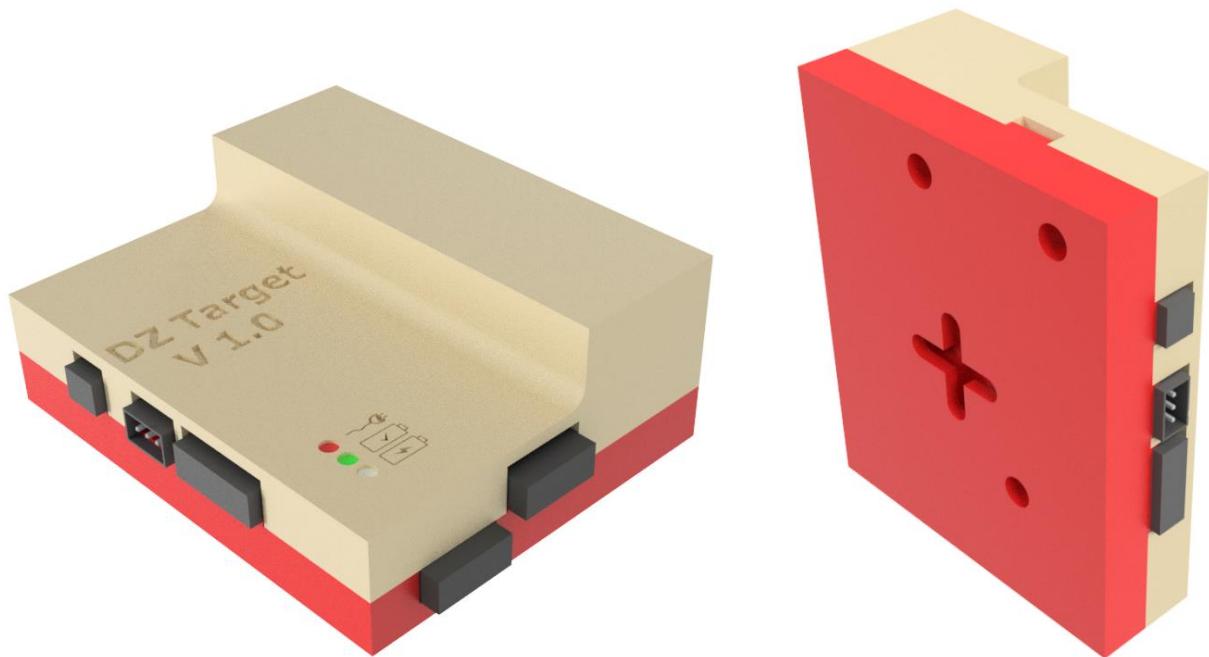


Figure 71: ensemble - cible

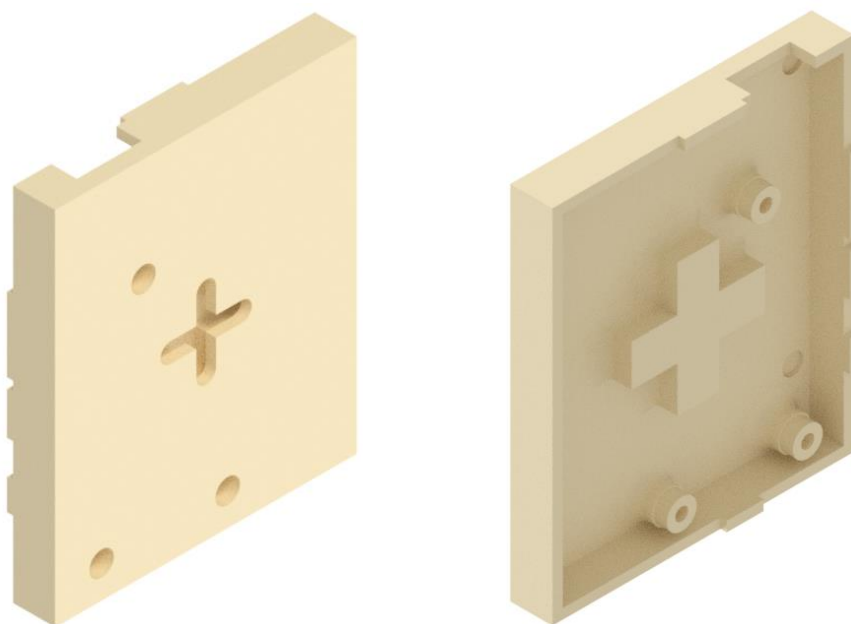


Figure 72: boîtier inférieur - cible

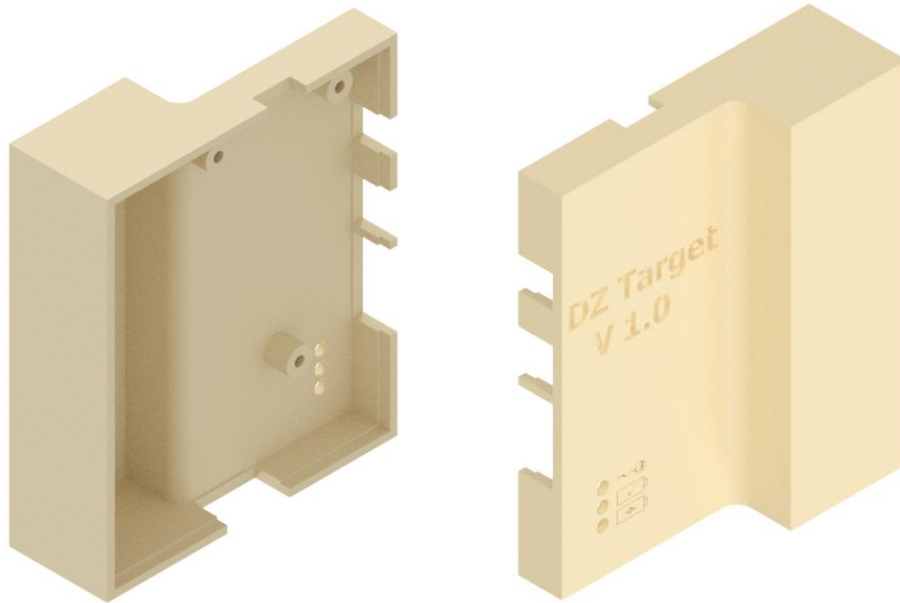


Figure 73: boîtier supérieur – cible

Sur la face avant, on peut y lire le nom du module, ainsi que les trois LEDs d'indication de charge avec leur logo respectif (de haut en bas : alimentation branchée – charge pleine – en charge). Lorsque le système est branché sur secteur sans batterie, les trois LEDs sont allumées.

Tout autour de ce dernier se trouvent des encoches pour les divers connecteurs, avec sur le haut une encoche discrète pour le branchement du câble USB de débogage.

Le boîtier est fait pour garder un profil minimal, tout en étant possédant des angles droits sur ses bords pour pouvoir les empiler plus facilement,

Le boîtier est fermé par trois vis M3, passant au travers du PCB.

Ce dernier peut être fixé de trois manières différentes :

- 3) A l'aide de scratch disposé sur sa face arrière (plane)
- 4) A l'aide d'une vis, dont la tête vient s'insérer dans l'encoche fournie (4 positions possibles)
- 5) A l'aide d'aimants, noyés dans le boîtier – *après tests, les aimants prévus sont trop faibles pour supporter le poids de l'ensemble*

### **Coût**

Le boîtier test est imprimé sur une machine SLS en PLA noir.

Un coût potentiel chez un professionnel local - <https://a-printer.ch/pièces/> :

*Impression : 20.- de prise en charge puis entre 0.50 et 1.- CHF le gramme selon la matière et la complexité*

Avec l'ensemble estimé à 73 [g] (Ultimaker Cura 4.6), le prix de revient est de 56.5 CHF à 93 CHF.



### 8.3. Module détecteur de présence

Le module détecteur de présence est indépendant à la cible pour être branché au bon vouloir de l'utilisateur final.

Dans cette optique, un boîtier indépendant lui est dédié, qui sera fixé au bon vouloir du client :

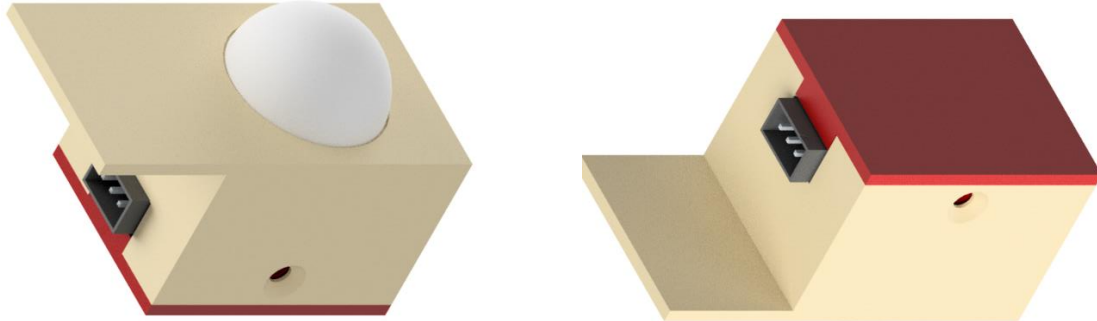


Figure 74: ensemble - détecteur de présence

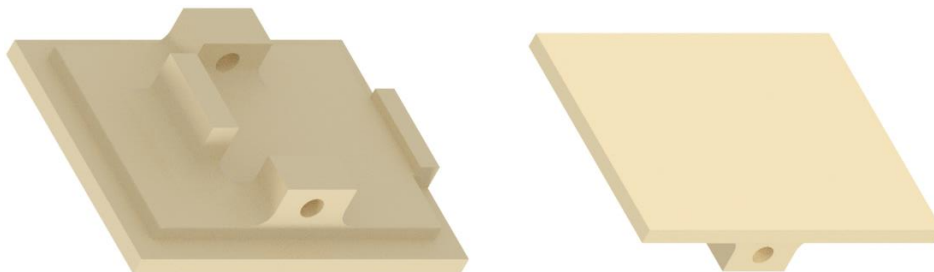


Figure 75: boîtier inférieur - détecteur de présence

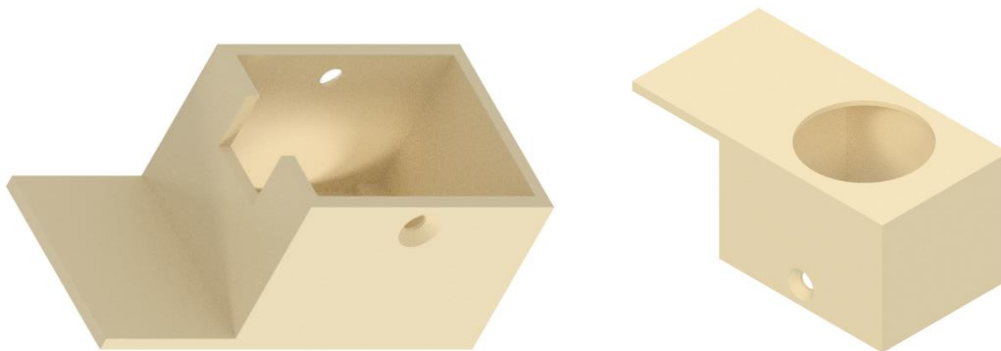


Figure 76: boîtier supérieur - détecteur de présence

Le boîtier possède protubérance sur le dessus, permettant à la fois de protéger le connecteur juste dessous, ainsi que de permettre sa fixation (vis ou scratch).

Le boîtier est fermé par deux vis M3.

#### Coût

Le boîtier test est imprimé sur une machine SLS en PLA noir.

Un coût potentiel chez un professionnel local - <https://a-printer.ch/pièces/> :

*Impression : 20.- de prise en charge puis entre 0.50 et 1.- CHF le gramme  
selon la matière et la complexité*

L'ensemble estimé à 16 [g] (Ultimaker Cura 4.6), le prix de revient est de 28 CHF à 36 CHF.

#### 8.4. Module LEDs et Buzzer

Le module « LEDs et Buzzer » est indépendant à la cible.

Dans cette optique, un boîtier indépendant lui est dédié, qui sera fixé à l'endroit désiré :

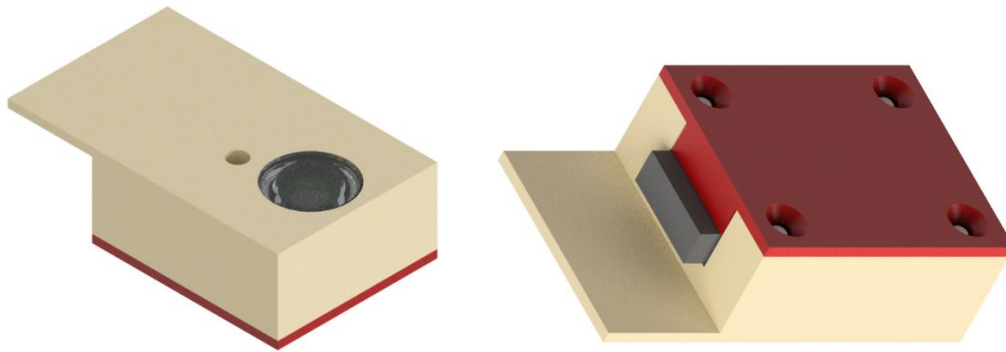


Figure 77: ensemble - leds et buzzer

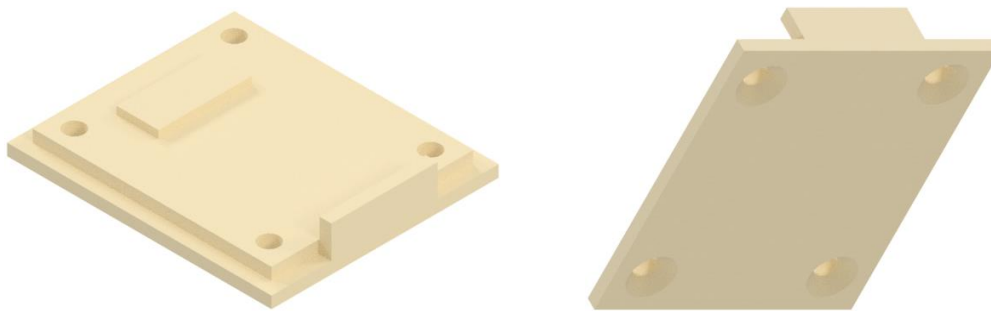


Figure 78: boîtier inférieur - leds et buzzer

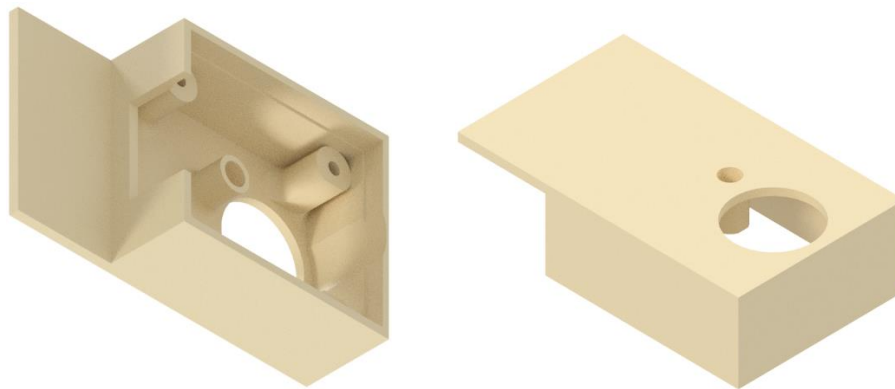


Figure 79: boîtier supérieur - leds et buzzer

Le boîtier est fermé par 4 vis M3.

Le diffuseur possède son emplacement, tandis qu'un « tube » conduit le son hors du boîtier.

Comme précédemment, une protubérance protège le connecteur et permet la fixation.

#### Coût

Le boîtier test est imprimé sur une machine SLS en PLA noir.

Un coût potentiel chez un professionnel local - <https://a-printer.ch/pièces/> :

*Impression : 20.- de prise en charge puis entre 0.50 et 1.- CHF le gramme  
selon la matière et la complexité*

L'ensemble estimé à 20 [g] (Ultimaker Cura 4.6), le prix de revient est de 30 CHF à 40 CHF.

### 8.5. Contrôleur

Le contrôleur a été pensé pour une prise en main facilitée, avec un fond arrondi et plus large que ne nécessiterait la taille de l'électronique :

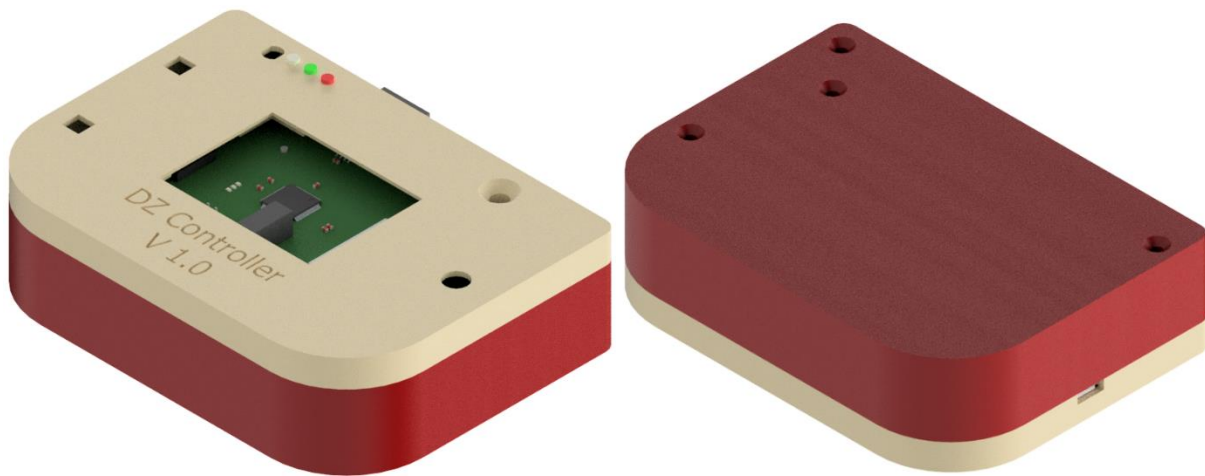


Figure 80: ensemble – contrôleur

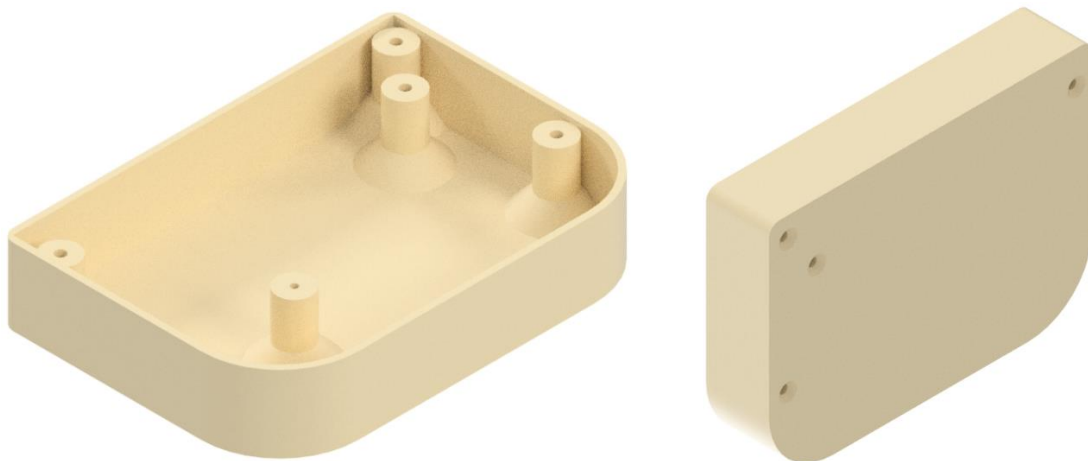


Figure 81: boîtier inférieur – contrôleur

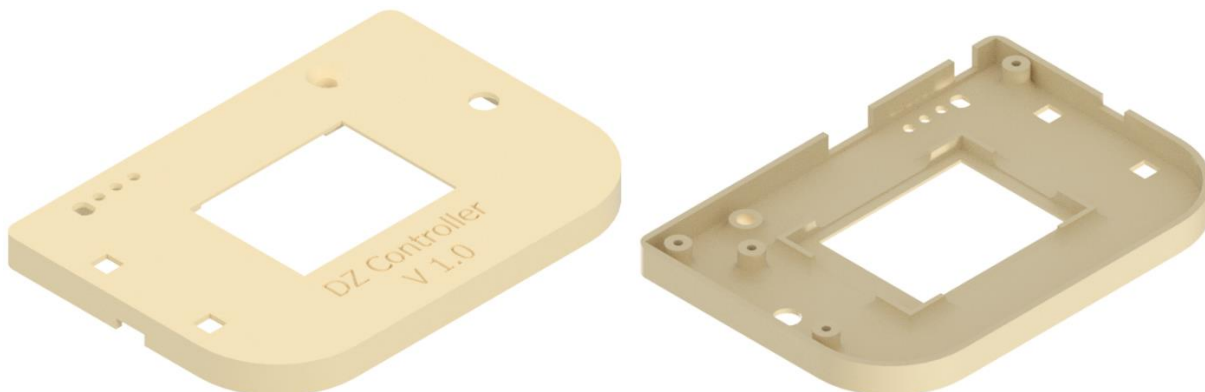


Figure 82: boîtier supérieur – contrôleur

Le boîtier supérieur accueille un emplacement pour l'écran, les trous pour les deux boutons ainsi que l'encodeur.

Les trois LEDs de statut de charge sont présentes au côté du capteur de luminosité.

On peut lire sur la face avant le nom du module, et similaire au module « LEDs et buzzer » un tube guide le son vers l'extérieur.

Un morceau de mousse est inséré entre l'écran et l'électronique pour éviter les courts-circuits et maintenir l'écran en place.

Le boîtier est maintenu par 4 vis traversant le PCB. Un montant hors du PCB (dans la partie vide du boîtier) est nécessaire à l'ajout pour un bon maintien du circuit.

### Coût

Le boîtier test est imprimé sur une machine SLS en PLA noir.

Un coût potentiel chez un professionnel local - <https://a-printer.ch/pièces/> :

*Impression : 20.- de prise en charge puis entre 0.50 et 1.- CHF le gramme  
selon la matière et la complexité*

Avec l'ensemble estimé à 92 [g] (Ultimaker Cura 4.6), le prix de revient est de 66 CHF à 112 CHF.

## 8.6. Coût total et production

Le coût total (bas) des boîtiers faits en impression SLS selon le fournisseur cité plus haut, pour 5 cibles, 5\*2 modules et 1 contrôleur s'élèverait donc à 638.5 .-, coût bien trop important comparé au reste du système.

Une fois le boîtier confirmé en impression 3D, il serait plus intéressant de partir sur une série basée sur du moulage/injection plastique. En plus de nécessiter moins de post-traitement, le rendu est uniforme et inspire plus confiance à l'utilisateur final.

**Aucun devis** n'ayant été demandé, il est impossible de donner une estimation du prix final.

**Aucun usinage** n'ayant été effectué pour la fabrication des pièces de test (impression 3D et post-traitement uniquement), aucun plan des pièces n'est réalisé.

## 8.7. Ensemble de test

Pour le test, un contrôleur, 5 cibles, 3 détecteurs de mouvements et 5 modules LEDs ont été fabriqués :



Figure 83: ensemble de test



## **9. Conclusion**

### **9.1. Objectifs et complétion**

Le meilleur moyen pour prouver le fonctionnement du système est d'en reprendre les grands axes. Le but était de concevoir un système de ciblerie.

Ce dernier est nomade, capable de fonctionner directement avec une batterie, comprenant une durée de jeu d'env. 16 [h], contre 112 [jours] en sommeil ; ou alors indéfiniment, relié au secteur au travers de blocs d'alimentation 5 [V].

Un contrôleur permet de régler les différentes options des jeux, bien qu'il soit possible de lancer rapidement les scénarios pré-enregistrés de partout avec un simple bouton.

En parlant de jeux, des scénarios simples (toutes les cibles s'allument) comme complexes (allumages séquencés avec utilisation de capteurs de présence) sont disponibles, pour convenir aux deux marchés visés – professionnel et divertissement.

Les cibles sont capables de détecter des impacts aussi faibles qu'une fléchette Nerf.

L'ancien câblage du mandant a permis la mise à l'épreuve, pendant une semaine, du système complet, passant haut la main les différents tests.

Avec quelques modifications apportées au boîtier pour intégrer la fixation par aimantation, le système est prêt à endurer des tests avec plus de cibles présentes.

### **9.2. Sentiment**

La conception de ce projet peut se résumer par 10 [%] de recherche et décision, 30 [%] de conception électronique et 60 [%] de programmation.

Au niveau électronique, moyennant une erreur corrigée sur la gestion de la batterie ainsi que d'incorrectes empreintes de composants, le système est fonctionnel et protégé de diverses façons (sur/sous-tension, hausse et baisse significative de température), écartant par conséquent de potentiels risques pour l'utilisateur final.

La programmation accueille quant à elle plusieurs principes efficaces (machines d'états, pseudo polymorphisme (par pointeurs de fonctions et transformations par pointeurs void)). La décomposition en couches et niveaux d'imbrication permet un code non-bloquant (hors graphismes), et ainsi un travail facilité en cas de reprise postérieure du projet.

### **9.3. Conclusion**

Avec tout ce qui a été dit, répondant en tous points au cahier des charges donné, et même préparé pour l'implantation de fonctions supplémentaires (sans-fil Wi-Fi, interface PC (USB), téléphone (Bluetooth)), je suis fier du travail effectué ainsi que de l'état final et fonctionnel du projet.

Lieu et date : \_\_\_\_\_

Signature : \_\_\_\_\_

## 10. Annexes

### 10.1. Ingénierie inverse – système G&G

### 10.2. Schémas actuels (contrôleur 1.1, cible 1.1, module led 1.0, module détecteur de présence 1.0)

### 10.3. Schémas datés (contrôleur 1.0, cible 1.0)

### 10.4. Guide d'utilisation

### 10.5. Tests de fonctionnement

### 10.6. Commande électronique effectuée

## 11. Bibliographie

- [1] Trainshot, « Smart Airsoft Targets », *Trainshot*. <https://www.trainshot.com/airsoft/> (consulté le mai 25, 2020).
- [2] AttackSense, « Active Target Systems », *AttackSense*. <https://www.attacksense.com/> (consulté le mai 25, 2020).
- [3] G&G, « M.E.T. Targets », <https://www.ggtdu.com/>. <https://www.ggtdu.com/accessories/met-unit/> (consulté le mai 25, 2020).
- [4] SteelAlive, « Smart Shooting Targets », *SteelAlive*. <https://steelalive.io/> (consulté le mai 25, 2020).
- [5] Train2Shoot, « The Trainshot smart shooting target system », *Train2Shoot*. <http://www.train2shoot.com/> (consulté le mai 25, 2020).
- [6] Wikipédia, « g (accélération) », *Wikipédia*. avr. 25, 2020, Consulté le: mai 28, 2020. [En ligne]. Disponible sur: [https://fr.wikipedia.org/w/index.php?title=G\\_\(acc%C3%A9l%C3%A9ration\)&oldid=170005573](https://fr.wikipedia.org/w/index.php?title=G_(acc%C3%A9l%C3%A9ration)&oldid=170005573).
- [7] NXP, « MMA8652FC », p. 65.
- [8] Microchip, « MCP73833 », p. 32, 2009.
- [9] Diodes Inc, « AP9101C ». <https://www.diodes.com/assets/Datasheets/AP9101C.pdf> (consulté le août 13, 2020).
- [10] Diodes Inc, « DMG9926UDM ». <https://www.diodes.com/assets/Datasheets/ds31770.pdf> (consulté le août 13, 2020).
- [11] muRata, « NCP15XH103J03RC ». <https://www.murata.com/en-us/api/pdfdownloadapi?cate=luNTCforTempeSenso&partno=NCP15XH103J03RC> (consulté le juin 01, 2020).
- [12] muRata, « NCP15XH ». <https://www.murata.com/en-us/api/pdfdownloadapi?cate=&partno=NCP15XH103F03RC> (consulté le août 11, 2020).
- [13] Diodes Inc, « AP7363 ». <https://www.diodes.com/assets/Datasheets/AP7363.pdf> (consulté le août 11, 2020).
- [14] Maxim Integrated, « MAX3051 », p. 13.
- [15] « AND8169-D.pdf », *ON Semiconductor*. <https://www.onsemi.com/pub/Collateral/AND8169-D.PDF> (consulté le mai 26, 2020).
- [16] Microchip, « dsPIC33EP ». <https://ww1.microchip.com/downloads/en/DeviceDoc/70000689d.pdf> (consulté le août 11, 2020).
- [17] Geyer Electronic, « Comparison\_of\_Crystal\_Oscillator\_and\_MEMS\_Oscillator.pdf », [www.geyer-electronic.de/](http://www.geyer-electronic.de/). [https://www.geyer-electronic.de/fileadmin/user\\_upload/frequenz/service/Comparison\\_of\\_Crystal\\_Oscillator\\_and\\_MEMS\\_Oscillator.pdf](https://www.geyer-electronic.de/fileadmin/user_upload/frequenz/service/Comparison_of_Crystal_Oscillator_and_MEMS_Oscillator.pdf) (consulté le juin 04, 2020).
- [18] ECS Inc, « ECS-5032MV », p. 2.
- [19] FTDI, « FT230X ». [https://www.ftdichip.com/Support/Documents/DataSheets/ICs/DS\\_FT230X.pdf](https://www.ftdichip.com/Support/Documents/DataSheets/ICs/DS_FT230X.pdf) (consulté le août 11, 2020).
- [20] R. Arora, « I2C Bus Pull-Up Resistor Calculation », p. 5, 2015.
- [21] « HC-SR501 ». <https://www.mpja.com/download/31227sc.pdf> (consulté le août 11, 2020).
- [22] Techgurka, « TechGurka: Cheap Pyroelectric Infrared PIR Motion Sensor on 3.3v », *TechGurka*, mai 07, 2013. <https://techgurka.blogspot.com/2013/05/cheap-pyroelectric-infrared-pir-motion.html> (consulté le juin 01, 2020).
- [23] I. Bourns, « PEC12R – 12 mm Incremental Encoder », p. 5.
- [24] E-Switch, « JN2UOANAGX ». [http://spec\\_sheets.e-switch.com/specs/P200000.pdf](http://spec_sheets.e-switch.com/specs/P200000.pdf) (consulté le août 11, 2020).
- [25] Newhaven Display, « NHD-2.4-240320CF-CSXN ». <http://www.newhavendisplay.com/specs/NHD-2.4-240320CF-CSXN-F.pdf> (consulté le août 11, 2020).
- [26] Texas Instrument, « Controller Area Network Physical Layer Requirements », p. 15, 2008.
- [27] Microchip, « Enhanced Controller Area Network (ECAN™) », [www.microchip.com](http://www.microchip.com). <http://ww1.microchip.com/downloads/en/devicedoc/70353c.pdf> (consulté le juin 16, 2020).
- [28] Microchip, « AN1095 », p. 18.

# **Tables des matières et illustrations**

## **12. Table des matières**

1.	Introduction .....	1
1.1.	Contexte.....	1
1.2.	But .....	1
2.	Planning de travail.....	2
3.	Analyse concurrentielle.....	3
3.1.	Concurrents directs .....	3
3.2.	Concurrents proches .....	6
4.	Electronique – Analyse des solutions.....	8
4.1.	Caractéristiques recherchées.....	8
4.2.	Analyse de concurrent .....	8
4.3.	Système nomade .....	10
4.4.	Bus de communication .....	12
4.5.	Détection du tir .....	14
4.6.	Indicateurs sensoriels.....	17
4.7.	Détecteur de présence .....	18
4.8.	Format du contrôleur de jeu.....	19
4.9.	Autres éléments .....	21
5.	Electronique – Développement .....	22
5.1.	Gestion de la batterie .....	22
5.2.	Mesure de la batterie.....	26
5.3.	Conversion de tension .....	26
5.4.	Communication CAN .....	27
5.5.	Connecteurs .....	28
5.6.	Bouton externe – antirebond.....	29
5.7.	Microcontrôleur .....	29
5.8.	Oscillateur.....	30
5.9.	Debug sériel .....	30
5.10.	LEDs de debug.....	30
5.11.	Accéléromètre et I2C .....	31
5.12.	Capteur de présence .....	31
5.13.	RGB .....	32
5.14.	Encodeur rotatif / boutons – antirebonds .....	33
5.15.	Ecran .....	34
5.16.	Schémas .....	34

5.17.	Cartes 1.0 .....	35
6.	Logiciel.....	36
6.1.	Analyse et diagrammes.....	36
6.2.	Spécifications et algorithmes - communs .....	46
6.3.	Spécifications et algorithmes – cible .....	54
6.4.	Spécifications et algorithmes – contrôleur .....	55
6.5.	Jeux et logiques .....	57
7.	Système final .....	61
7.1.	Tests.....	61
7.2.	Consommation.....	61
7.3.	Ecrans de jeu.....	62
8.	Boitiers .....	64
8.1.	Principe .....	64
8.2.	Boitier cible .....	64
8.3.	Module détecteur de présence .....	66
8.4.	Module LEDs et Buzzer .....	67
8.5.	Contrôleur .....	68
8.6.	Coût total et production .....	69
8.7.	Ensemble de test .....	69
9.	Conclusion.....	70
9.1.	Objectifs et complétion.....	70
9.2.	Sentiment.....	70
9.3.	Conclusion .....	70
10.	Annexes.....	71
10.1.	Ingénierie inverse – système G&G .....	71
10.2.	Schémas actuels (contrôleur 1.1, cible 1.1, module led 1.0, module détecteur de présence 1.0).....	71
10.3.	Schémas datés (contrôleur 1.0, cible 1.0) .....	71
10.4.	Guide d'utilisation .....	71
10.5.	Tests de fonctionnement .....	71
10.6.	Commande électronique effectuée.....	71
11.	Bibliographie.....	71
12.	Table des matières .....	78

## Illustrations

Figure 1: logo DefcomZone .....	1
Figure 2: Planning .....	2
Figure 3: cible TrainShot.....	3
Figure 4: cible AttackSense.....	4
Figure 5: cibles G&G .....	5
Figure 6: cible SteelAlive avec module LED.....	6
Figure 7: cible Train2Shoot.....	7
Figure 8: système M.E.T .....	8
Figure 9: Net Topology .....	9
Figure 10: fonctionnement du capteur G&G M.E.T .....	9
Figure 11: Alimentation du système .....	10
Figure 12: courbe de charge Li-Ion.....	11
Figure 13: Schéma test pour piezo .....	15
Figure 14: Piezo nu .....	15
Figure 15: courbes de réponse du piezo .....	15
Figure 16: Schéma test pour accéléromètre .....	16
Figure 17: Accélération dus aux tirs .....	16
Figure 18: Focaliseur pour LEDs .....	17
Figure 19: Clavier matriciel .....	19
Figure 20: Représentation du contrôleur.....	20
Figure 21: topologie Mesh .....	21
Figure 22: batterie 18650 .....	22
Figure 23: représentation du circuit de protection de batterie.....	22
Figure 24: mesure sur shunt .....	24
Figure 25: principe du capteur à réflexion .....	25
Figure 26: connecteurs JST XH vs JAM SC.....	29
Figure 27: courant fournit/tiré par une entrée-sortie .....	30
Figure 28: fonctionnement système PIR .....	31
Figure 29: circuit antirebonds pour encodeur rotatif.....	33
Figure 30: LCD à lignes .....	34
Figure 31: LCD graphique .....	34
Figure 32: PCB cible 1.0 .....	35
Figure 33: PCB contrôleur 1.0 .....	35
Figure 34: PCB module détecteur de présence 1.0 .....	35
Figure 35: PCB module Led et Buzzer 1.0 .....	35
Figure 36: composants du contrôleur .....	36
Figure 37: composants de la cible et de ses modules .....	37
Figure 38: possibilité utilisateur - contrôleur .....	38
Figure 39 : possibilités utilisateur – cible.....	38
Figure 40: machine d'état – cible.....	40
Figure 41: écrans du contrôleur.....	41
Figure 42: distribution dans les niveaux imbriqués - contrôleur.....	41
Figure 43: machine globale - contrôleur .....	42
Figure 44: machine d'états - jeux.....	43
Figure 45: couches logicielles .....	44



Figure 46: événements système.....	45
Figure 47: trame CAN basique.....	46
Figure 48: trame CAN étendue .....	46
Figure 49: commandes CAN de détection et de contrôle.....	47
Figure 50: commandes CAN de définition de la cible .....	48
Figure 51: commandes CAN de déplacement d'état de la cible .....	49
Figure 52: commandes CAN pour bouton extérieur .....	49
Figure 53: commandes CAN d'état de la cible .....	50
Figure 54: commandes CAN de son .....	50
Figure 55: commande CAN de test .....	51
Figure 56: filtres et masques pour bus CAN .....	51
Figure 57: principe du buffer circulaire .....	52
Figure 58: Li-Ion courbe de décharge .....	53
Figure 59: signaux d'un module QEI.....	55
Figure 60: écrans de fin parcours, aléatoires, bombe .....	57
Figure 61: écran de fin parcours + capteur .....	57
Figure 62: écran de fin bombe - jeu raté .....	57
Figure 63: écran de fin "par pièces", avec une pièce détectée .....	58
Figure 64: écran de fin duel (arbre).....	58
Figure 65: écran de fin duel (rapidité).....	58
Figure 66: menu d'accueil et menu des jeux .....	62
Figure 67: options et liste des cibles .....	63
Figure 68: changement d'une adresse et effaçage des scores .....	63
Figure 69: options d'un jeu et lancement.....	63
Figure 70: en jeu et fin de jeu.....	63
Figure 71: ensemble - cible .....	64
Figure 72: boîtier inférieur - cible .....	64
Figure 73: boîtier supérieur – cible .....	65
Figure 74: ensemble - détecteur de présence.....	66
Figure 75: boîtier inférieur - détecteur de présence .....	66
Figure 76: boîtier supérieur - détecteur de présence .....	66
Figure 77: ensemble - leds et buzzer .....	67
Figure 78: boîtier inférieur - leds et buzzer.....	67
Figure 79: boîtier supérieur - leds et buzzer.....	67
Figure 80: ensemble – contrôleur.....	68
Figure 81: boîtier inférieur – contrôleur.....	68
Figure 82: boîtier supérieur – contrôleur.....	68
Figure 83: ensemble de test.....	69

## Tableaux

Tableau 1: TrainShot - caractéristiques.....	3
Tableau 2: AttackSense - caractéristiques.....	4
Tableau 3: M.E.T - caractéristiques .....	5
Tableau 4: SteelAlive - caractéristiques .....	6
Tableau 5: Train2Shoot - caractéristiques.....	7
Tableau 6: Courants potentiels d'une cible.....	10
Tableau 7: Courants potentiels du contrôleur.....	10
Tableau 8: Comparatif de l'alimentation du système sur secteur .....	11
Tableau 9: Comparatifs des bus sériels pour la communication .....	12
Tableau 10 : Solutions pour la détection de l'impact .....	14
Tableau 11: Solutions pour le son .....	18
Tableau 12: Solutions pour la détection de mouvement .....	18
Tableau 13: consommation du système sur secteur .....	61
Tableau 14: consommation du système sur batterie.....	61
Tableau 15: courants de sommeil.....	61

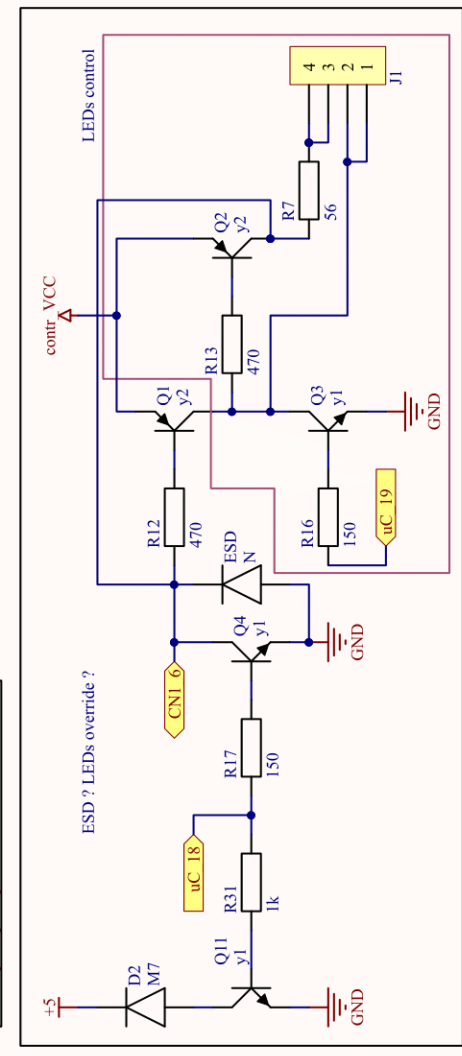
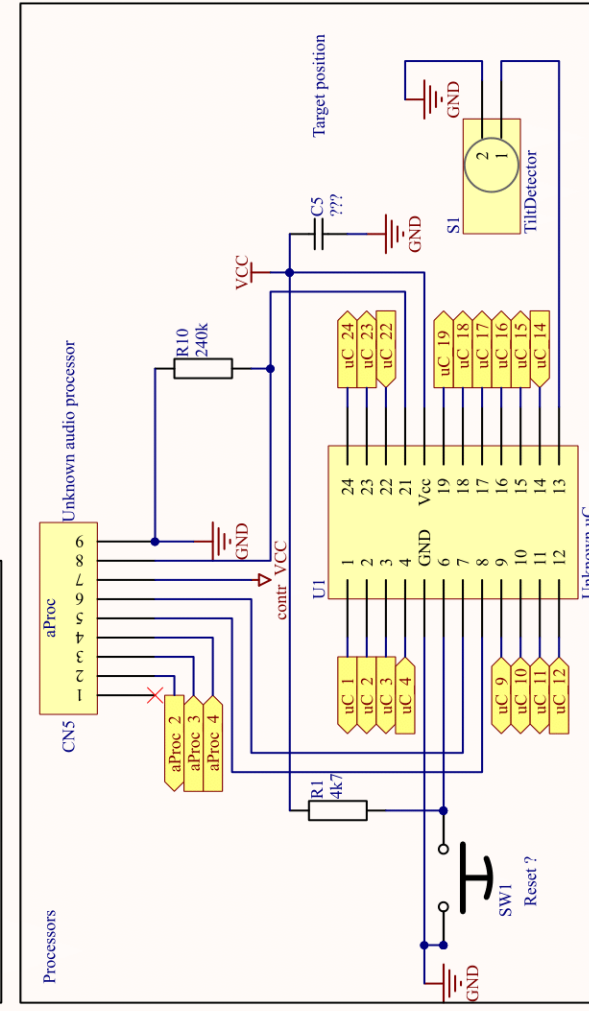
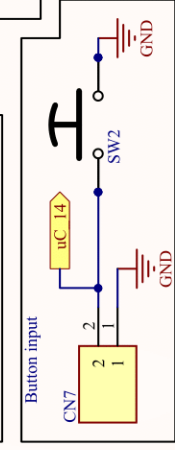
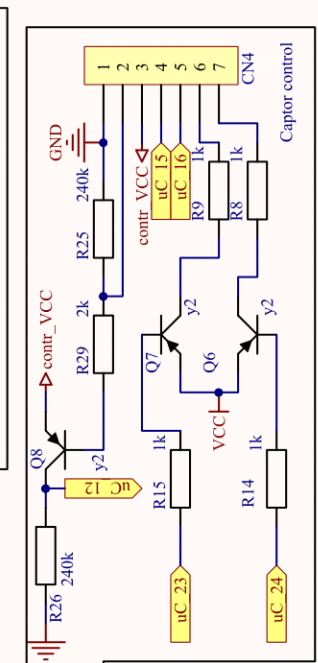
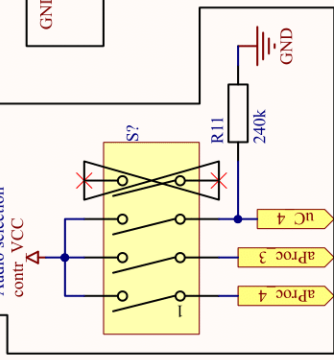
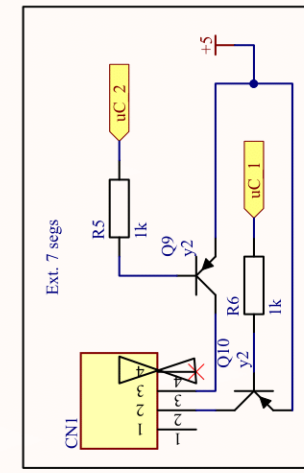
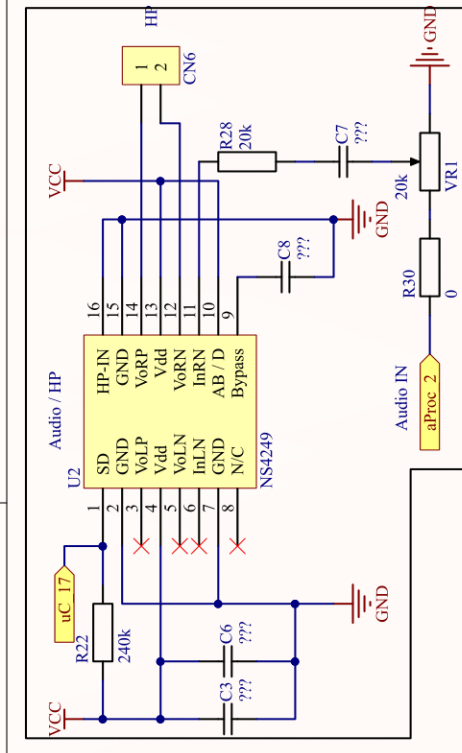
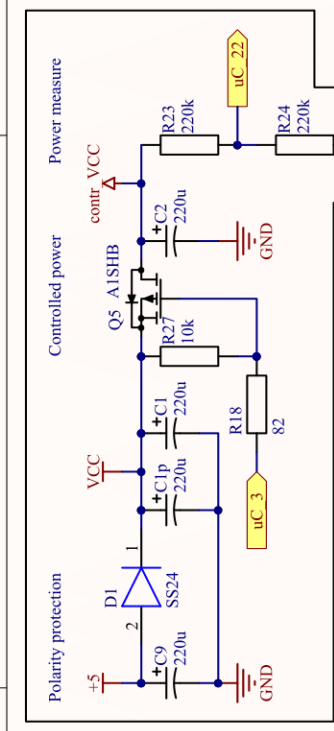
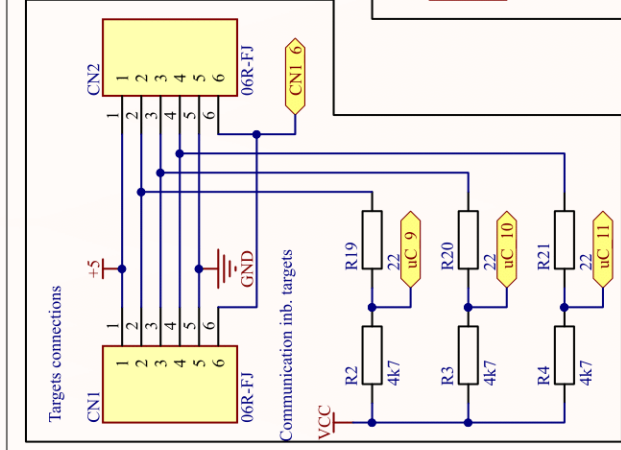
## Equations

Équation 1: Force du projectile à l'impact.....	14
Équation 2: courant de charge de la batterie .....	22
Équation 3: Valeur de thermistance .....	23
Équation 4: Pont de résistance pour thermistance.....	23
Équation 5: Nombre de nœuds sur bus CAN .....	28
Équation 6: PullUp I2C minimale .....	31
Équation 7: PullUp I2C maximale .....	31
Équation 8: résistance des LEDs .....	32
Équation 9: temps d'anti-rebonds .....	33
Équation 10: nombre de frame par seconde pour bus CAN.....	46
Équation 11: durée de vie effective de l'EEPROM émulée en flash.....	53

# **ANNEXES**

# **ANNEXE 10.1**

**Ingénierie inverse – système G&G**



Title		G&G M.E.T Reverse Engineering	
Size:	A4	Number:	Revision: 1.0
Date:	11.08.2020	Time:	15:44:01
File:	D:\Documents\OneDrive\HESOV\B Smart Target - General\02 PCBs\01 MET Reverse Engineering\MET RevEng\Schem	Sheet 1 of 1	

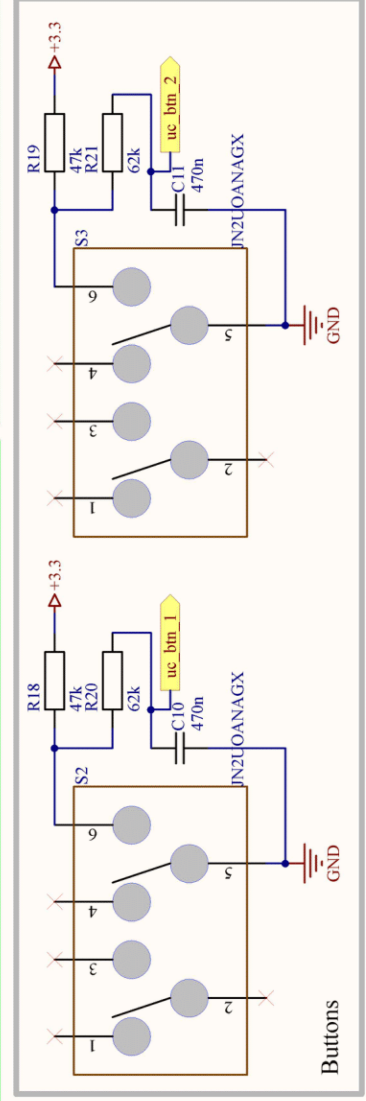
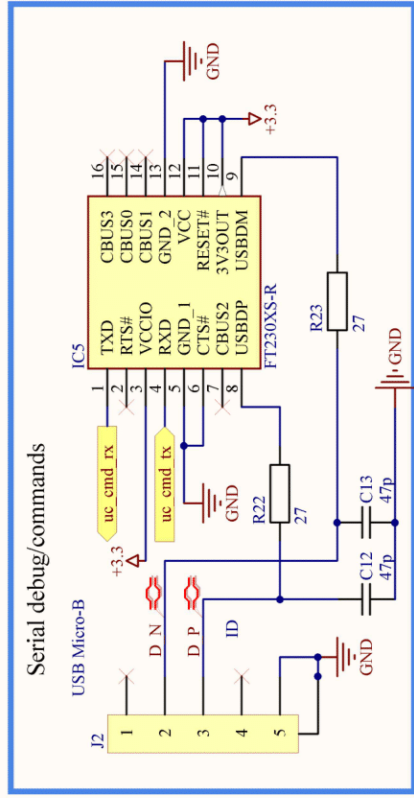
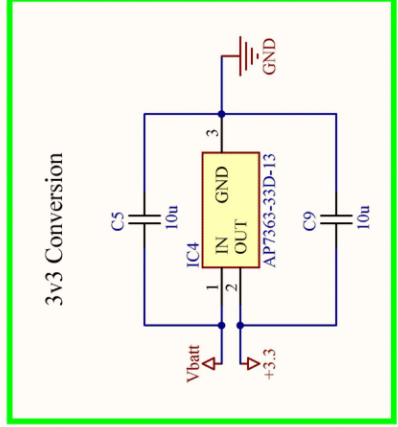
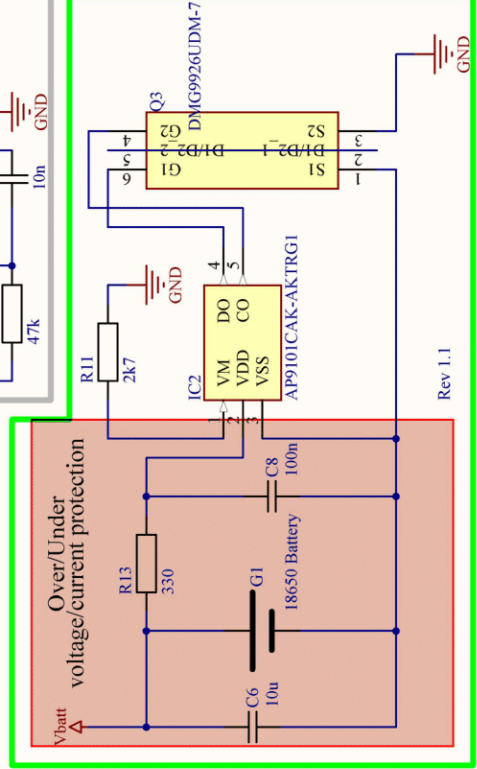
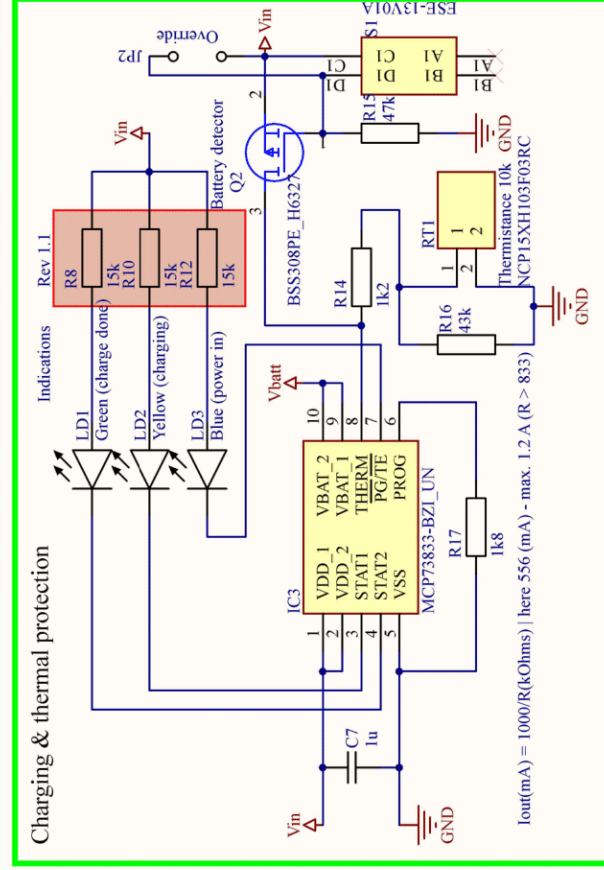
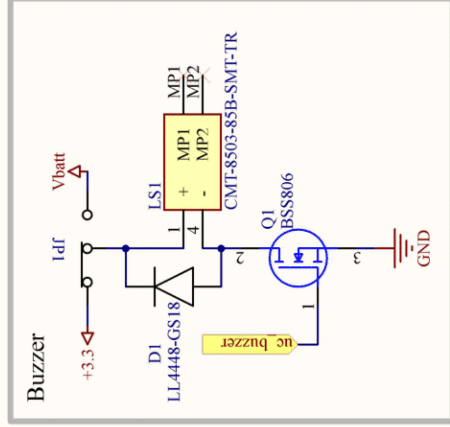
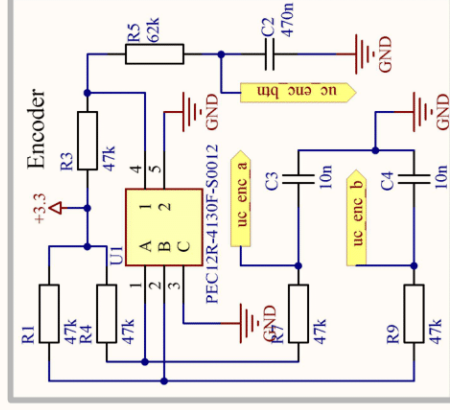
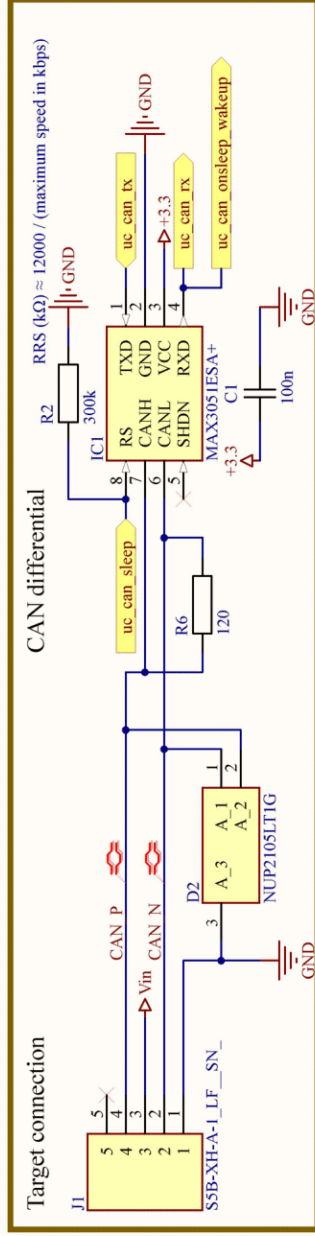


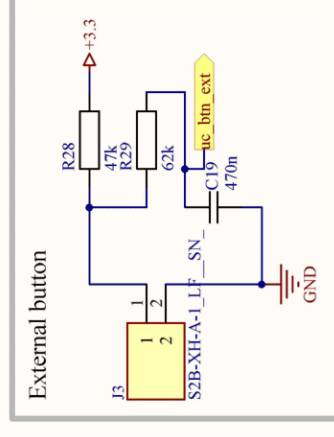
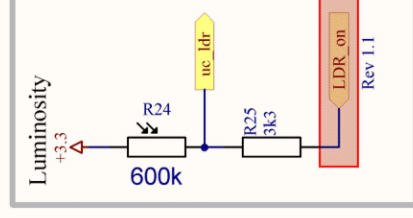
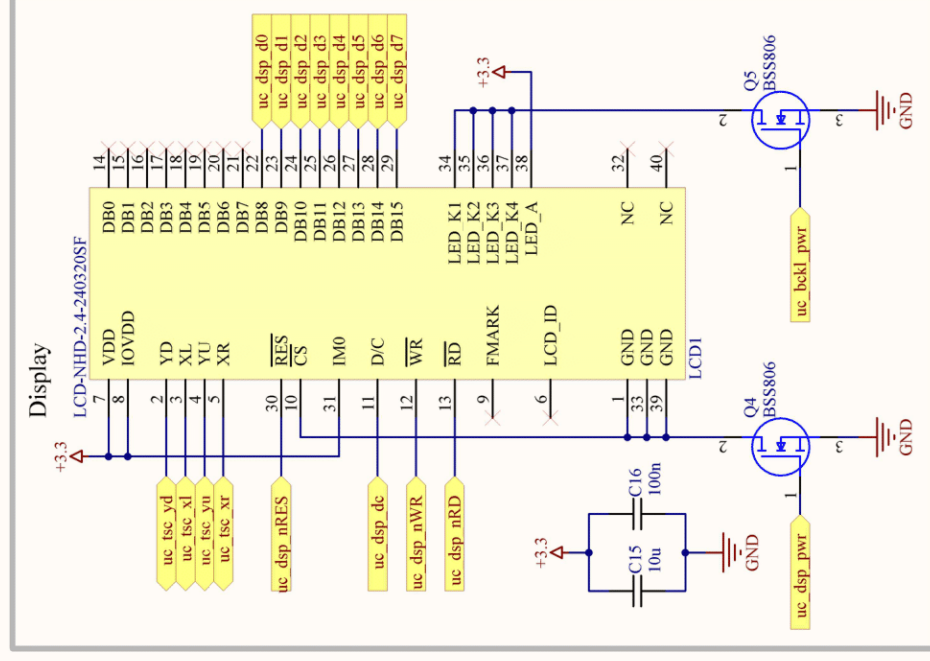
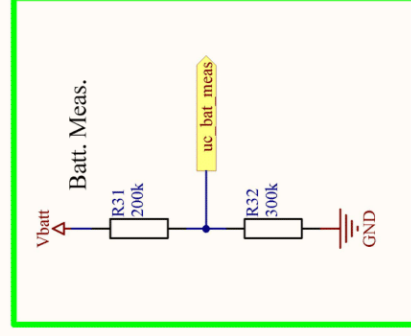
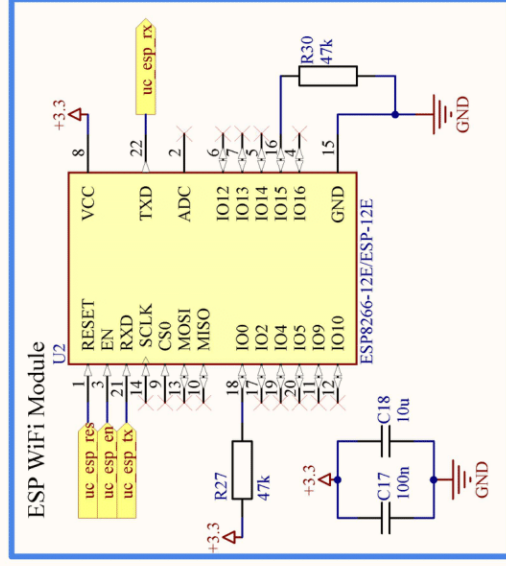
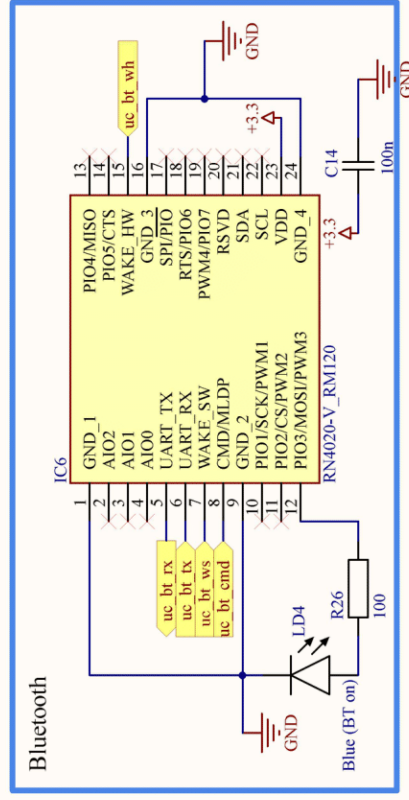
# **ANNEXE 10.2**

**Schémas actuels (contrôleur 1.1, cible 1.1,  
module led 1.0, module détecteur de présence**



# **Contrôleur 1.1**



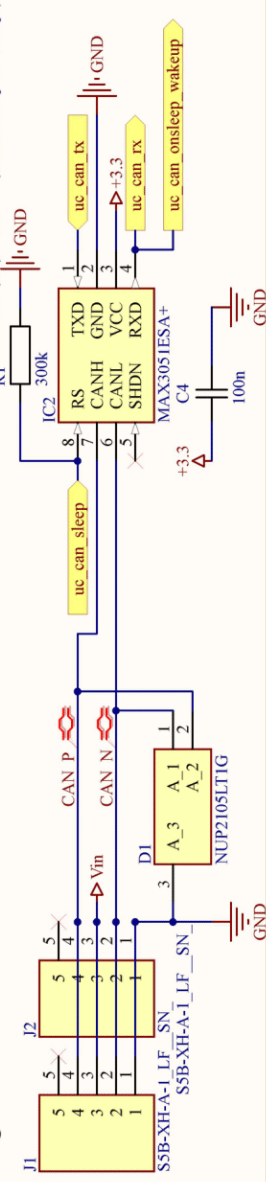




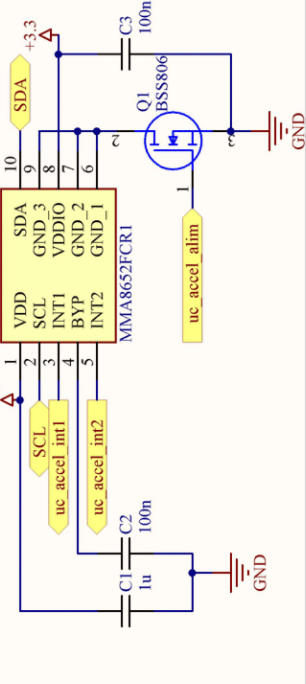
# **Cible 1.1**



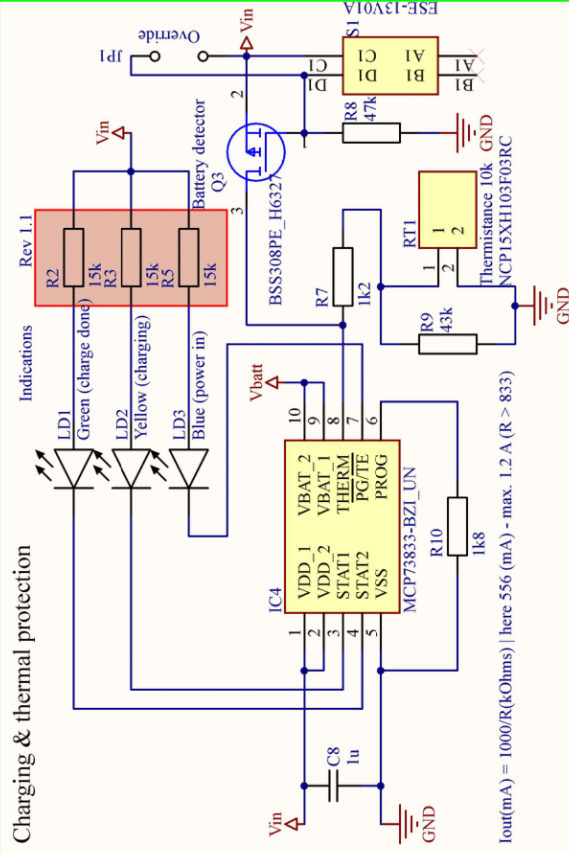
## Target connection



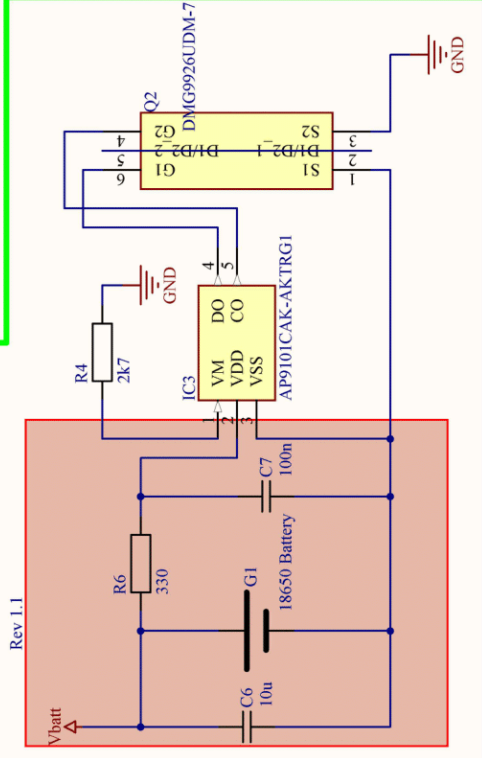
## Accelerometer



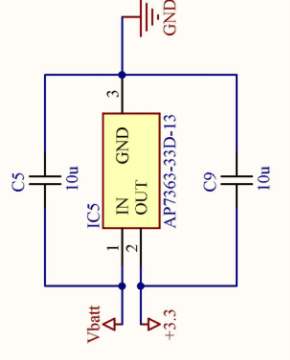
## Charging &amp; thermal protection



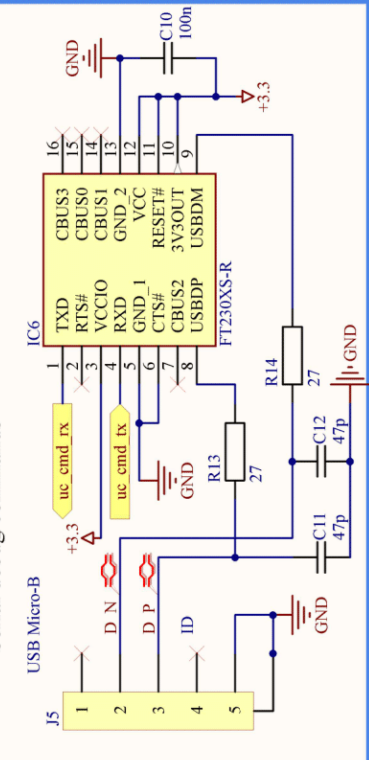
## Over/Under voltage/current protection



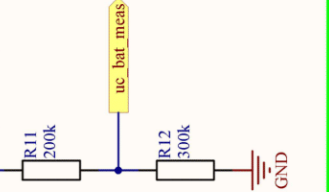
## 3v3 Conversion



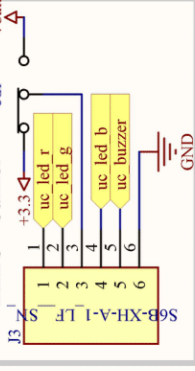
## Serial debug/commands



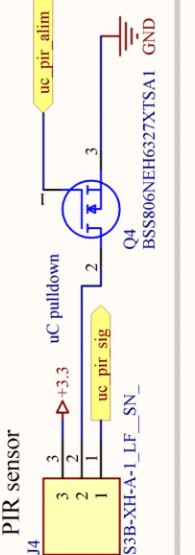
## Batt. Meas.



## LEDs + buzzer



## PIR sensor



## Title STTS Target

Size: A4	Number: TAR_SCH	Revision: 1.1
Date: 11.08.2020	Time: 12:23:32	Sheet 1 of 2
File: D:\Documents\OneDrive\HESOV\TB Smart Target - General\02_PCBs\03_STTS\09_Targets_1.1\Targets_p1_SchDoc		

For DefcomZone

From HEI PS

Auth: Amad Axel



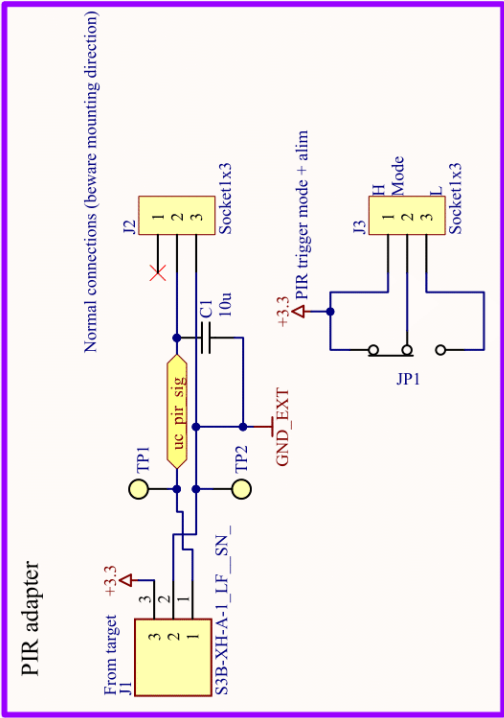


# **Module LED et buzzer**

## **1.0**



# **Module détecteur de présence 1.0**



- M1  
M3 screw
- M2  
M3 screw
- M3  
M3 screw
- M4  
M3 screw

Title <b>STTS PIR module</b>		For DeJcomZone	
Size: <b>A4</b>	Number: <b>PIR_SCH</b>	Revision: <b>1.0</b>	From HE1 P/S
Date: <b>11.08.2020</b>	Time: <b>12:42:03</b>	Sheet <b>1</b> of <b>1</b>	Auth : <i>Anand Axel</i>
File: <b>D:\Documents\OneDrive\HES\OTB Smart Target - General\02_PCBs\03_STTS\05_IRDetector 1.0\irdetector p1.SchDoc</b>			



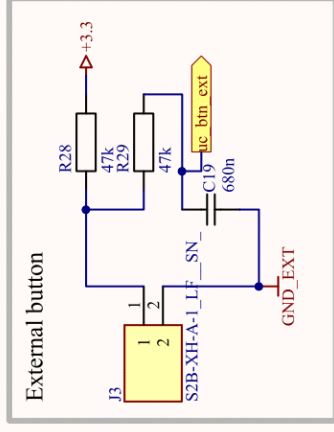
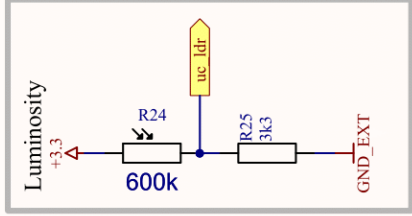
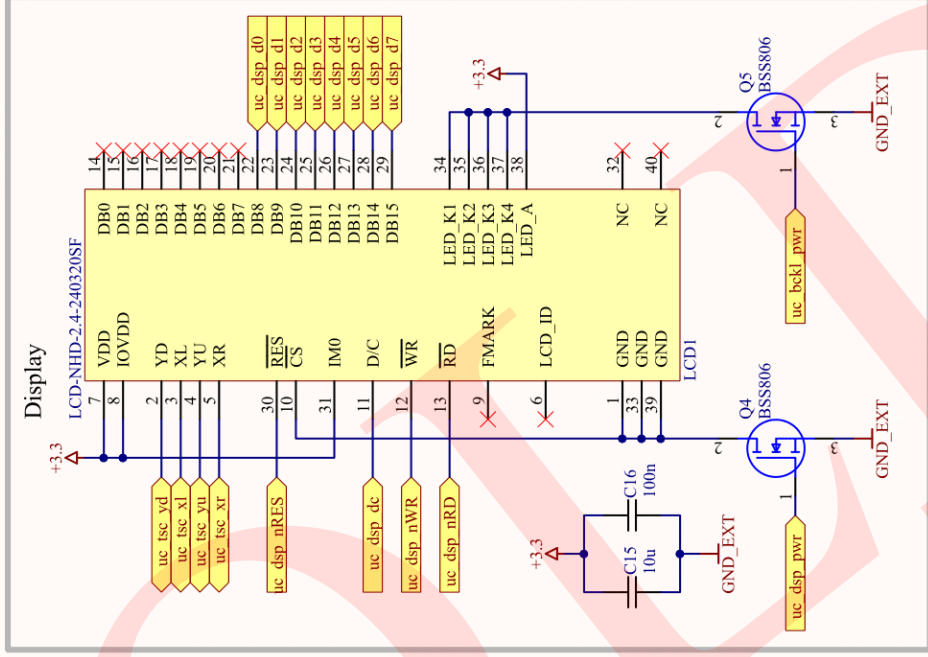
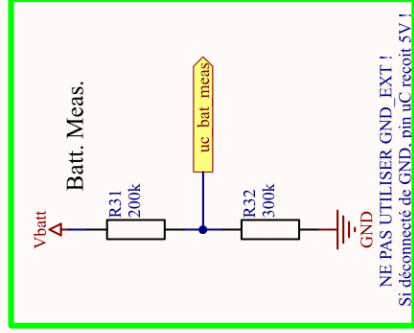
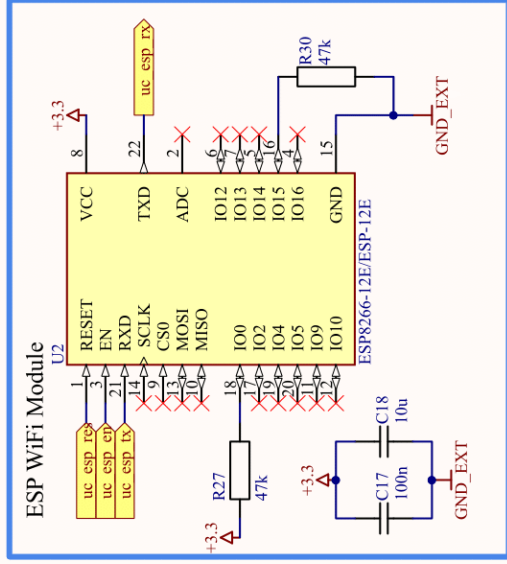
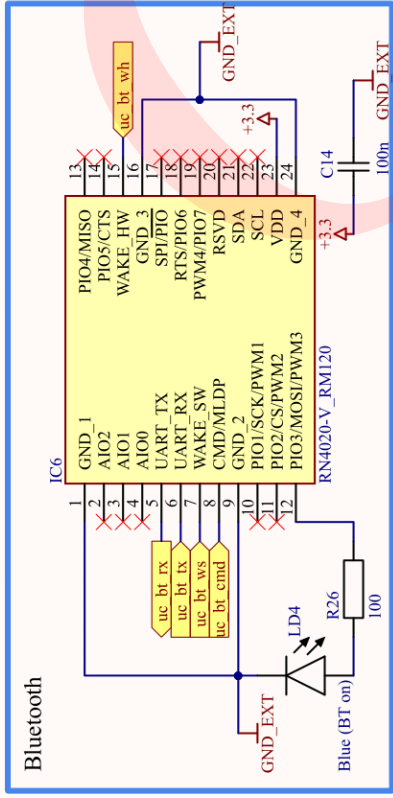
# **ANNEXE 10.3**

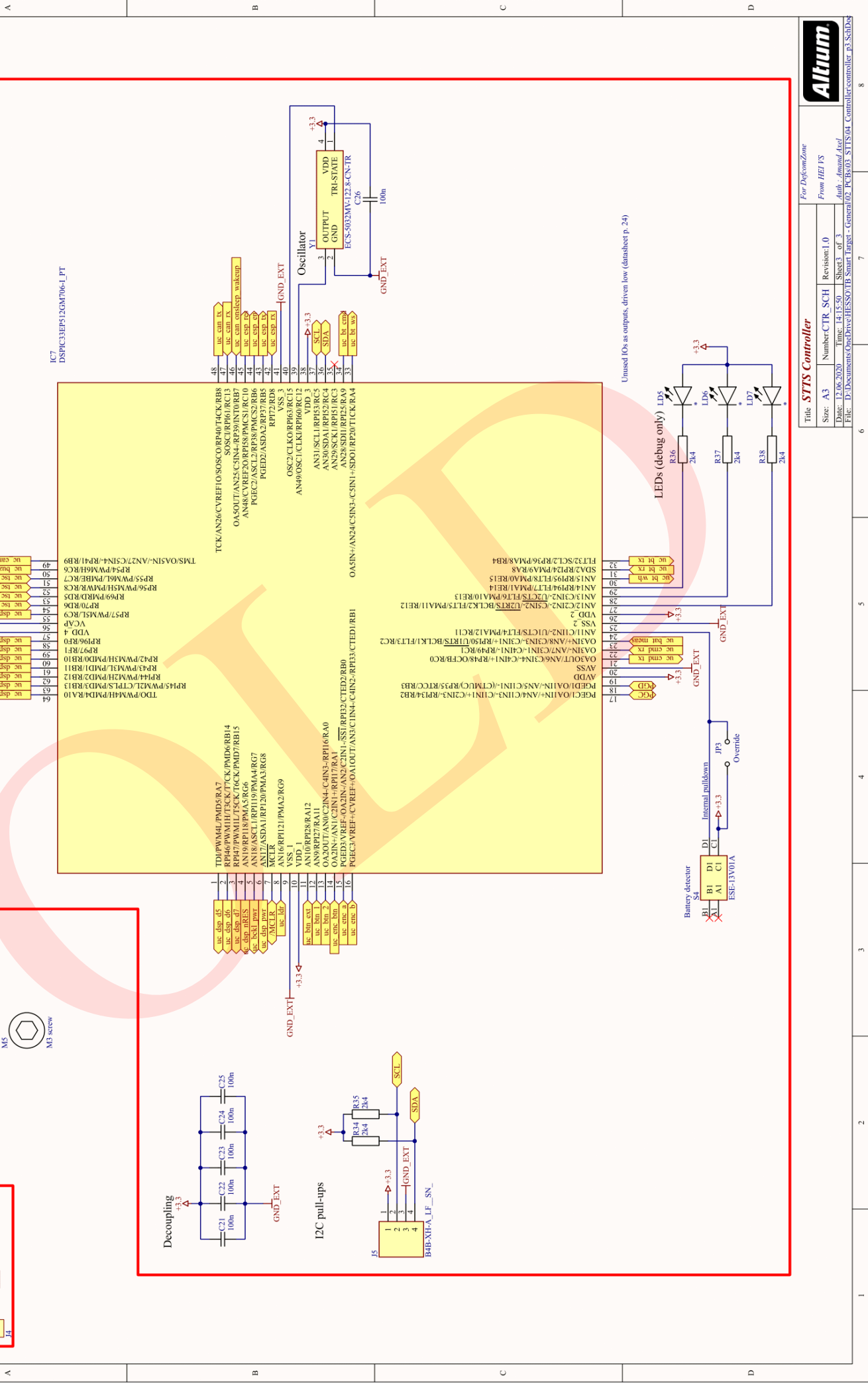
**Schémas datés (contrôleur 1.0, cible 1.0)**

**Contrôleur 1.0**



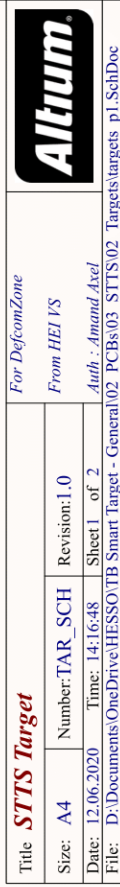






**Cible 1.0**







# **ANNEXE 10.4**

## **Guide d'utilisation**



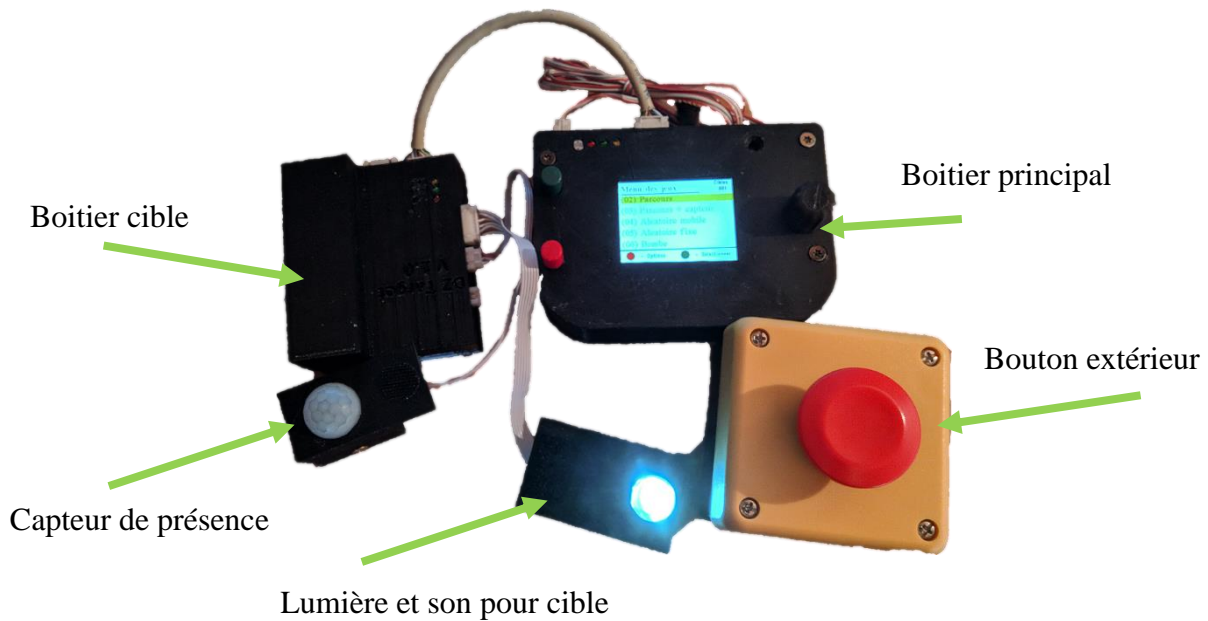
## Guide d'utilisation – système STTS – rév. 1.0

### Aperçu

Le système STTS – **S**mart **T**arget **T**rainer **S**ystem – est un complet de ciblerie pour le divertissement ou l'entraînement.

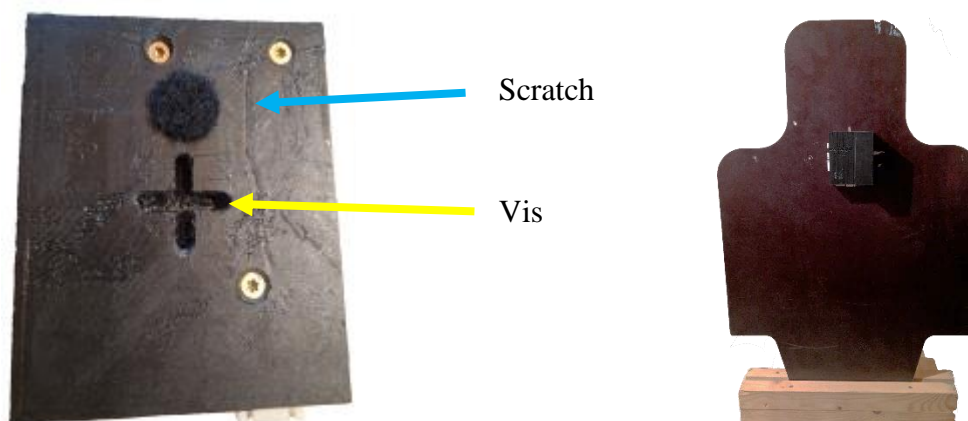
Le système s'adapte sur tout type de cibles, fonctionnant des Nerfs à la SiMunition, en fixant simplement le boîtier sur la cible voulue.

Chaque cible possède lumière, son, ainsi que la possibilité d'utiliser un détecteur de présence pour vous mettre sous pression.

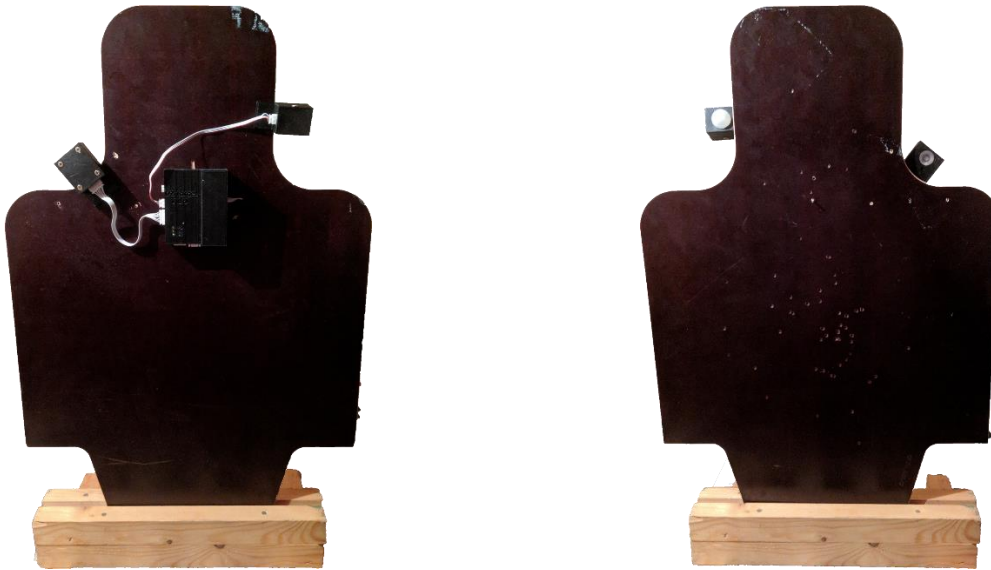


### Mise en route

Fixer les boîtiers « target » sur les supports sélectionnés (cible en bois, carton, plexiglass ...), à l'aide de scratch ou de vis qui s'encastrent dans le boîtier :



Placer les lumières à l'endroit voulu, et les relier à la cible sur le connecteur 6 positions.  
Si utilisé, fixer le capteur de présence et le relier à l'aide du câble 3 positions :



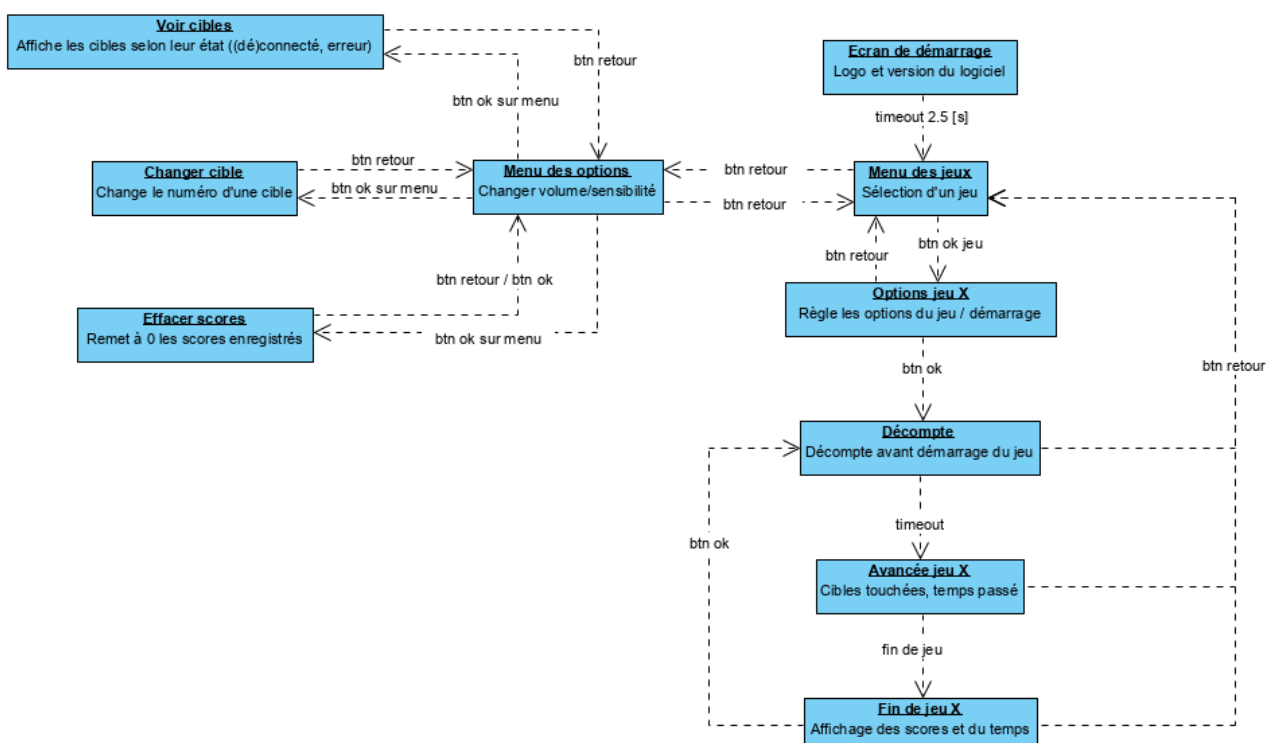
Relier les cibles entres-elles, puis au contrôleur, avec les câbles 5 positions.  
Si nécessaire, relier les alimentations pour utiliser le système sur secteur / mettre en charge.

## Manipulation

Si le contrôleur est éteint, appuyer sur n'importe quel bouton ou tourner la molette le réveillera. Vous arriverez sur le menu des jeux.

Sous le menu options, il est possible de voir les cibles, changer une cible d'adresse, effacer les scores enregistrés, ou régler le son et la sensibilité des cibles.

Pour lancer un jeu, il suffit de le sélectionner et presser le bouton OK, régler les options, et lancer le jeu. Les options sont enregistrées une fois réglées, permettant de relancer le jeu rapidement. Les différents écrans sont les suivants :



## **Liste des jeux**

Les jeux et leurs options sont les suivants :

### **(02) Parcours**

Le parcours est le jeu de base. Toutes les cibles sont allumées, à vous de créer un parcours physique pour jouer.

Vous pouvez y régler la couleur d'attente (lorsque la cible n'est pas en train de jouer), la couleur allumée (lorsque la cible attends d'être touchée), la couleur une fois touchée, ainsi que le temps de jeu maximum. Si ce temps est dépassé, les scores ne sont pas enregistrés.

Le jeu se termine lorsque toutes les cibles sont touchées, ou le temps réglé dépassé.

### **(03) Parcours + capteur**

Le parcours, avec les capteurs enclenchés. Toutes les cibles sont allumées, à vous de créer un parcours physique pour jouer. Si vous êtes repérés par une cible et ne la touchez pas à temps, un malus sera compté.

Vous pouvez y régler les mêmes options que précédemment, en plus de la couleur capteur (lorsque la cible clignote quand elle vous a repéré), le temps de clignotement correspondant, et le type de fin de jeu.

Le jeu peut se terminer lorsque toutes les cibles sont touchées, le bouton appuyé, ou une cible spécifique touchée. Pour ces deux derniers choix, si des cibles n'ont pas été touchées, un malus sera compté.

### **(04) Aléatoire mobile**

La cible à toucher change chaque tant de temps. Le but est de toutes les toucher le plus rapidement possible, avec la difficulté de repérer la cible allumée.

Les couleurs peuvent être réglées, en plus du temps qu'une cible reste allumée, du temps de jeu, ainsi que du nombre de cibles allumées simultanément.

Le jeu s'arrête une fois toutes les cibles touchées, ou le temps réglé dépassé.

### **(05) Aléatoire fixe**

Semblable à l'aléatoire mobile, mais la cible ne change pas automatiquement. Elle attend d'être touchée.

### **(06) Bombe**

Le mode bombe ressemble fortement à l'aléatoire fixe, mais rater la cible dans le temps indiqué met fin au jeu.

### **(07) Par pièces**

Le mode par pièces simule l'entrée successive dans des pièces, allumant un nombre prédéfini de cibles simultanément.

Les couleurs peuvent être réglées, ainsi que le temps de jeu et le nombre de cibles par pièces.

*Pour ces dernières, le principe est comme suit (exemple avec 4 cibles par pièces) :*

*cibles 1-2-3-4 s'allument, lorsque touchées 5-6-7-8 s'allument, 9-10-11-12 ...*

*Si la cible X n'existe pas, pas de problème ! Imaginons que la cible 3 n'existe pas, la première pièce allumera les cibles 1-2-4, suivront 5-6-7-8 ...*

*De même si une salle entière ne contient pas de cibles, elle sera sautée.*

*Il est dès lors possible d'imaginer plein de scénarios !*

Le jeu se termine lorsque toutes les cibles ont été touchées.

### **(08) Par pièces + capteur**

Comme précédemment, avec les capteurs activés. Si une cible vous repère et vous ne la touchez pas à temps, toutes les cibles de la pièce changeront de couleur, et un malus sera compté.

Il est aussi possible de régler le temps de détection, ainsi que la fin de jeu : bouton ou toutes les cibles touchées.

Si utilisé avec le bouton, des cibles ratées seront comptées comme malus.

### **(09) Duel (arbre)**

Le but de ce mode est de mettre en compétition deux joueurs, en allumant des cibles de deux couleurs, ces derniers devant les toucher le plus rapidement possible.

Il est possible de régler les couleurs pour les deux joueurs, ainsi que le nombre de cible et la cible de départ.

*Pour correctement configurer ce mode, les cibles du joueur 1 sont la cible indiquée dans le réglage, ainsi que toutes celles suivant en fonction du nombre de cibles réglées.*

*Par exemple, le nombre de cibles est de 3, la première cible du j1 est la 4 => cibles j1 : 4-5-6  
Cela fonctionne de la même manière pour le joueur 2.*

*Si les plages réglées s'entrechoquent (ex. j1 à les 3-4-5-6, et le j2 les 5-6-7-8), le système émettra un son d'erreur et le jeu ne sera pas lancé.*

Le jeu se termine lorsque toutes les cibles sont touchées, pour les deux joueurs. Le temps de chacun est comptabilisé et comparé pour définir le meilleur des deux.

### **(10) Duel (rapidité)**

Ce mode est simple : la première cible touchée met fin au jeu.

Il est ainsi possible de réaliser des concours de vitesses entre joueurs.

## **Accès rapide**

Il est possible de lancer les jeux rapidement (pour autant que les réglages soient bons, et qu'au moins une cible soit branchée).

Les numéros précédents, à gauche des noms des jeux, sont le nombre d'appuis nécessaires pour le lancer.

Il suffit, en tout temps (même pendant un jeu), d'appuyer ce nombre de fois sur le bouton extérieur, branché sur le boîtier principal ou sur une cible, ou faire de même avec la molette sur le boîtier principal.

## **Autre**

Le système se met en veille 3 minutes sans interaction de l'utilisateur, lorsqu'un jeu n'est pas lancé. Il est aussi possible d'éteindre le système en laissant appuyé 4 secondes la molette ou le bouton extérieur.

Les boîtiers indiquent leur état de charge lorsque branchés au secteur, selon :

- Led verte : charge complète
- Led rouge : secteur branché
- Led jaune : charge en cours

Si les 3 leds sont allumées, cela signifie que le système est relié au secteur, tout en n'ayant pas de batterie branchée (recommandé si le système reste constamment branché).

La durée maximale d'un jeu est d'une heure. Après ce temps, le jeu est arrêté.

Si toutes les cibles sont déconnectées pendant un jeu, le système se rend au menu des jeux.

En cas de batterie faible, un écran est affiché, et il sera impossible de jouer sans recharge.

Si le contrôleur ne s'allume plus, la batterie est assez déchargée pour ne plus permettre l'écran d'avertissement. Il est nécessaire de recharger le système.

## **Scénarios de jeu**

Les modes de jeu présentés précédemment peuvent être utilisés pour un large panel de scénarios.

Par exemple, le jeu *Duel (arbre)* peut permettre de créer deux parcours pour mettre en compétition deux joueurs simultanément.

Pour le jeu par pièces, il est possible de mélanger les cibles pour, lorsqu'une série est touchée, avoir des cibles qui s'allument devant et derrière le joueur.

A vous de concevoir vos meilleurs scénarios !

# **ANNEXE 10.5**

## **Tests de fonctionnement**



## WhiteBox

Test	Mise sous tension
Etat de base	Eteint
Rés. Attendu	Système démarre, uC détecté par le programmeur
Rés. Obtenu	EQ
Appréciation	Ok

Test	Alimentation sans batterie
Etat de base	Pas de batterie
Rés. Attendu	3 leds de charge s'allument, circuit alimenté
Rés. Obtenu	EQ
Appréciation	Ok

Test	Alimentation avec batterie
Etat de base	Batterie déchargée
Rés. Attendu	Leds charge et branché s'allument, circuit alimenté
Rés. Obtenu	EQ
Appréciation	Ok

Test	Alimentation sans batterie
Etat de base	Batterie chargée
Rés. Attendu	Leds charge et branché s'allument, circuit alimenté
Rés. Obtenu	EQ
Appréciation	Ok

Test	Appui bouton
Etat de base	Appui sur retour/ok/encodeur/bouton ext., laisser appuyé
Rés. Attendu	Une seule interruption par appui (pas de rebonds)
Rés. Obtenu	EQ
Appréciation	Ok

Test	Bouger encodeur
Etat de base	Bouger encodeur gauche-droite
Rés. Attendu	Un seul événement par cran physique
Rés. Obtenu	EQ
Appréciation	Ok

Test	Affichage
Etat de base	Afficher texte, logo, rectangles, ronds, sliders
Rés. Attendu	Affichage selon réglages
Rés. Obtenu	EQ
Appréciation	Ok

Test	Son
Etat de base	Jouer une mélodie
Rés. Attendu	Son mélodie correct
Rés. Obtenu	EQ
Appréciation	Ok

Test	Son
Etat de base	Jouer une mélodie puis la couper avec une autre chanson
Rés. Attendu	Selon mode, n'est pas jouée ou remplace l'autre
Rés. Obtenu	EQ
Appréciation	Ok

Test	Rétroéclairage
Etat de base	Lumière changeante
Rés. Attendu	Luminosité s'adapte (moins fort dans le noir, fort sous le soleil)
Rés. Obtenu	EQ
Appréciation	Ok

Test	Watchdog
Etat de base	Créer une boucle infinie dans le programme
Rés. Attendu	Le système redémarre car gelé
Rés. Obtenu	EQ
Appréciation	Ok

Test	Pression sur l'encodeur
Etat de base	Appuyer X fois sur l'encodeur
Rés. Attendu	Détection correcte du nombre d'appuis
Rés. Obtenu	EQ
Appréciation	Ok

<b>Test</b>	Pression longue sur l'encodeur
<b>Etat de base</b>	Laisser appuyé l'encodeur
<b>Rés. Attendu</b>	Détection de l'appui long
<b>Rés. Obtenu</b>	EQ
<b>Appréciation</b>	Ok

<b>Test</b>	Pression sur le bouton extérieur
<b>Etat de base</b>	Appuyer X fois sur l'encodeur
<b>Rés. Attendu</b>	Détection correcte du nombre d'appuis, sur le contrôleur ou sur une cible
<b>Rés. Obtenu</b>	EQ
<b>Appréciation</b>	Ok

<b>Test</b>	Pression longue sur le bouton extérieur
<b>Etat de base</b>	Laisser appuyé le bouton extérieur
<b>Rés. Attendu</b>	Détection de l'appui long, sur le contrôleur ou sur une cible
<b>Rés. Obtenu</b>	EQ
<b>Appréciation</b>	Ok

<b>Test</b>	Réglage volume
<b>Etat de base</b>	Changement du volume dans les options
<b>Rés. Attendu</b>	Volume contrôleur change, message CAN émis
<b>Rés. Obtenu</b>	EQ
<b>Appréciation</b>	Ok

<b>Test</b>	Réglage sensibilité
<b>Etat de base</b>	Changement de la sensibilité dans les options
<b>Rés. Attendu</b>	Sensibilité change, message CAN émis
<b>Rés. Obtenu</b>	EQ
<b>Appréciation</b>	Ok

<b>Test</b>	CAN
<b>Etat de base</b>	Envoi de messages, pas de second nœud
<b>Rés. Attendu</b>	CAN Tx erreur -> reset le module pour continuer à travailler
<b>Rés. Obtenu</b>	EQ
<b>Appréciation</b>	Ok

<b>Test</b>	CAN
<b>Etat de base</b>	Envoi test, avec un second nœud
<b>Rés. Attendu</b>	Second nœud reçoit
<b>Rés. Obtenu</b>	EQ
<b>Appréciation</b>	Ok

<b>Test</b>	CAN
<b>Etat de base</b>	Envoi test en diffusion, avec 6 nœuds, câblage de 50 [m]
<b>Rés. Attendu</b>	Message reçu par tous les nœuds
<b>Rés. Obtenu</b>	EQ
<b>Appréciation</b>	Ok

<b>Test</b>	CAN
<b>Etat de base</b>	Charger la ligne avec de multiples messages, puis envoyer un message test
<b>Rés. Attendu</b>	Les messages sont délivrés, jusqu'au test
<b>Rés. Obtenu</b>	EQ
<b>Appréciation</b>	Ok

<b>Test</b>	Jeu aléatoire
<b>Etat de base</b>	Lancement : les pointeurs sur cibles travaillent
<b>Rés. Attendu</b>	Les pointeurs s'arrêtent suivant les cibles disponibles, toutes les cibles sont traitées
<b>Rés. Obtenu</b>	EQ
<b>Appréciation</b>	Ok

<b>Test</b>	Sauvegarde flash
<b>Etat de base</b>	Enregistrer options de jeux et du système, redémarrer
<b>Rés. Attendu</b>	Les options réglées précédemment sont chargées, le système réglé avec
<b>Rés. Obtenu</b>	EQ
<b>Appréciation</b>	Ok

<b>Test</b>	Inactivité
<b>Etat de base</b>	Ne pas toucher au système, hors d'un jeu
<b>Rés. Attendu</b>	Système s'arrête
<b>Rés. Obtenu</b>	EQ
<b>Appréciation</b>	Ok

<b>Test</b>	Inactivité
<b>Etat de base</b>	Appuyer 4 secondes sur l'encodeur ou bouton extérieur, contrôleur ou cible
<b>Rés. Attendu</b>	Système s'éteint
<b>Rés. Obtenu</b>	EQ
<b>Appréciation</b>	Ok

<b>Test</b>	Sommeil
<b>Etat de base</b>	Système en sommeil
<b>Rés. Attendu</b>	Le système ne se réveille que par appui sur bouton (encodeur, ok, retour, extérieur) ou molette ou message CAN ; p.ex. un choc sur la cible ne la réveille pas
<b>Rés. Obtenu</b>	EQ
<b>Appréciation</b>	Ok

<b>Test</b>	Cible – lumières
<b>Etat de base</b>	Changer le pourcentage des couleurs
<b>Rés. Attendu</b>	Les PWMs changent de duty-cycle correctement
<b>Rés. Obtenu</b>	EQ
<b>Appréciation</b>	Ok

<b>Test</b>	Cible – détecteur
<b>Etat de base</b>	Laisser le capteur s'initialiser (1 minute), passer devant
<b>Rés. Attendu</b>	Interruption générée
<b>Rés. Obtenu</b>	EQ
<b>Appréciation</b>	Ok

<b>Test</b>	Choc
<b>Etat de base</b>	Sensibilité minimale, petit choc
<b>Rés. Attendu</b>	Interruption générée
<b>Rés. Obtenu</b>	EQ
<b>Appréciation</b>	Ok

<b>Test</b>	Choc
<b>Etat de base</b>	Changement des niveaux de sensibilité
<b>Rés. Attendu</b>	Chocs nécessaires pour interruptions plus forts
<b>Rés. Obtenu</b>	EQ
<b>Appréciation</b>	Ok

<b>Test</b>	Accéléromètre
<b>Etat de base</b>	Commandes I2C, module se configure correctement
<b>Rés. Attendu</b>	Set et lire les registres -> valeurs OK
<b>Rés. Obtenu</b>	EQ
<b>Appréciation</b>	Ok

<b>Test</b>	Debug
<b>Etat de base</b>	Brancher par USB à un PC
<b>Rés. Attendu</b>	Envoi et réception des caractères corrects
<b>Rés. Obtenu</b>	EQ
<b>Appréciation</b>	Ok

<b>Test</b>	Oscillateur
<b>Etat de base</b>	Système sur oscillateur -> clock switching avec désactivation de l'osc. externe
<b>Rés. Attendu</b>	Système marche toujours, et peut switcher sur l'osc. externe à nouveau
<b>Rés. Obtenu</b>	EQ
<b>Appréciation</b>	Ok

<b>Test</b>	Détection cibles
<b>Etat de base</b>	Cibles branchées
<b>Rés. Attendu</b>	En débranchant une cible, cette dernière est détectée absente ; en la rebranchant, retrouvée
<b>Rés. Obtenu</b>	EQ
<b>Appréciation</b>	Ok

<b>Test</b>	Doublons
<b>Etat de base</b>	Cibles branchées, dont doublon
<b>Rés. Attendu</b>	Détecter deux réponses de « la même » cible, avertir du doublon
<b>Rés. Obtenu</b>	EQ
<b>Appréciation</b>	Ok

<b>Test</b>	Cibles – débranchement
<b>Etat de base</b>	Cible branchée -> débrancher
<b>Rés. Attendu</b>	Au bout de 5 secondes, la cible s'éteint
<b>Rés. Obtenu</b>	EQ
<b>Appréciation</b>	Ok

<b>Test</b>	Cibles – débranchement
<b>Etat de base</b>	Cible branchée -> débrancher -> rebrancher
<b>Rés. Attendu</b>	Le contrôleur perd et retrouve la cible, la cible reste allumée
<b>Rés. Obtenu</b>	EQ
<b>Appréciation</b>	Ok

<b>Test</b>	Fixation par scratch
<b>Etat de base</b>	Fixer le système à l'aide de scratches
<b>Rés. Attendu</b>	Système tient
<b>Rés. Obtenu</b>	Modules OK, cible ne tient pas bien avec du scratch « bas de gamme » -> 3M dual lock recommandé
<b>Appréciation</b>	Ok

<b>Test</b>	Fixation par aimants
<b>Etat de base</b>	Fixer le système à l'aide d'aimants
<b>Rés. Attendu</b>	Cible tient
<b>Rés. Obtenu</b>	Cible ne tient pas -> aimants trop peu puissants, en noyer d'autres dans le boîtier
<b>Appréciation</b>	A revoir

<b>Test</b>	Fixation par vis
<b>Etat de base</b>	Fixer par vis la cible
<b>Rés. Attendu</b>	Cible tient
<b>Rés. Obtenu</b>	Cible tient fermement, même par grands chocs
<b>Appréciation</b>	Ok

<b>Test</b>	Cible – sens d'orientation – choc
<b>Etat de base</b>	Fixer la cible dans plusieurs orientations
<b>Rés. Attendu</b>	Capable de détecter les chocs malgré l'orientation
<b>Rés. Obtenu</b>	EQ
<b>Appréciation</b>	Ok

<b>Test</b>	Batterie basse
<b>Etat de base</b>	Régler le niveau d'alimentation à env. 3.35 [V]
<b>Rés. Attendu</b>	Niveau détecté -> système en sommeil
<b>Rés. Obtenu</b>	EQ
<b>Appréciation</b>	Ok

<b>Test</b>	Sommeil – longévité
<b>Etat de base</b>	Système chargé, mis en sommeil
<b>Rés. Attendu</b>	Doit marcher si allumé dans le temps estimé (ici 112 jours)
<b>Rés. Obtenu</b>	Impossible à tester dans le temps donnée
<b>Appréciation</b>	A tester

<b>Test</b>	Marche – longévité
<b>Etat de base</b>	Système chargé, sans alimentation, fonctionnement
<b>Rés. Attendu</b>	Doit marcher au moins le temps estimé (ici 16 [h])
<b>Rés. Obtenu</b>	N'a pas pu être testé dans les temps
<b>Appréciation</b>	A tester

## Totaux

Tests effectués	44
Tests OK	40
Tests A REVOIR	1
Tests A CORRIGER	3

## BlackBox

<b>Test</b>	Branchement système
<b>Etat de base</b>	Système câblé
<b>Rés. Attendu</b>	Cibles détectées et blanc doux, nombre de cibles correct
<b>Rés. Obtenu</b>	EQ
<b>Appréciation</b>	Ok

<b>Test</b>	Retrait d'un des doublon
<b>Etat de base</b>	Système allumé
<b>Rés. Attendu</b>	Le doublon branché revient blanc doux, le nombre de cibles détectées augmente, le doublon retiré s'éteint
<b>Rés. Obtenu</b>	EQ
<b>Appréciation</b>	Ok

<b>Test</b>	Ajout d'une cible
<b>Etat de base</b>	Système allumé
<b>Rés. Attendu</b>	Cible blanc doux, nombre de cibles détectées augment
<b>Rés. Obtenu</b>	EQ
<b>Appréciation</b>	Ok

<b>Test</b>	Défilement menu principal
<b>Etat de base</b>	Système câblé
<b>Rés. Attendu</b>	Défile haut-bas, la liste est continue lorsque le dernier menu est défilé
<b>Rés. Obtenu</b>	EQ
<b>Appréciation</b>	Ok

<b>Test</b>	Ajout d'une cible doublon
<b>Etat de base</b>	Système allumé
<b>Rés. Attendu</b>	Les deux doublons « clignotent » violet et sonnent, le nombre de cibles détectées diminue
<b>Rés. Obtenu</b>	EQ
<b>Appréciation</b>	Ok

<b>Test</b>	Jeux -> options
<b>Etat de base</b>	Menu des jeux, appui sur retour
<b>Rés. Attendu</b>	Menu des options s'affiche
<b>Rés. Obtenu</b>	EQ
<b>Appréciation</b>	Ok

<b>Test</b>	Options -> jeux
<b>Etat de base</b>	Menu des options, appui sur retour
<b>Rés. Attendu</b>	Menu des jeux s'affiche
<b>Rés. Obtenu</b>	EQ
<b>Appréciation</b>	Ok

<b>Test</b>	Changement volume/sensibilité
<b>Etat de base</b>	Menu des options, curseurs volume/sensi. par défaut
<b>Rés. Attendu</b>	Curseurs bougent, son silencieux avec curseur à 0, sensibilité change sur les cibles (test dans un mode de jeu)
<b>Rés. Obtenu</b>	EQ
<b>Appréciation</b>	Ok

<b>Test</b>	Options -> voir cibles
<b>Etat de base</b>	Menu des options, OK sur « Voir cibles », avec une cible branchée et deux cibles de même adresse branchées
<b>Rés. Attendu</b>	Cibles s'affichent, noir si pas connecté, vert si connecté, jaune si erreur
<b>Rés. Obtenu</b>	EQ
<b>Appréciation</b>	Ok

<b>Test</b>	Options -> changer adresse
<b>Etat de base</b>	Menu options, OK sur « Changer adresse »
<b>Rés. Attendu</b>	Affichage du changement d'adresse
<b>Rés. Obtenu</b>	EQ
<b>Appréciation</b>	Ok

<b>Test</b>	Voir cibles - défilement
<b>Etat de base</b>	Menu des cibles
<b>Rés. Attendu</b>	Les cibles défilent, au fond - > revient au début de la liste
<b>Rés. Obtenu</b>	EQ
<b>Appréciation</b>	Ok

<b>Test</b>	Chang. Adr. – aucune cible
<b>Etat de base</b>	Menu adresse, pas de cible câblée
<b>Rés. Attendu</b>	Pas de défilement dans le menu, indication qu'aucune cible disponible
<b>Rés. Obtenu</b>	EQ
<b>Appréciation</b>	Ok

<b>Test</b>	Voir cibles - boutons
<b>Etat de base</b>	Appui sur bouton ok, encodeur
<b>Rés. Attendu</b>	Pas de changement
<b>Rés. Obtenu</b>	EQ
<b>Appréciation</b>	Ok

<b>Test</b>	Chang. Adr. – changement
<b>Etat de base</b>	Menu adresse, cible câblée
<b>Rés. Attendu</b>	Changer de cible avec autre numéro, OK sur changer, cible change (contrôle avec voir cibles)
<b>Rés. Obtenu</b>	EQ
<b>Appréciation</b>	Ok

<b>Test</b>	Voir cibles -> options
<b>Etat de base</b>	Menu des cibles, appui sur retour
<b>Rés. Attendu</b>	Menu options s'affiche
<b>Rés. Obtenu</b>	EQ
<b>Appréciation</b>	Ok

<b>Test</b>	Chang. Adr. -> options
<b>Etat de base</b>	Menu adresse, bouton retour
<b>Rés. Attendu</b>	Menu options s'affiche
<b>Rés. Obtenu</b>	EQ
<b>Appréciation</b>	Ok



<b>Test</b>	Options -> effacer scores
<b>Etat de base</b>	Menu options, OK sur effacer scores
<b>Rés. Attendu</b>	Affichage avertissement scores
<b>Rés. Obtenu</b>	EQ
<b>Appréciation</b>	Ok

<b>Test</b>	Eff. Scores – effacer
<b>Etat de base</b>	Menu effacer, bouton ok
<b>Rés. Attendu</b>	Scores effacés (contrôle dans un jeu), son de confirmation
<b>Rés. Obtenu</b>	EQ
<b>Appréciation</b>	Ok

<b>Test</b>	Eff. Scores – annuler
<b>Etat de base</b>	Menu effacer, bouton retour
<b>Rés. Attendu</b>	Menu options s’affiche, scores toujours présents
<b>Rés. Obtenu</b>	EQ
<b>Appréciation</b>	Ok

<b>Test</b>	Options- défilement
<b>Etat de base</b>	Menu options
<b>Rés. Attendu</b>	Défilement haut-bas ok
<b>Rés. Obtenu</b>	EQ
<b>Appréciation</b>	Ok

<b>Test</b>	Jeux -> choisir un jeu
<b>Etat de base</b>	Menu jeux, sélectionner un jeu sans cibles branchées
<b>Rés. Attendu</b>	Options du jeu s’affichent
<b>Rés. Obtenu</b>	EQ
<b>Appréciation</b>	Ok

<b>Test</b>	Jeux -> choisir un jeu
<b>Etat de base</b>	Menu jeux, sélectionner un jeu avec au moins une cible
<b>Rés. Attendu</b>	Options du jeu s’affichent
<b>Rés. Obtenu</b>	EQ
<b>Appréciation</b>	Ok

<b>Test</b>	Jeu (parcours) - options
<b>Etat de base</b>	Options parcours
<b>Rés. Attendu</b>	Options jeu réglables
<b>Rés. Obtenu</b>	EQ
<b>Appréciation</b>	Ok

<b>Test</b>	Jeu (parcours) - lancement
<b>Etat de base</b>	Options parcours, lancement jeu, pas de cibles branchées
<b>Rés. Attendu</b>	Bip d’erreur, reste sur le menu des options de jeu
<b>Rés. Obtenu</b>	EQ
<b>Appréciation</b>	Ok

<b>Test</b>	Jeu (parcours) - lancement
<b>Etat de base</b>	Options parcours, lancement jeu, au moins une cible branchée
<b>Rés. Attendu</b>	Décompte 3-2-1 avec bips
<b>Rés. Obtenu</b>	EQ
<b>Appréciation</b>	Ok

<b>Test</b>	Jeu (parcours) – en jeu
<b>Etat de base</b>	Jeu lancé, pas de cible touchée
<b>Rés. Attendu</b>	Cibles s’affichent en noir, temps s’écoule, cibles colorées selon réglage précédent
<b>Rés. Obtenu</b>	EQ
<b>Appréciation</b>	Ok

<b>Test</b>	Jeu (parcours) – en jeu
<b>Etat de base</b>	Jeu lancé, appui sur retour
<b>Rés. Attendu</b>	Retour sur menu des jeux, cibles blanc doux
<b>Rés. Obtenu</b>	EQ
<b>Appréciation</b>	Ok

<b>Test</b>	Jeu (parcours) – en jeu
<b>Etat de base</b>	Jeu lancé, 2 cibles, 1 se débranche
<b>Rés. Attendu</b>	1 cible noire, 1 cible grisée
<b>Rés. Obtenu</b>	EQ
<b>Appréciation</b>	Ok

<b>Test</b>	Jeu (parcours) – en jeu
<b>Etat de base</b>	Jeu lancé, 2 cibles, toucher une cible
<b>Rés. Attendu</b>	Couleur cible change, cible verte sur affichage
<b>Rés. Obtenu</b>	EQ
<b>Appréciation</b>	Ok

<b>Test</b>	Jeu (parcours) – en jeu
<b>Etat de base</b>	Jeu lancé, 2 cibles, toucher les 2 cibles
<b>Rés. Attendu</b>	Cibles changent selon réglage, fin du jeu (bip - affichage)
<b>Rés. Obtenu</b>	EQ
<b>Appréciation</b>	Ok

<b>Test</b>	Jeu (parcours) - options
<b>Etat de base</b>	Appui sur bouton retour
<b>Rés. Attendu</b>	Retour menu jeux
<b>Rés. Obtenu</b>	EQ
<b>Appréciation</b>	Ok

<b>Test</b>	Jeu rapide
<b>Etat de base</b>	Au moins une cible, n'importe quel menu (même en jeu), X appuis sur encodeur
<b>Rés. Attendu</b>	Jeu correspondant chargé et lancé
<b>Rés. Obtenu</b>	EQ
<b>Appréciation</b>	Ok

<b>Test</b>	Jeu (parcours) – en jeu
<b>Etat de base</b>	Appui sur bouton retour
<b>Rés. Attendu</b>	Retour menu jeux
<b>Rés. Obtenu</b>	EQ
<b>Appréciation</b>	Ok

<b>Test</b>	Jeu (parcours) – fin
<b>Etat de base</b>	Appui sur bouton retour
<b>Rés. Attendu</b>	Retour menu jeux
<b>Rés. Obtenu</b>	EQ
<b>Appréciation</b>	Ok

<b>Test</b>	Jeu (parcours) – fin
<b>Etat de base</b>	Jeu fini
<b>Rés. Attendu</b>	Scores affichés, nouveau score s'enregistre
<b>Rés. Obtenu</b>	EQ
<b>Appréciation</b>	Ok

*Refaire les tests avec les différents modes de jeu*  
**OK**

<b>Test</b>	Jeu (parcours) - lancement
<b>Etat de base</b>	Appui sur bouton retour
<b>Rés. Attendu</b>	Retour menu jeux
<b>Rés. Obtenu</b>	EQ
<b>Appréciation</b>	Ok

<b>Test</b>	Jeu (parcours) – fin
<b>Etat de base</b>	Jeu fini, 2 <sup>ème</sup> essai
<b>Rés. Attendu</b>	Scores affichés (dont précédent), nouveau score s'enregistre
<b>Rés. Obtenu</b>	EQ
<b>Appréciation</b>	Ok

<b>Test</b>	Jeu rapide
<b>Etat de base</b>	Cible branchée, X appuis sur bouton extérieur (branché au contrôleur)
<b>Rés. Attendu</b>	Jeu correspondant chargé et lancé
<b>Rés. Obtenu</b>	EQ
<b>Appréciation</b>	Ok

<b>Test</b>	Jeu rapide
<b>Etat de base</b>	Cible branchée, X appuis sur bouton extérieur (branché à une cible)
<b>Rés. Attendu</b>	Jeu correspondant chargé et lancé
<b>Rés. Obtenu</b>	EQ
<b>Appréciation</b>	Ok

<b>Test</b>	Jeu (parcours) – fin temps
<b>Etat de base</b>	Lancer jeux avec temps 15 [s], laisser dépasser
<b>Rés. Attendu</b>	Fin de jeu, scores invalides, timeout
<b>Rés. Obtenu</b>	EQ
<b>Appréciation</b>	Ok

<b>Test</b>	Jeu (parcours – capteur) – fin bouton
<b>Etat de base</b>	Jeu lancé avec fin bouton, appuyer sur le bouton (contrôleur ou cible)
<b>Rés. Attendu</b>	Fin de jeu, malus comptés
<b>Rés. Obtenu</b>	EQ
<b>Appréciation</b>	Ok

<b>Test</b>	Jeu (parcours – capteur) – fin cible
<b>Etat de base</b>	Jeu lancé avec fin cible, toucher cible désignée
<b>Rés. Attendu</b>	Fin de jeu, malus comptés
<b>Rés. Obtenu</b>	EQ
<b>Appréciation</b>	Ok

<b>Test</b>	Jeu (chambres – capteur) – capteurs
<b>Etat de base</b>	Jeu lancé, se laisser détecter par un capteur, finir jeu
<b>Rés. Attendu</b>	Détection avec bips, cibles de la même chambre changent de couleur, malus en fin de jeu
<b>Rés. Obtenu</b>	EQ
<b>Appréciation</b>	Ok

<b>Test</b>	Jeu (duels / rapide) – fin cible quelconque
<b>Etat de base</b>	Jeu lancé, toucher une cible
<b>Rés. Attendu</b>	Jeu s'arrête dès la cible touchée
<b>Rés. Obtenu</b>	EQ
<b>Appréciation</b>	Ok

<b>Test</b>	Jeu (duels / arbre) – fin groupe 1 et 2
<b>Etat de base</b>	Jeu lancé, toucher toutes les cibles
<b>Rés. Attendu</b>	Fin de jeu après la dernière touchée, différence de temps entre les groupes
<b>Rés. Obtenu</b>	EQ
<b>Appréciation</b>	Ok

<b>Test</b>	Détection
<b>Etat de base</b>	Cible montée
<b>Rés. Attendu</b>	Selon sensibilité, capable de détecter uniquement le choc sur la cible
<b>Rés. Obtenu</b>	EQ
<b>Appréciation</b>	Ok

## Totaux

Tests effectués	46
Tests OK	46
Tests A REVOIR	0
Tests A CORRIGER	0

# **ANNEXE 10.6**

**Commande électronique effectuée**

Personne concernée:	Amand Axel			
Mandat no.:	Bachelor	Chef de projet / professeur:	Corre Jérôme	
Acronyme du projet:	STTS			
Salle:	A309 (2)	Délai désiré		
Mouser				
<a href="https://www.mouser.ch/">https://www.mouser.ch/</a>			Monnaie	CHF
Quantity	Reference	Designation	Unit Price	
12	863-SZNUP2105LT1G	SZNUP2105LT1G	0,27	3,26
16	534-254	254 Battery Clip - Contacts, pinces, sup	0,42	6,66
10	841-MMA8652FCR1	MMA8652FCR1	1,22	12,20
7	700-MAX3051ESAT	MAX3051ESA+T	2,08	14,56
10	621-AP9101CAK-AKTRG1	AP9101CAK-AKTRG1	0,32	3,18
8	579-MCP73833T-FCI/MF	MCP73833T-FCI/MF	0,81	6,49
10	621-AP7363-33D-13	AP7363-33D-13	0,43	4,31
8	895-FT230XS-R	FT230XS-R	1,95	15,60
8	579-512GM706-I/PT	DSPIC33EP512GM706-I_PT	5,88	47,04
10	798-ZX62D-B-5PA830	ZX62D-B-5PA8(30)	0,54	5,37
10	710-150060BS55040	150060BS55040	0,16	1,55
8	710-150060VS55040	150060VS55040	0,15	1,22
8	710-150060RS55040	150060RS55040	0,15	1,22
40	726-BSS806NH6327	BSS806NH6327XTSA1	0,25	9,96
10	621-DMG9926UDM-7	DMG9926UDM-7	0,38	3,79
15	726-BSS308PEH6327XTS	BSS308PEH6327XTSA1	0,27	4,04
10	81-NCP15XH103F03RC	NCP15XH103F03RC	0,12	1,19
10	520-5032MV-40-CNT	ECS-5032MV-40-CN-TR	0,74	7,43
10	78-LL4448-GS18	LL4448-GS18	0,12	1,21
1	763-24240320CFCSXNFT	NHD-2.4-240320CF-CSXN#-FT	18,66	18,66
2	538-54132-4062	541324062	1,72	3,44
10	490-CMT-850385B-SMTTR	CMT-8503-85B-SMT-TR	1,24	12,40
4	612-JN2UOANAG	JN2UOANAGX	0,88	3,51
2	612-TAGGRN	TAGGRN	0,22	0,44
2	612-TAGRED	TAGRED	0,19	0,38
2	652-PEC12R-4130F-S12	PEC12R-4130F-S0012	1,16	2,32
2	706-11K5014-KCNG	11K5014-KCNG	0,76	1,53
10	604-WP154A43VBDZGWCA	WP154A4SEJ3VBDZGW/CA	1,44	14,40
10	941-P6CFKBKM1Q1H17R3	CLP6C-FKB-CM1Q1H1BB7R3R3	0,59	5,87
14	667-ESE-13V01A	ESE-13V01A	0,29	4,06

<b>Distrelec</b>				
<a href="https://www.distrelec.ch/">https://www.distrelec.ch/</a>			Monnaie	CHF
<b>Quantity</b>	<b>Reference</b>	<b>Designation</b>	<b>Unit Price</b>	
25	143-02-006	S2B-XH-A (LF)(SN)	0,18	4,62
25	143-02-032	XHP-2	0,10	2,56
25	143-02-007	S3B-XH-A (LF)(SN)	0,22	5,54
25	143-02-033	XHP-3	0,15	3,84
25	143-02-009	S5B-XH-A (LF)(SN)	0,29	7,15
25	143-02-035	XHP-5	0,19	4,67
25	143-02-010	S6B-XH-A (LF)(SN)	0,28	7,00
25	143-02-036	XHP-6	0,22	5,60
250	301-21-619	SXH-001T-P0.6	0,03	8,15